

MINISTERUL EDUCAȚIEI



UNIVERSITATEA TEHNICĂ
DIN CLUJ-NAPOCA

FACULTATEA DE AUTOMATICĂ ȘI CALCULATOARE
DEPARTAMENTUL AUTOMATICĂ

URMĂRIREA UNUI OBIECT PRIN FUZIUNE SENZORIALĂ

LUCRARE DE LICENȚĂ

Absolvent: **Andrei MORARU**
Conducător științific: **Prof. dr. ing. Eva H. DULF**

2022

MINISTERUL EDUCAȚIEI



UNIVERSITATEA TEHNICĂ
DIN CLUJ-NAPOCA

FACULTATEA DE AUTOMATICĂ ȘI CALCULATOARE
DEPARTAMENTUL AUTOMATICĂ

DECAN,
Prof. dr. ing. Liviu MICLEA

DIRECTOR DEPARTAMENT,
Prof. dr. ing. Honoriu VĂLEAN

Absolvent: **Andrei MORARU**

URMĂRIREA UNUI OBIECT PRIN FUZIUNE SENZORIALĂ

1. **Enunțul temei:** Diverse metode de estimare a traiectoriei prin fuziune senzorială în vederea realizării unei urmăriri autonome a unui obiect în planul bidimensional
2. **Conținutul lucrării:** Cuvânt-înainte, Obiective, Studiu Bibliografic, Analiză și Fundamentare Teoretică, Proiectare de Detaliu și Implementare, Testare și Validare, Manual de Instalare și Utilizare, Concluzii, Anexele A,B,C
3. **Locul documentării:** Universitatea Tehnică din Cluj-Napoca, Departamentul Automatică
4. **Consultanți:** Prof. dr. ing. Zsófia LENDEK
5. **Data emiterii temei:** 1 Octombrie 2021
6. **Data predării:** 1 iulie 2022

Absolvent: Andrei Moraru

Coordonator științific: Honoriu Valean

MINISTERUL EDUCAȚIEI



UNIVERSITATEA TEHNICĂ

DIN CLUJ-NAPOCA

**FACULTATEA DE AUTOMATICĂ ȘI CALCULATOARE
DEPARTAMENTUL AUTOMATICĂ**

**Declarație pe proprie răspundere privind
autenticitatea lucrării de licență**

Subsemnatul *Moraru Andrei*, legitimat cu *cartea de identitate* seria *MH* nr. *550346* CNP *1990920055053*, autorul lucrării *URMĂRIREA UNUI OBIECT PRIN FUZIUNE SENZORIALĂ* elaborată în vederea susținerii examenului de finalizare a studiilor de licență la Facultatea de Automatică și Calculatoare, Specializarea *Ingineria Sistemelor Automate* din cadrul Universității Tehnice din Cluj-Napoca, sesiunea *iulie* a anului universitar *2022*, declar pe proprie răspundere, că această lucrare este rezultatul propriei activități intelectuale, pe baza cercetărilor mele și pe baza informațiilor obținute din surse care au fost citate, în textul lucrării și în bibliografie.

Declar, că această lucrare nu conține porțiuni plagiate, iar sursele bibliografice au fost folosite cu respectarea legislației române și a convențiilor internaționale privind drepturile de autor.

Declar, de asemenea, că această lucrare nu a mai fost prezentată în fața unei alte comisii de examen de licență.

În cazul constatării ulterioare a unor declarații false, voi suporta sancțiunile administrative, respectiv, *anularea examenului de licență*.

Data

Nume, Prenume

01.07.2022

Moraru Andrei

Semnătura



FACULTATEA DE AUTOMATICĂ ȘI CALCULATOARE
DEPARTAMENTUL AUTOMATICĂ

SINTEZA

proiectului cu titlul:

URMĂRIREA UNUI OBIECT PRIN FUZIUNE SENZORIALĂ

1. **Cerințele temei:** Proiectarea unei aplicații care să simuleze o cursă interactivă cu scopul de a pune în practică diverse algoritmi de estimare, reprezentări ale orientării în spațiu și legi de control
2. **Soluții alese:** Filtre Kalman - liniar, extins și unscented, cuaternioni, control liniar
3. **Rezultate obținute:** Conviența garantată pentru sisteme liniare, soluții funcționale pentru modele neliniare, îmbunătățirea timpului de răspuns comparativ cu implementări alternative
4. **Testări și verificări:** Compararea cu soluții deja existente, validări grafice, validări numerice prin minimizarea erorilor
5. **Contribuții personale:** Implementarea unei aplicații complexe bazată pe programare orientată pe obiecte ce se prezintă ca o abordare diferită a fundamentalului teoretic, realizarea unei soluții alternative de estimare a orientării pentru o funcționalitate deja existentă, dezvoltarea interacțiunilor și animațiilor din joc, conceperea interfeței grafice, realizarea conexiunii cu o placă de dezvoltare Arduino Nano într-o configurație personală de tip joystick
6. **Surse de documentare:** Publicații științifice, articole și site-uri de specialitate, surse video, consultații în timpul și în afara orelor de curs cu profesorii

Cuprins

Capitolul 1 Cuvânt-înainte	1
1.1 Despre știință și zgomot	1
1.2 Senzorii inerțiali	2
1.3 Aprecieri	2
Capitolul 2 Obiectivele Proiectului	3
2.1 Estimarea traectoriei	4
2.2 Fuziunea senzorială	5
2.3 Dezvoltarea jocului	6
Capitolul 3 Studiu Bibliografic	7
Capitolul 4 Analiză și Fundamentare Teoretică	17
4.1 Ecuatiile mișcării	17
4.2 Dinamica sistemului	20
4.2.1 Timp continuu	20
4.2.2 Observabilitatea sistemului	21
4.2.3 Estimarea perturbațiilor	22
4.2.4 Estimatorul Luenberger	24
4.3 Filtrul Kalman	26
4.3.1 Discretizarea procesului	26
4.3.2 Probabilistica variabilelor aleatorii	28
4.3.3 Dispersia și tendința centrală	30
4.3.4 Predicție	32
4.3.5 Corecție	34
4.4 Mișcarea Neliniară	37
4.4.1 Dinamica procesului extins	37
4.4.2 Liniarizare	38
4.4.3 Sonar	40
4.4.4 Transformata unscented	42
4.5 Controlul urmăritorului	45
4.6 Estimarea orientării	48

4.6.1	Atitudinea	48
4.6.2	Forme de reprezentare	49
Capitolul 5	Proiectare de Detaliu și Implementare	53
5.1	Giroscopul - Modelul procesului	53
5.2	Accelerometrul - Modelul măsurătorilor	55
5.3	Schema generală de funcționare	59
5.4	Diagrama claselor	61
5.5	Diagrama de flux	63
Capitolul 6	Testare și Validare	68
Capitolul 7	Manual de Instalare și Utilizare	77
7.1	Resurse hardware	77
7.2	Resurse software	78
Capitolul 8	Concluzii	81
8.1	Contribuții	81
8.2	Critică	82
8.3	Dezvoltare ulterioară	83
Bibliografie		84
Anexa A	Clasa UKF - Implementare în MATLAB	90
Anexa B	Calibrarea giroscopului prin învățare automată	93
Anexa C	Lucrări publicate	97

Capitolul 1

Cuvânt-înainte

1.1 Despre știință și zgromot

"Atunci când nu știi ce faci, toate calculele tale sunt zgromot" este dictonul propriu enunțat de Rudolf Emil Kalman într-un colocviu susținut la Institutul de tehnologie din Massachusetts în 1991¹, ca o concluzie personală cu privire la aleatoritatea regăsită în fenomenele lumii reale.

Privită în contextul teoriei sistemelor, maxima își redobândește terenul cedat în favoarea sentențiozității, pentru că spusele autorului își regăsesc efectul în lucrări istorice care se bucură și astăzi de o generală aplicabilitate, lucrări care stau și la baza prezentei teze de diplomă.

Deși nu singurul canevas de suport teoretic pentru actuala lucrare, stocasticitatea sistemelor reale este cu siguranță una din lentilele prin care poate fi analizat acest studiu, dar în același timp și un instrument util pentru a trage concluzii pertinente cu privire la rezultatele obținute; și tocmai de aceea am ales să îi ofer însemnatatea cuvenită în contextul problematicei fuziunii senzoriale pentru sistemele neliniare.

Doresc, pe această cale, să introduc subiectul lucrării mele de licență printr-o sinteză a contextului actual ce a iscat interesul personal pentru algoritmii regăsiți pe ramura statistic-probabilistică a teorei sistemelor, teorie ce reprezintă fundamental modelelor matematice din spatele funcționării senzorilor inerțiali.

Am ales să dezvolt acest proiect în jurul unei aplicații de urmărire în timp real a unui obiect, deoarece consider că acesta este unul dintre scenariile prin care se poate observa cel mai clar necesitatea îmbinării tuturor resurselor senzoriale posibile în vederea obținerii unui peisaj cât mai clar despre cadrul imediat înconjurător în care se desfășoară mișcarea. Din acest motiv am decis să proiectez și o aplicație interactivă prin intermediul căreia punerea în practică a noțiunilor teoretice se realizează print-un cadru aparent ingenuu, dar cu implicare directă și consolidată de o analiză minuțioasă în spate.

¹<https://www.youtube.com/watch?v=i5kTdHT3yBg>

1.2 Senzorii inerțiali

Motivul central al acestei lucrări este, fără îndoială, după cum este evocat și în titlu, reprezentat de senzori, în deosebi de cei inerțiali. Aceștia pot fi priviți cu interes din mai multe puncte de vedere, în special pentru importanța din prezent acordată înglobării lor în cât mai multe dispozitive, dar și pentru evoluția lor electronică din ultimele decenii. În lucrarea propusă însă, abordarea pe care doresc să o aprofundez se referă la modelele matematice din spatele informației obținute de la senzori, mai mult decât la senzori în sine, deși avantajele și limitările lor vor fi de asemenea amintite.

Senzorii inerțiali sunt o parte vitală a procesului de realizare a sistemelor autonome și fac parte din ciclul de proceduri SPPA (Sense, Percieve, Plan, Act) în procesele de control ce adreseză sectorul robotică sau al vehiculelor inteligente. Tocmai de aceea am decis să conturez contextul acestui proiect ca unul specific industriei automobilistice, particularizat pentru procedurile de fuziune senzorială. Dedic astfel următoarele capitole unei analize riguroase a prezentelor tehnici și metodologii folosite actual în domeniu și ofer și o implementare bazată pe cunoștiințele acumulate menite să servească ca schelet pentru ulterioarele proiecte ce vor urma.

1.3 Aprecieri

Prezenta lucrare nu ar fi fost completă fără îndumarea oferită de prof. dr. ing. Eva Henrieta Dulf, conducătoarea științifică a tezei mele de diplomă și de aceea doresc în acest capitol introductiv să ii mulțumesc pentru îndemnurile oferite și constantele încurajări.

Tot înrătăț de recunoscător ii sunt și doamnei profesoare dr.ing. Zsófia Lendek pentru ajutorul constant și implicarea directă acordată în timpul ultimul semestru pentru implementarea algoritmilor de estimare folosiți în aplicația finală, cel mai avansat regăsindu-se într-una din anexele acestui document.

Sunt recunoscător de asemenea și pentru îndrumarea oferită de MSc. ing. Daniel D. Timiș în cadrul unui proiect care a devenit stadiul incipient al acestei lucrări de licență în urmă cu un an universitar.

Capitolul 2

Obiectivele Proiectului

Definită ca schimbarea poziției în raport cu timpul, mișcarea poate fi modelată cu un set de două ecuații diferențiale. Indiferent de tipul și complexitatea traiectoriei pe care o definește corpul în mișcare, și fară a ține seama de masa ori de volumul corpului imaginat, locul geometric definit de proiecția poziției obiectului animat pe axele unui plan sau ale unui spatiu se supune dinamicii definită întotdeauna de aceleași două ecuații specifice. Aceste legi bine definite inițial de Galileo Galilei, și concretizate mai apoi de Isaac Newton, fac posibila descrierea mișcării în univers în general, și a corpurilor de pe pământ în particular. Comportamentul ce se împotrivescă inerției poate fi, cu ajutorul soluțiilor ecuațiilor diferențiale, modelat ca un sistem dinamic al cărei componentă cinematică este dată întocmai de acțiunea mișcării. Un astfel de sistem poate fi mai departe supus algoritmilor de estimare și legilor de control formulate de teoria sistemelor în funcție de problematica domeniului pentru care este modelat.

Am dezvoltat acest proiect cu scopul de a testa și valida diferiți algoritmi de estimare a traiectoriei unui obiect urmărit și legi de control care definesc acțiunile unui obiect urmărit. O atenție deosebită a fost accordată metodelor de fuziune a măsurătorilor senzorilor și de exprimare a mișcărilor rotative în spațiul tridimensional. În acest sens, simularea urmăririi unei traiectorii este suplată de conectarea unui microcontroller Arduino care, prin intermediul unui modul extern de senzori inerțiali, permite utilizatorului să simuleze mișcarea obiectului urmărit, întocmai ca într-un joc ce se desfășoară în planul bidimensional al monitorului.

Proiectul se împarte aşadar în două parti principale cu importanță de sine stătătoare, urmărirea traiectoriei simulate pentru obiectul în mișcare și fuziunea datelor de la senzor pentru generarea mișcării. Atât algoritmii de urmărire, cât și cei de fuziune, cu impact individual demn de menționat, sunt înrudiți prin teoria ce stă la baza lor, și formează împreună, în esență, o reprezentare mai fidela a realității care poate fi explorată mai departe în domenii precum conducerea autonomă, realitatea virtuală ori augmentată, precum și viitoarele lor posibile ramificații.

2.1 Estimarea traectoriei

Pentru a realiza detecția poziției unui corp și pentru a iniția urmărirea acestuia, toți algoritmii folosiți până în prezent au că fundament în alcătuiră lor statistica descriptivă. Fenomenul mișcării, precum și cel al detecției acesteia prin folosirea senzorilor inertiali, sunt măsurabile în timp pentru un grup de eșantioane de date, ceea ce face posibile concluzile legate de tendința centrală și dispersia grupului de măsurători folosite, ce duc mai departe la rezultate validate prin acuratețe sau precizie, concepte ce pot fi concret definite prin termeni statistici. Pentru a studia dacă modelul propus menit să descrie fenomenul este unul general, ce se dovedește fezabil și pentru aplicații de dimensiuni mai mari, statistica inferentială este de această dată ramura relevantă a științei probabilistice.

Procedeele care se bazează pe noțiuni statistice au evoluat până în prezent pentru a fi folosite în combinație cu o mare gamă de științe precum teoria controlului, informatică aplicată, dar și biologia, psihologia ori științele umane, cu scopul de a găsi răspunsuri la întrebările din spatele unor fenomene naturale. Statistica aplicată culminează cu apariția metodelor de învățare automata, numita și inteligența artificială, un obiect de studiu cu orizonturi nenumărate.

Algoritmii clasici de estimare, elocvenți teoriei sistemelor, au, față de relativ noile metode de învățare automata, avantajul că funcționarea lor este garantată din prima executare, fară a necesita o perioadă de timp de antrenare, și fară a face greșeli, cu condiția fermă de a avea un model al procesului bine definit pentru sistemul dinamic aferent. Parametrii sistemului configurați pot fi estimati în timpul rulării, ceea ce face aceste proceduri fiabile întocmai pentru aplicații de timp real. Ca urmare, desi robusti prin informația codificată în implementarea lor, dezavantajul lor este că o convergență generală nu poate fi asigurată pentru orice scenariu. După cum se va observa în capitolul 5, estimarea traectoriilor complexe poate să nu fie exactă, și procedura ar putea fi îmbunătățită de metode avansate bazate pe învățare și antrenare în timp.

Sistemul simplificat ce descrie mișcarea unui corp va avea la baza mereu același set de ecuații diferențiale, indiferent dacă mișcarea este a unei drone, a unui vehicul autonom sau a unui obiect dintr-o simulare, ceea ce face posibila extragerea unor concluzii statistice despre traectoria mișcării și implicit și aplicarea unor algoritmi clasici.

Dat fiind contextul, lucrarea explorează și compară în detaliu trei principali algoritmi statistici pentru estimarea parametrilor sistemului dinamic (soluțiile ecuațiilor diferențiale), folosiți în industria navigației cu acest scop încă de la introducerea lor de către autorul al cărui nume îl și poartă:

- Filtrul Kalman liniar
- Filtrul Kalman extins
- Filtrul Kalman unscented

Folosiți pentru mult timp ca standard în urmărirea traекторiilor, fie în industrie precum cea defensivă, ori debutanta industrie a con dusului ori zborului autonom, variațiile algoritmului inițial dezvoltat de Rudolf E. Kalman se prezintă ca o mixtura de teorie a controlului, procesare de semnal și statistică descriptivă. Mai concret, plecând de la setul de ecuații de mișcare ce a fost definit, numit model matematic, și procesând măsurători din exterior cu un anumit grad de încredere calculat tot în interiorul procedurii, comportarea algoritmului se desfășoară ca o estimare optimă de timp real a parametrilor modelului, și ea poate fi adaptată pentru orice tip de senzor, nu neapărat inerțial.

2.2 Fuziunea senzorială

Pe lângă modelul procesului intern al algoritmilor de urmărire, aceștia primesc și informații despre obiect sub forma măsurătorilor de la senzori. Senzorii folosiți pentru a intercepta mișcarea unui corp se numesc senzori inerțiali sau IMU (Inertial Measurement Unit). Măsurările senzorilor în sine sunt un pas important pentru corectarea erorilor, dar convergența algoritmilor este mai departe întreținută de procesul de fuziune al datelor lor.

Un singur senzor, ce descrie un anumit tip de mișcare, prezintă în genere zgromot alb, după cum urmează a fi demonstrat în capitolul 4, și o serie de avantaje și dezavantaje de funcționare în anumite scenarii, comparativ cu alți senzori ce pot descrie aceeași mișcare. Adăugarea unui senzor identic poate îmbunătăți performanțele, dar problema principală nu este soluționată. Erorile celor de acum doi sau mai mulți senzori identici vor fi corelate, și dezavantajele vor apărea concomitent în aceeași situație. Soluția de vîrf pentru imbunatatirea acurateței măsurătorilor este folosirea diferitor senzori pentru a descrie aceeași mișcare. În acest fel, erorile vor fi prezente în ambele serii de măsurători, dar în situațile în care un senzor nu vă descrie bine mișcarea, algoritmul se poate baza pe alt senzor. Acest concept se numește fuziune senzorială și, fiind vorba despre un procedeu statistic de acordare a încrederii, o versiune de filtru Kalman a fost programată și pentru a oferi o soluție în acest sens.

Împreună cu o placă de dezvoltare Arduino Nano, a fost folosit un senzor MPU-6050 care conține un accelerometru și un giroscop triaxiale, ce însumează împreună ase grade de libertate (6 DoF - Degrees of Freedom), iar avantajele și dezavantajele fiecărui senzor în parte, precum și îmbunătățirea considerabilă provenită din fuzionarea măsurătorilor vor fi descrise pe larg în capitolele 4 și 5 .

În urmărirea propriu-zisă, valorile ce descriu poziția obiectului detectat în fiecare moment de timp sunt modelate ca o serie de măsurători cu zgromot puternic, dar Gaussian, asemenea măsurătorilor de GPS (Global Positioning System). După cum va fi demonstrat, adăugarea în simulare a unor măsurători ale unui senzor de tip sonar ce transmit informații despre coordonatele polare ale obiectului urmărit, îmbunătățesc performanța urmăririi atunci când sunt fuzionate cu cele de tip GPS. Această bunătățire semnificativă este și

fundamentul, dar și motivația procedurii de fuziune a senzorilor.

Dacă implementarea măsurătorilor de tip GPS și sonar sunt simulate, pentru accelerometrul și girocopul prezente pe un hardware extern îmbunătățirea devine și mai clara, iar rezultatele validează ipoteza necesității unei astfel de proceduri.

2.3 Dezvoltarea jocului

În sprijinul validării vizuale și concretizării noțiunilor teoretice ce stau la baza primelor două subcapitole menționate anterior, o aplicație grafică în două dimensiuni (2D) de tip joc a fost dezvoltată în mediul de programare MATLAB, cu limbajul său propriu.

Contextul urmăririi capătă acum un aspect ludic: corpul urmărit, cel care poate fi controlat de jucător, este o pinipedă din categoria Phocidae, iar urmăritorul este un rechin, animal din ordinul Selachimorpha. Scopul rechinului este de a prinde mamiferul acvatic folosindu-se de diversi algoritmi de estimare și legi de control în funcție de traseul parcurs, și, de fiecare dată când se apropiе suficient de mult (în alte cuvinte, atunci când stările estimate converg la cele reale și eroarea este minimizată) acesta își ataca prada, scazându-i din punctele finite de viață.

Scopul focii, și implicit cel al jucătorului este de a genera traiectorii cât mai complexe, pentru a rămâne cât mai mult timp în viață. Scenariul acvatic se diversifică atunci când în peisaj apare o pasare acvatice, reprezentată de un pescăruș răpitor, care, oferindu-i ajutor rechinului, îl ghidează prin măsurători mai precise ale coordonatelor focii de la fiecare moment de timp. Pescărușul este astfel modelat ca un senzor de tip sonar, care are în vedere unghiul și raza sub care se mișcă victimă, denumite și coordonate polare. Modelul urmăritorului beneficiază de aceste noi măsurători și printr-un proces de corecție își îmbunătățește abilitatea de a lua decizii.

Atunci când aplicația nu este rulată în modul de joc, ci sub formă de simulare, utilizatorul poate să aleagă din interfața grafică dezvoltată combinații de trasee și algoritmi de estimare, iar animația devine în esență un mediu de testare și validare al estimatoarelor, ce poate fi folosit mai departe ca suport pentru dezvoltarea unor proiecte sau aplicații mai avansate.

Diferența dintre rularea aplicației în modul joc sau simulare este la latitudinea utilizatorului. Dacă sunt disponibile un senzor de tip MPU-6050 și placa de dezvoltare Arduino, din interfața grafică se va putea configura opțiunea dorită. Ansamblul electronic e programat în aşa fel încât să funcționeze ca o consolă de tip joystick, un periferic asociat în general jocurilor video. Scopul folosirii senzorului constă în obținerea informației sub formă de orientare în spațiu, ceea ce permite o generare de traiectorii intuitive dependente de mișcarea mâinii utilizatorului. Algoritmii de obținere a orientării, precum și algebra din spatele noțiunii vor fi prezentate pe larg în capitolele 4 și 5.

Capitolul 3

Studiu Bibliografic

Întrucăt reprezintă un punct cheie în aplicațiile domeniului navigației autonome, studiul detectiei și urmăririi corpuriilor se bucură de o literatură vastă. Această considerabilă varietate devine și motivul existenței diverselor școli de găndire în privința tipurilor de senzori folosiți sau algoritmilor de fuziune. Studiul bibliografic elaborat în acest capitol are ca scop expunerea sumară a fundamentului teoretic din spatele diferitelor lucrări care fac legătura cu subiectul expus în capitolul precedent, urmând ca în capitolul ulterior doar o parte dintre ele să fie expuse pe larg și considerate pentru implementare. Am vizat astfel să sintetizez esențialul unui domeniu larg sub forma unei incursiuni istorice care cuprinde atât familiarizarea cu algoritmii clasici ce au revoluționat tehnica din vremea lor, dar și metodele de ultimă oră cercetate și dezvoltate în timpul scrierii acestei lucrări.

Introdus pentru prima dată în reputata lucrare [1], filtrul eponim propus de Rudolf E. Kalman pentru a oferi o soluție de filtrare liniară discretă, deși supus inițial unui scepticism general, a devenit curând o contribuție notabilă în proiecte ce au lăsat o amprentă majoră în evoluția științei până în acel punct. Algoritmul a fost folosit în programul spațial Apollo [2] pentru estimarea traectoriei rachetelor către lună, și a devenit de atunci un nou standard în industria respectivă precum și izvorul de inspirație pentru soluțiile viitoarelor industriei ce aveau să revoluționeze statu-quo al tehnologiei din acel moment.

În contextul sistemelor de control liniare și invariante în timp, Kalman a definit o descompunere a reprezentării matriciale generale (spațiul stărilor) care facilită explorarea observabilității structurilor de reglare. Împreună cu această nouă noțiune, algoritmul, inițial dezvoltat pentru analiza seriilor temporale în cadrul procesării semnalelor, oferă un model realist simplificat pentru estimarea stărilor actuale ale procesului în cauză și aplicabilitatea sa a fost regăsită în deosebi în aplicații precum planificarea mișcării robotilor, avioanelor și vehiculelor, dar și în studii precum econometria ori neuroștiința, care vizează contextul modelării dinamicii sistemului nervos central uman.

In articolul [3], autorii propun folosirea unui filtru de particule pentru fuzionarea datelor de la un senzor de tip LiDAR (Light Detection and Ranging). Aceștii senzori funcționează prin emiterea unor pulsuri de lumină către mediul exterior [4]. Aceste unde

se întorc la senzor și distanța parcursă este calculată în funcție de timpul de emisie-receptie. Repetând acest proces de milioane de ori pe secundă o hartă tridimensională a mediului încojurător este creată. Pentru filtrul de particule au fost necesare mai multe simulări de tip Monte Carlo (variabile aleatorii), ceea ce a dus implicit și la creșterea timpului de execuție. Autorii menționează opțiunea folosirii unui filtru Kalman extins cu precizarea că liniarizările în fiecare punct pot duce la erori mari de estimare. Modelarea miscării unui corp este mai departe descrisă simplificat având în minte noțiuni de bază ale mecanicii pentru miscările de viraj și funcționarea senzorului descris anterior.

Autorii lucrării [5] propun rezolvarea aceleiași probleme printr-un algoritm de fuziune a măsurătorilor de la un senzor de tip RaDAR (Radio Detection and Ranging) și unul de tip LiDAR ce are la bază un filtru Kalman extins. Ei menționează îmbunătățirea computațională rezultată din evitarea unei implementări a unui algoritm de felul filtrului de particule. Se poate constata, aşadar, încă dintr-o scurtă incursiune în literatură cum un obiect de studiu ce generează interes va genera mereu și o scindare a opinilor cercetătorilor. Lucrarea teoretează și validează trei profile diferite de viteză în scopul îmbunătățirii viitoarelor echipamente de ADAS (Adaptive Driver Assistance Systems) și ramificații ale noțiunii de condus autonom precum LKA (Lane Keeping Assistance) ori ACC (Adaptive Cruise Control). Funcționarea senzorilor aleși, precum și stările sistemului observat în cadrul algoritmului de fuziune sunt descrise mai apoi pe larg în restul lucrării.

Măsurătorile senzorilor de tip RaDAR fuzionate cu filtre Kalman sunt un topic relevant și pentru industria aerospațială, după cum observă cercetătorii care au condus studiul [6]. Un scenariu în care miscările neliniare prevalează poate fi modelat cu un filtru Kalman extins, indiferent dacă mișcarea este pe teren sau în aer. O îmbunătățire a algoritmului clasic ce constă în normalizarea matricei de covarianță este introdusă de autori ca o necesitate pentru a rezolva limitările filtrului extins în ceea ce privește convergența negarantată (spre deosebire de cea a unui filtru liniar, care însă nu este un bun estimator pentru un sistem neliniar) și liniarizările ce pot fi inadecvate. Aceste limitări urmează să fie expuse și studiate în această lucrare, împreună cu posibilele soluții.

Deși țintele urmărite în apă sunt mai afectate de interferențe decât cele din scenariile prezentate anterior, filtrul Kalman se dovedește o metodă bună de estimare și în spațiul subacvatic, dacă senzorii folosiți sunt adecvați. În lucrarea [7], o combinație între algoritmul clasic anterior menționat și o rețea neuronală de tip LSTM (Long Short Term Memory) este prezentată ca o soluție pentru urmărirea corpurilor acvatice cu ajutorul senzorilor de tip SoNAR (Sound Navigation and Ranging). Autorii concluzionează cu ideea că filtrul clasic poate fi îmbunătățit prin folosirea unui model de rețea neuronală conlovțională, intrucât noul sistem nu necesită informații valide a priori, iar robustețea pentru scenariile neliniare se îmbunătățește considerabil.

Urmărirea obiectelor folosind senzori LiDAR este studiată și în articolul [8], în care estimarea poziției se realizează prin extinderea vectorului de stări astfel încât algoritmul să urmăreasca atât un spațiu static local, cât și dinamica obiectelor în mișcare din apropierea

unei mașini. Algoritmul folosit pentru asocierea a unui set mare de măsuratori este unul de tip Branch And Bound, iar urmărirea este realizată cu un filtru Bayesian recursiv, Kalman extins.

Introdus pentru prima dată de Jeffrey Uhlmann și Simon Julier [9] pentru a rezolva problema divergențelor prezente în estimările filtrului Kalman extins, filtrul Kalman unscented a devenit un nou standard pentru aplicațiile ce adresează sisteme neliniare. Algoritmul introduce o nouă metodă de calculare și propagare a stăriilor și a matricei de covarianță în timp, pe baza unui set finit de eșantioane de măsuratori, mediate ponderat pentru a aproxima funcția neliniară până la echivalentul unei serii Taylor de ordin III [10], spre deosebire de filtrul Kalman extins ce liniarizează sistemul neglijând termenii de ordin superior, fiind bazat pe o expansiune a seriei Taylor de ordin I. Filtrele extinse de ordin II, precum cel propus în lucrarea [11] necesită resurse de calcul în plus pentru matricile de tip Hessian, pe când un mare avantaj al filtrului unscented este că nu introduce încălcări de multă complexitate computațională în plus, și nici nu există nevoie calculării a priori a unor derivate.

Pentru a înțelege pe deplin avantajele oferite de modificarea introdusă de filtrul unscented, transformata neliniară trebuie privită în contextul statistic al distribuțiilor funcțiilor de densitate probabilistică. Această caracteristică este cea prezentată și de lucrarea [10], și va fi explicată în detaliu în capitolul 4.

In lucrarea [12], algoritmul anterior menționat este folosit în combinație cu o tehnică de integrare pentru estimarea poziției subacvatice folosind măsuratorile unui SoNAR, în timp ce [13] folosește procedura ca o metodă de corecție. Prima publicație explorează imbunătățirile aduse performanțelor unui model hibrid în domeniul defensiv, unde detecția și localizarea torpilelor este un element vital în dezarmarea trupelor oponente. Autorul jurnalului trece în revistă posibilele soluții pentru rezolvarea problemei. Un inițial filtru Kalman liniarizat, distinct față de filtrul liniar sau extins, este evaluat ca o posibilă soluție. Aceasta diferă de metodele anterior menționate prin faptul că procesul este liniarizat înainte de a trece prin algoritm, ceea ce face procedura în esență o combinație între cele două proceduri standard, care în final prezintă limitări în scenariul dat. Filtrul Kalman extins este apreciat ca o soluție mai bună, dar problema divergenței datorată neliniarităților severe nu este rezolvată pe deplin. Transformata unscented a filtrului este apreciată pentru îmbunătățirea semnificativă pe care o aduce convergenței funcției de densitate probabilistică ce modelează covarianța procesului. Filtrul de particule este notat ca o "implementare pe scală mare a filtrului unscented", cu precizarea că procedura introduce un strat de complexitate problematic pentru aplicațiile de timp real. În final, cercetătorul propune propriul algoritm hibrid fundamentat pe modelul unui filtru unscented.

Neliniaritățile măsuratorilor senzorilor de tip RaDAR sunt luate în considerare în lucrarea [14], ai cărei autori introduc o modificare în calcularea recursivă a covarianței măsurătorilor pentru a renormaliza distribuția zgromotului după fiecare fază de corecție. Algoritmul original, precum și predecesorii lui mizează pe prezența zgromotelor albe pentru

a putea produce estimări convergente, aşa cum va fi demonstrat în următorul capitol, iar consistența acestei aproximări nu este garantată de metode *in sine*. Lucrarea descrie în introducere metodele clasice de urmărire, printre care se numără intocmai cele menționate mai sus și cântărește avantajele și dezavantajele lor în acord cu cele relevante în acest studiu.

Odată cu apariția noțiunii de "Internet al Lucurilor" (Internet of Things - IoT), după cum observă autorii meta-analizei [15], senzorii au inceput să fie categorizați în funcție de capacitatea lor de a condiționa sau nu comenzi și acțiuni fară intervenția umană. Această sciziuare a dus la apariția conceptului de senzori *deștepți* și senzori care nu sunt *deștepți*, numiți senzori *de bază*. Autorii descriu senzorii deștepți ca acei senzori care dispun de resursele computaționale necesare unei luări de decizii ulterioare în design-ul lor interior. Cu alte cuvinte, dispozitivele precum cele anterior menționate, LiDAR, RaDAR, SoNAR pot fi considerate inteligente pentru că produc la ieșire o informație care poate fi folosită de sine stătător pentru amplificarea percepției exterioare. Măsurările acestor senzori pot fi deci folosite și pe cont propriu pentru a lua decizii în aplicații precum con dusul autonom, iar fuziunea datelor provenite de la ei este în esență o metodă de îmbunătățire a cadrului de decizie, respectiv o prevenție a erorilor generate de neajunsurile lor.

În această categorie intelligentă de dispozitive pot fi încadrați și senzorii de tip accelerometru și giroscop. Evoluția lor recentă sub formă de sisteme microelectromecanice (MEM Systems) a permis integrarea lor în telefoane mobile, tablete, ochelari VR (Virtual Reality) și oricare alte aparate care necesită informație de la mediul exterior [16]. Având partea electronică integrată, acești senzori permit implementarea unui protocol de comunicație și a blocurilor logice ce pot fi folosite mai departe de un procesor ce ia parte la luarea unei decizii, după cum evaluaază și cercetătorul care a realizat lucrarea [17]. Esența numeroaselor avantaje provenite din integrarea sistemelor inteligente în senzori poate fi sumarizată prin afirmația oferită de autor conform căreia doar un nivel ridicat de programare (însemnând că aspectul obiectiv mai dificil al programării de nivel jos a fost rezolvat) mai este necesar pentru procesarea datelor obținute. Algoritmii de fuziune a datelor de la senzori fac parte tocmai din acest nivel înalt de programare ce vizează a obține încă și mai mult de la dispozitivele în cauză. Tocmai de aceea, deși evoluția electronică care a adus la apariția tehnologiilor MEMS până în acest punct ar putea constitui un subiect de teză *in sine*, lucrarea pe care o propun se va axa pe aspectele fine de nivel înalt ale modelării și programării unor senzori ce deja pot fi considerați inteligenți.

Unitățile de măsură inerțiale sau IMU (Inertial Measurement Unit) este denumirea pe care o poartă categoria din care fac parte accelerometrele și giroscopapele. Majoritatea dispozitivelor electronice ce culeg informații despre orientarea în spațiu de obicei conțin această pereche de senzori, căteodată într-un triplet ce include și un magnetometru. Motivul diviziunii resurselor pentru a oferi o diversitate tipului de unitate de măsură este evident justificat de conceptul de fuziune al senzorilor anterior descris. Atât accelerometrul, cât și giroscopul și magnetometrul sunt senzori care oferă informații despre orientarea unui corp în spațiu. Mecanismele lor diferite de funcționare cauzează inevitabil atât avantaje cât și dezavantaje comparabile pentru detecția acelorași tipuri de miscări.

Aceste dezavantaje urmează să fie expuse în restul studiului bibliografic pentru a motiva necesitatea fuziunii datelor. Capitolul 4 va oferi o perspectivă minuțioasă a teoriei din spatele metodelor, umând ca în capitolele 5 și 6 utilitatea și imbunătățirea considerabilă adusă prin fuziune să fie demonstrăte într-un scenariu implicat activ ce cuprinde o testare și validare pe date reale.

Provenit din limba greacă, cuvântul giroscop a descris incipient un "cerc de observare". Inițial de factură mecanică, senzorul a evoluat până în stadiul actual pentru a capta informații referitoare la viteza unghiulară a corpului de care este atașat. Funcționarea senzorului este explicată de efectul Coriolis, aşa cum explică autorii în lucrarea [18]. Viteza sau velocitatea rotativă poate fi exprimată fizic ca derivata poziției unghiulare în raport cu timpul. Integrând această mărime se poate recupera poziția unghiulară de la un moment dat, dar nu unghiul complet parcurs, un aspect ce se va dovedi esențial în analiza dezavantajelor senzorului. Funcția matematică ce definește aria de sub curba unui grafic de măsuratori aplicată datelor obținute de la un giroscop poate returna deci doar *schimbarea* în unghi ce a avut loc intr-o perioadă de timp, sau unghiurile relative, în contrast cu unghiurile absolute, iar acest aspect face ca informația unei referințe inițiale să nu poată fi oferită de un giroscop de unul singur. Mai mult, după cum va fi demonstrat în capitolele ce urmează integrarea numerică produce un efect de deplasare a măsurătorilor statice, numit în literatură *drift*. Acest efect este în deosebi responsabil pentru amplificarea erorilor care apar în zgomotele de frecvență redusă care afectează măsurătorile senzorului. O primă încercare de rezolvare a acestei probleme a fost introducerea unui filtru trece-sus pentru a permite doar semnalelor de scurtă durată să fie înregistrate, adică exact a schimbărilor în unghi de interes, dar nu și a efectului de drift [19].

Accelerometrele, după cum sugerează și numele, sunt dispozitive ce măsoara accelerăția. Acestea funcționează pe baza vibrațiilor [20] și oferă date atât despre mișcare, măsurând accelerăriile liniare, cât și statice, accelerăția datorată gravitației. Datorită componentei gravitaționale, acești senzori, spre deosebire de giroscop, introduc noțiunea unui sistem de referință. Indiferent de mișcarea obiectului, vectorul gravitației o să fie indreptat mereu în jos, spre centrul pământului. La fel ca în cazul giroscopelor, și datele de la accelerometre pot fi procesate pentru a oferi informații despre unghiul de mișcare. De data asta nefind vorba de derivata unei mărimi, o simplă integrare nu poate fi aplicată măsurătorilor. Totuși, acestea pot fi simplu prelucrate prin funcții trigonometrice ce urmează să fie explicate în capitolele următoare. Un accelerometru funcționează prin măsurarea tuturor forțelor care acționează asupra lui. Acest aspect, deși pozitiv în aparență pentru acuratețea cu care detectează mișcarea, face ca senzorul să fie afectat de zgomot într-o măsură mai mare decât un giroscop. O rezolvare simplă dar ineficientă comparativ cu metodele de ultimă oră a fost propusă inițial prin introducerea unui filtru trece-jos (FTJ) care este capabil să eliminate zgomotele de frecvențe înalte cu dezavantajul că introduce o întârziere [19].

După o sumară analiză a celor doi senzori, se poate trage o concluzie bazată pe funcționalitatea fiecărui relativ la celălalt. Astfel, dacă accelerometrele produc măsura-

tori absolute, prin vectorul informativ al accelerării gravitaționale ce își păstrează valoarea de referință, giroscopul poate oferi doar măsuratori relative, în funcție de propria lui mișcare. În contextul inertiei senzoriale, se poate spune că accelerometrul se raportează la un sistem numit cadru mondial, pe când mișcarea giroscopului capătă sens atunci când este privită în cadrul său propriu. Aceste două noțiuni vor avea o importanță semnificativă în exprimarea orientării în spațiu, ce urmează să fie descrisă în continuarea studiului bibliografic și elaborată amănuntit în capitolul ce vizează teoria de la baza tezei. De asemenea, faptul că accelerometrul este afectat de zgome de frecvențe înalte îl face nefiabil pentru folosința de termen scurt, dar relevant pentru perioade mai lungi. La polul opus, giroscopul produce pe termen lung efectul de drift, dar este fiabil pe termen scurt pentru a oferi informații despre schimbarea în rotație a obiectului.

Aceste avantaje și dezavantaje se completează reciproc fascinant și este motivul pentru care cei doi senzori de obicei sunt folosiți împreună în loc de a folosi însă o metodă simplă de control print-un releu bipozitional care ar putea decide când un senzor este mai favorabil decât celălat, algoritmii de fuziune a datelor au evoluat pâna în momentul de față sub formă de metode inteligente capabile să determine singure gradul de încredere ce trebuie acordat fiecărei măsurători prezente în sistem.

Folosirea cuplului de senzori precum și rezolvările contrastate complementare prin cele două filtre polar opuse ca funcționare a dus la o primă tehnică de fuziune elementară care stă la baza unui algoritm arhicunoscut numit sugestiv filtrul complementar, descris tot în lucrarea [19]. Această simplă soluție are marele avantaj de a fi ușor de implementat în aproape toate limbajele de programare de nivel înalt, și poate fi suficientă pentru aplicații electronice de scală mică. Înmulțirea unghiului extras din măsuratorile accelerometrului cu o constantă și adunarea produsului cu o înmulțirea dintr rezultatul integrării vitezelor unghiulare citite de la giroscop cu o constantă complementară față de unitate cu cea a accelerometrului devine o simplă linie de cod, ceea ce face ca problema complexității computaționale să nu facă parte din discuție.

Prin intermediul unui prim banal dar eficient algoritm de fuziune senzorială încep să apară noi orizonturi de îmbunătățire a performanțelor unei astfel de metode. Avantajul ei devine incontestabil pentru aplicațiile senzorilor inertiali și subiectul dezbatării științifice se îndreaptă mai curând spre exploatarea beneficiilor unei astfel de soluții decât înspre chestionarea necesității ei.

Mai avansați, dar și mai exhaustivi din punct de vedere computațional sunt algoritmii de fuziune pe baza teoriei probabilității și statisticii. Posibile variații ale algoritmului Kalman au fost explorate la începutul acestui studiu bibliografic și algoritmul se dovedește a fi o soluție bună pentru aproape orice fel de problemă senzorială. În contrast cu filtrul complementar descris anterior, în implementarea căruia programatorul trebuie să decidă singur gradul de încredere acordat fiecărui senzor în parte (constantă de filtrare), filtrul Kalman decide statistic ponderea optimă care trebuie atribuită la fiecare moment de citire al unei măsurători, prin inițializarea anumitor parametri de acordare. Toate aceste idei,

precum și cele de mai sus, își găsesc confirmarea în lucrarea [19]. Acordarea respectivelor parametri, precum și implementarea algoritmilor în sine vor fi redigate în capitolele următoare.

În completarea perechii de senzori, multe aplicații sunt perfecționate prin adăugarea unui magnetometru. Acest nou senzor a existat sub o formă sau alta timp de milenii, după cum remarcă autorii lucrării [21]. Proprietățiile magnetice ale celor doi poli geografici de care dispune planeta au fost probabil primul motiv pentru care dezvoltarea sistemelor de navigație a putut fi realizată. După cum este redactat în publicația citată, o rocă de foc magnetizată pusă într-un bol cu apă a fost primul proiect de succes obținut de poporul chinez în detecția polului sud magnetic, din apropierea polului nord geografic.

Magnetometrele sunt, în fond, busole avansate care, tot datorită evoluției MEMS pot fi prezente în dispozitive de uz zilnic, cu un rol de mare interes în navigația pedestră. Dispunând acum de informația referitoare la componenta magnetică a Terrei, azimutul poate fi calculat trigonometric [21], asemenea unui unghi de înclinație al accelerometrului. Mai mult, un magnetometru împreună cu un accelerometru devin suficiente pentru a oferi o percepție completă a cadrului de referință în care se află sistemul studiat. Singura accelerație care acționează asupra unui obiect staționar este cea gravitatională și astfel vectorul de accelerație va fi îndreptat în sus, opus ca sens față de cel gravitational. Magnetometrul arată înspre nord și astfel sunt obținute două axe ale sistemului de referință. A treia axă a spațiului tridimensional în care se află corpul-obiect poate fi obținută simplu ca vectorul rezultant din produsul vectorial pe spațiul definit de cei doi vectori anterior determinați și atfel se obține o referință completă numită în literatură NED (North-East-Down).

Se definește astfel, ținând cont de noțiunile introduse în paragraful precedent orientarea unui obiect ca rotația corpului în cauză față de sistemul de referință NED. Având sistemul de referință definit de cei doi senzori, cea mai convenabilă formă de reprezentare a orientării este matricea de rotație de 3×3 bazată pe cei trei vectori N-E-D.

Deși proiectul propus nu presupune utilizarea unui magnetometru, am considerat includerea unei sumare descriei necesară, intrucât aceasta oferă o înțelegere mai profundă a sistemelor de orientare, numite în literatura AHRS (Attitude and Heading Reference Systems). Fără folosirea unui magnetometru, componenta ce descrie direcția de îndreptare în planul longitudinal, numită gîrație [22], nu mai este evaluată, iar noul sistem este limitat la funcționarea de tip ARS (Attitude Reference System). Aceasta este și sistemul pe care l-am modelat în scopul obținerii unui comportament de tip joystick pentru microcontroller, și incursiunea în funcționalitatea și importanța unui senzorului-busolă a fost utilă în a justifica nevoia unuia în general, dar și futilitatea lui în particular pentru contextul lucrării propuse. Cu alte cuvinte, pentru prezența teză, obținerea orientării sistemului folosit nu a solicitat un comportament de busolă, dar principiul descris va putea reprezenta un punct de plecare pentru o viitoare extensie a actualei lucrări.

Introducerea noțiunii de sistem de referință deschide calea către un concept de mare importanță în utilitatea dispozitivelor IMU, și în consecință vital și pentru proiectul propus,

vag menționat anterior, orientarea unui corp.

Orientarea, adesea numită și atitudine, definește felul în care un corp este poziționat relativ la un sistem de referință. Ea poate fi exprimată matematic în mai multe forme cu scopul de dinamica poziționării unui obiect sau unui corp observat într-un plan sau spațiu tridimensional. Principalele trei tipuri de reprezentare a orientării sunt unghiurile Euler, introduse ce celebrul matematician al cărui nume îl poartă, matricile de rotație și cuaternionii. Grupul de construcții matematice este analizat exhaustiv de autorul lucrării [23], din care se pot trage concluzii clare despre avantajele și dezavantajele fiecărei reprezentări.

Construcția lui Euler, tripletul format din cele trei unghiuri ce reprezintă rotațiile corespunzătoare din jurul celor trei axe ale spațiului de referință, reprezintă, după cum observă și Diebel James, cea mai comună alegere pentru reprezentarea orientării, pentru că înțelegerea lor este facilă. Unghiurile sunt adesea numite ruliu, tangaj și giroscop (roll, pitch, and yaw) în aplicațiile ce țin de navigație terestră, spațială sau acvatică. Probabil cel mai important neajuns al simplei reprezentări este vulnerabilitatea la singularitățile provenite din blocarea unei axe, fenomen studiat și cunoscut sub denumirea de Gimbal-Lock [23]. Concret, atunci când două dintre cele trei axe disponibile ajung într-o configurație paralelă (cum este cazul perpendicularităților), un grad de libertate se pierde deoarece cele două axe oferă aceeași informație.

Acest dezavantaj este suficient pentru a descalifica folosirea de sine statatoare a reprezentării în aplicații ce necesită mișcări perpendiculare. Un proiect fiabil pentru folosirea celor trei coordonate ar putea fi o cameră de filmat programată intelligent, care nu ar trebui niciodată să înregistreze imagini la 90° , respectiv -90° de grade (tavan și podea) pentru o referință orizontală. Un caz asemănător, un avion care ar atinge una dintre cele două extreme pentru unghiul de tangaj (elevație) ar fi în predispoziție de cădere, deci evitarea gimbal lock-ului nici nu ar avea sens. Aplicațiile ce nu pot fi constrânse la un interval de valori și deci necesită o orientare completă în spațiu, cum este exemplul jocurilor video, sau al realitatății virtuale ori augmentate, nu pot fi concepute printr-o implementare indiferentă la astfel de singularități, și impun construcții mai avansate. Cu toate acestea, tripletul de unghiuri reprezintă baza teoretică pentru următoarele două categorii de reprezentare.

O matrice de rotație, adesea numită în literatură DCM (Direction Cosine Matrix) este o matrice de 3×3 care, înmulțită cu un vector dintr-un cadru de referință, transpune acel vector într-un alt cadru de referință, păstrându-i magnitudinea [23]. Pentru fiecare dintre cele trei axe ale sistemului global se poate defini o transformare liniară ce cuprinde informații despre fiecare axă din sistemul de referință, obținându-se astfel un sistem de trei ecuații cu 9 variabile noi introduse. Aceste nouă variabile sunt exact elementele unei matrici de rotație. Interpretarea valorilor este dată geometric de funcția cosinus a unghiului dintre axele respective de pe fiecare coloană și de pe fiecare rând al matricii, ceea ce conferă și explicația pentru denumirea lor (Cosine Matrices). Notații diferite pentru semnele funcțiilor trigonometrice din interiorul matricilor pot fi regăsite în literatură deoarece

acestea pot fi reprezentate sub forma a două convenții, transformarea liniară din cadrul mondial în cadrul obiect, și invers.

Construcția avansată derivată din cele trei unghiuri inițiale prezintă și dezavantaje. Matricea definită trebuie să fie mereu normalizată la dererminant pentru a exprima o rotație corectă [23]. De asemenea, reprezentarea sub forma a nouă elemente în loc de trei va necesita folosirea mai multor resurse de calcul, deși acest aspect nu reprezintă o problemă de actualitate la momentul scrierii lucrării, când majoritatea limbajelor de programare pot rezolva algoritmi bazați pe algebră liniară la fel de rapid ca operațiile cu scalari sau vectoriale, iar puterea computațională oferită de procesoare nu este un impediment. De fapt, nu există niciun dezavantaj evident pentru care s-ar evita folosirea matricilor de rotație. Singurul motiv pentru care acestea nu sunt mereu încorporate în aplicații este pentru că există o reprezentare care este, privind obiectiv din mai multe puncte de vedere, superioară.

Cuaternionii, după cum notează autorul lucării [24] sunt o descoperire a secolului 19 atribuită lui William Rowan Hamilton, care a descoperit cum poate teoretiza o a patra dimensiune pentru a explica rotații în spațiul tridimensional. Algebra din spatele cuaternionilor este un subiect vast căruia îi va fi dedicat o întreagă secțiune teoretică în această lucrare, dar principalul interes pentru teza propusă este folosirea cuaternionilor pentru a defini rotații, iar aceasta se exprimă prin cuaternioni unitate (cu normă egală cu unitatea) [24]. Vectorul cvadridimensional descoperit de Hamilton este nici mai mult, nici mai puțin decât o extensie a sistemului complex de numere [25] definit de Carl Friedrich Gauss, și se supune regulilor numerelor imaginare.

În esență, prima componentă reală dintre cele patru reprezintă unghiul de rotație al corpului, iar celelalte trei componente imaginare reprezintă cele trei axe de rotație ale cadrului de referință [26]. Astfel se poate imagina un cadrul tridimensional în care se desfășoară o rotație, pentru că o concepție despre un spațiu cvadridimensional nu este posibilă pentru mintea umană. Acest nivel ridicat de abstractizare este probabil și unul dintre puținele dezavantaje ale acestei reprezentări. Extragerea unui înțeles semnificativ pentru cele patru numere nu este intuitivă, iar necesitatea normalizării poate fi un impediment atunci când se dorește optimizarea algoritmului deja instantiat. Totuși, programări pe un calculator, cuaternionii se dovedesc superiori celorlalte două reprezentări, în principal prin capacitatea lor de a fi interpozați sferic prin SLERP (Spherical Linear Interpolation) [24], metodă ce permite interpolarea relativ la suprafața unei sfere unitate în contrast cu interpolarea clasicea printr-o linie. Această tehnică, deși abstractă, s-a dovedit în timp extrem de utilă pentru schimbarea lină a cadrelor în aplicații virtuale, și astfel cuaternionii au devenit inevitabil reprezentarea de ultimă oră în domenii precum vizuinea artificială sau realitatea augmentată.

Scopul în care lucrarea propusă va folosi vectorii cuaternioni rămâne însă fidel obiectivului initial de a realiza o aplicație de urmărire, iar orientarea rotațiilor este punctul cheie în funcționarea jocului. Cuaternionii sunt un standard și pentru proiectele de fuziune sen-

zorială, cum este cel prezentat în lucrarea [27], ce profită de avantajul cinematicii liniare a reprezentării 4D pentru a justifica folosirea unui filtru liniar. Lucrarea [28] oferă o metodă de implementarea filtrului Kalman unscented pentru fuziunea datelor unui IMU în vederea reconstrucției unui traseu simulat, folosind cuaternionii ca formă de orientare.

Având astfel definit obiectivul proiectului, precum și noțiunile teoretice necesare în implementare, propun această teză cu scopul de a oferi o imagine de ansamblu a tehnicilor de fuziune senzorială într-o aplicație cu caracter ludic, dar cu nuanțe importante în industria emergentă a vehiculelor autonome. Un model de obținere al orientării similar cu cel descris în articolul [29] va fi implementat pentru accelerometru, în vreme ce procesul modelului ce va descrie atitudinea obținută de la giroscop se va baza pe cuaternioni. Folosirea senzorilor reali va presupune, în contrast cu cei simulați, o metodă de calibrare. Întrucât calibrarea senzorilor constituie un subiect de teză în sine, după cum este descris întregul proces în lucrarea de disertație [30], aspectele de mică importanță nu vor fi tratate cu aceeași minuțiozitate cerută în industrie. Acestea fiind spuse, aplicația dezvoltată este complet funcțională și poate servi ca model pentru arhitectura de la baza unui proiect de scală largă bazat pe urmărire în timp real și fuziune senzorială, ce mai apoi va putea fi extins pentru a acoperi mai multe aspecte.

Capitolul 4

Analiză și Fundamentare Teoretică

Propun acest capitol sub forma unei analize minuțioase a conceptelor menționate anterior în studiul bibliografic în scopul oferirii unei perspective complete asupra ariei de interes înainte de elaborarea modului de dezvoltare a aplicației, rezervată pentru capitolul următor. Doresc pe această cale să creez un cadru tehnic familiar pentru cititor și să fixez astfel noțiunile necesare înțelegerii algoritmilor avansați, pornind de la mecanica clasică, cu o trecere spre modelarea matematică sub formă de spațiu al stărilor și fundamentele statistice ce stau la baza proceduriilor de nivel înalt.

Tangențele cu obiectul unor altor studii nu se doresc a fi exhaustive și explicațiile necesare vor fi limitate la aplicabilitatea oferită domeniului de interes pentru care această lucrare a fost redactată. În acest sens, capitolul prezent poate constitui un schelet teoretic pentru viitoare implementări ale unor proiecte mai avansate.

4.1 Ecuațiile mișcării

În *Dialog despre cele două mari sisteme ale lumii* (1632), Galileo Galilei sfidează pentru prima dată ipoteza aristotelică conform căreia o forță ar imprima unui obiect o viteză. Deși într-adevăr obiectele în mișcare nu rămân în acest stadiu fără intervenția unei forțe, principiul interției formulat de matematicianul florentin demonstrează că forța imprimă unui corp accelerăție, nu velocitate. Cu alte cuvinte, în legea căderii libere, Galileo a observat că viteza unui corp va continua să crească la infinit, dar mișcarea ei va fi accelerată constant, acea accelerăție fiind chiar accelerăția gravitațională. Mai mult, el a observat că traiectoria unui proiectil accelerat este o parabolă. Astfel, a fost definită ecuația căderii libere:

$$p = \frac{1}{2}gt^2 \quad (4.1)$$

Unde p este poziția corpului în cădere, g reprezintă componenta gravitațională a accelerăției, iar t este componenta temporală, o nouătate introdusă de fizician în perspectiva

asupra cinematicii de la acea vreme. Pentru generalizare, o poziție inițială p_0 a corpului în cădere, precum și viteza v care crește nelimitat sunt introduse astfel:

$$p = p_0 + v + \frac{1}{2}gt^2 \quad (4.2)$$

Galileo a observat nu numai că viteza unui corp cu o acceleratie constantă crește la infinit, dar și cum aceasta crește liniar în funcție de timp. A fost definită astfel funcția de schimbare a vitezei în timp generalizată pentru a îngloba și o viteză inițială v_0 :

$$v = v_0 + gt \quad (4.3)$$

Aceste două simple, dar revoluționare schimbări de paradigmă din istoria formulării dinamicii obiectelor au fost generealizate de Isaac Newton și pentru accelerării fără componentă gravitațională în încercarea de a descrie dinamica sistemului solar folosind-se de analiza matematică. În contextul orbitării planetelor în jurul unei stele, cunoașterea poziției unui corp ceresc la un moment dat este un factor cheie în a prezice următoare poziție de la un următor moment de timp, după cum a descoperit fizicianul englez.

Cum Galileo a definit vag noțiunile de viteză și acceleratie ca niște funcții de raport în timp, introducere calculului derivativ a propulsat descoperirea într-o nouă formă, Newton definind viteza ca schimbarea în timp a accelerării, iar poziția ca schimbare în timp a vitezei.

$$v = \frac{dp}{dt}, \quad v = \dot{p} \quad (4.4)$$

$$c, \quad a = \dot{v} = \ddot{p} \quad (4.5)$$

Se poate scrie astfel prima ecuație sub forma generalizată:

$$v = v_0 + \frac{dv}{dt}\Delta t \quad (4.6)$$

Viteza medie \bar{v} a unui corp poate fi scrisă în funcție de viteza inițială v_0 și viteza finală v conform formulei:

$$\bar{v} = \frac{v_0 + v}{2} \quad (4.7)$$

$$v = v_0 + at \quad (4.8)$$

Și astfel:

$$\bar{v} = v_0 + \frac{1}{2}at \quad (4.9)$$

Ceea ce duce la rescrierea celei de-a doua ecuații sub forma:

$$p = p_0 + \bar{v}t \quad (4.10)$$

$$p = p_0 + v_0 t + \frac{1}{2} \frac{d^2 p}{dt^2} \Delta t^2 \quad (4.11)$$

Pot fi deci simulate soluțiile ecuațiilor diferențiale prin integrare numerică în timp fără alte cunoștințe despre proprietăți ale obiectului în mișcare, și ipoteza lui Galileo conform căreia traiectoria unui obiect reprezintă o parabolă a unei ecuații de gradul II este validată grafic în figura 4.1.

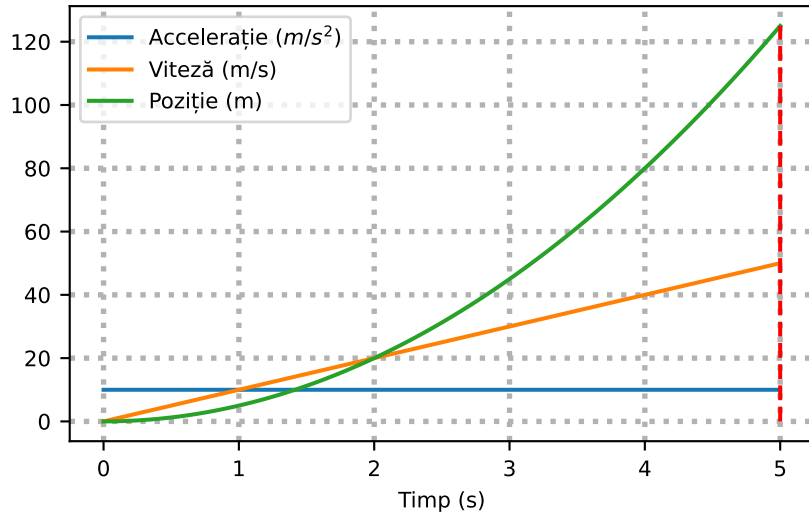


Figura 4.1: Dinamica mișcării pentru o acceleratie constantă

Teoretic, starea precedentă (notată ca stare inițială în formule) și dinamica descrisă ar trebui să fie suficiente pentru a extrapola poziția unui obiect de la un moment de timp $t + \Delta t$ următor. În practică, starea măsurată este afectată de zgomot de măsură de la senzori, notat de acum ν , iar dinamica este afectată de zgomot de proces, din cauza turbulentelor prezente în mediul de observare, notat w . Astfel, cele două cuații devin:

$$v = (v_0 + \nu_v) + \frac{dv}{dt} \Delta t + \omega_v \quad (4.12)$$

$$p = (p_0 + \nu_p) + v_0 t + \frac{1}{2} \frac{d^2 p}{dt^2} \Delta t^2 + \omega_p \quad (4.13)$$

4.2 Dinamica sistemului

Ecuațiile diferențiale tratate ca un întreg și evaluate pentru schimbarea valorilor dependente în timp formează reprezentarea cunoscută sub numele de spațiu stărilor:

4.2.1 Timp continuu

Pornind de la ecuațiile (4.4) și (4.5) se poate compune modelul sistemului sub formă matricială astfel:

$$\begin{bmatrix} \dot{v} \\ \dot{p} \end{bmatrix} = \begin{bmatrix} 0 & 0 \\ 1 & 0 \end{bmatrix} \cdot \begin{bmatrix} v \\ p \end{bmatrix} + \begin{bmatrix} 1 \\ 0 \end{bmatrix} \cdot a \quad (4.14)$$

Variabilele derivate devin stările sistemului și ieșirea y care măsoară poziția unui obiect poate fi definită pentru sistem în felul următor:

$$y = [0 \ 1] \cdot \begin{bmatrix} v \\ p \end{bmatrix} \quad (4.15)$$

Pentru un obiect care își schimbă poziția într-un plan bidimensional se poate defini spațiu stărilor relativ la axele x și y prin extensia modelului unidimensional anterior definit astfel:

$$\begin{bmatrix} \dot{v}_x \\ \dot{v}_y \\ \dot{p}_x \\ \dot{p}_y \end{bmatrix} = \begin{bmatrix} 0 & 0 & 0 & 0 \\ 0 & 0 & 0 & 0 \\ 1 & 0 & 0 & 0 \\ 0 & 1 & 0 & 0 \end{bmatrix} \cdot \begin{bmatrix} v_x \\ v_y \\ p_x \\ p_y \end{bmatrix} + \begin{bmatrix} 1 & 0 \\ 0 & 1 \\ 0 & 0 \\ 0 & 0 \end{bmatrix} \cdot \begin{bmatrix} a_x \\ a_y \end{bmatrix} \quad (4.16)$$

Iar pozițiile vor fi măsurate la ieșire astfel:

$$y = \begin{bmatrix} 0 & 0 & 1 & 0 \\ 0 & 0 & 0 & 1 \end{bmatrix} \cdot \begin{bmatrix} v_x \\ v_y \\ p_x \\ p_y \end{bmatrix} \quad (4.17)$$

Forma generală a sistemului pentru vectorul de 4 stări x rezultă astfel și accelerarea ca intrare u pentru sistem:

$$\dot{x} = Ax + Bu \quad (4.18)$$

$$y = Cx \quad (4.19)$$

Cu A , B , C definite ca matricile de tranziție, control, respectiv observare.

4.2.2 Observabilitatea sistemului

Pentru ca urmărirea traectoriei obiectului în mișcare să fie posibilă, sistemul corpului trebuie să fie observabil. R.E. Kalman a definit astfel matricea de observabilitate și condiția pentru care sistemul cu $n = 4$ stări să fie complet observabil [31]:

$$\gamma_{A,C} = \begin{bmatrix} C \\ CA \\ CA^2 \\ CA^3 \end{bmatrix}, \quad \text{rang}(\gamma_{A,C}) = n \quad (4.20)$$

Un estimator liniar [32] validează observabilitatea sistemului:

$$\hat{x} = A\hat{x} + Bu + L\epsilon \quad (4.21)$$

$$\hat{y} = C\hat{x} \quad (4.22)$$

$$\epsilon = y - \hat{y} \quad (4.23)$$

unde ϵ reprezintă eroarea de estimare și pentru care vectorul L poate fi calculat prin alocare de poli astfel încât rezultatul $A - LC$ să fie Hurwitz [33], adică :

$$\det[\lambda I_4 - (A - LC)] = 0 \quad (4.24)$$

Se poate valida printr-o simulare grafică convergența stărilor estimate la cele măsurate prin minimizarea erorilor vectorului ϵ atunci când $y - \hat{y} \rightarrow 0$ (figura 4.2).

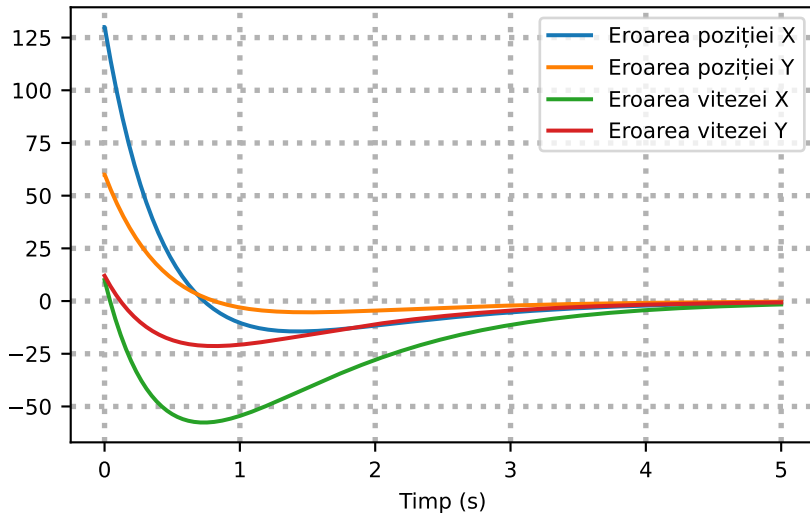


Figura 4.2: Dinamica erorilor

Demonstrația observabilității sistemului (figura 4.3) propus este punctul de plecare pentru urmărirea traectoriei în timp real pentru o dinamică agnostică în raport cu stările inițiale.

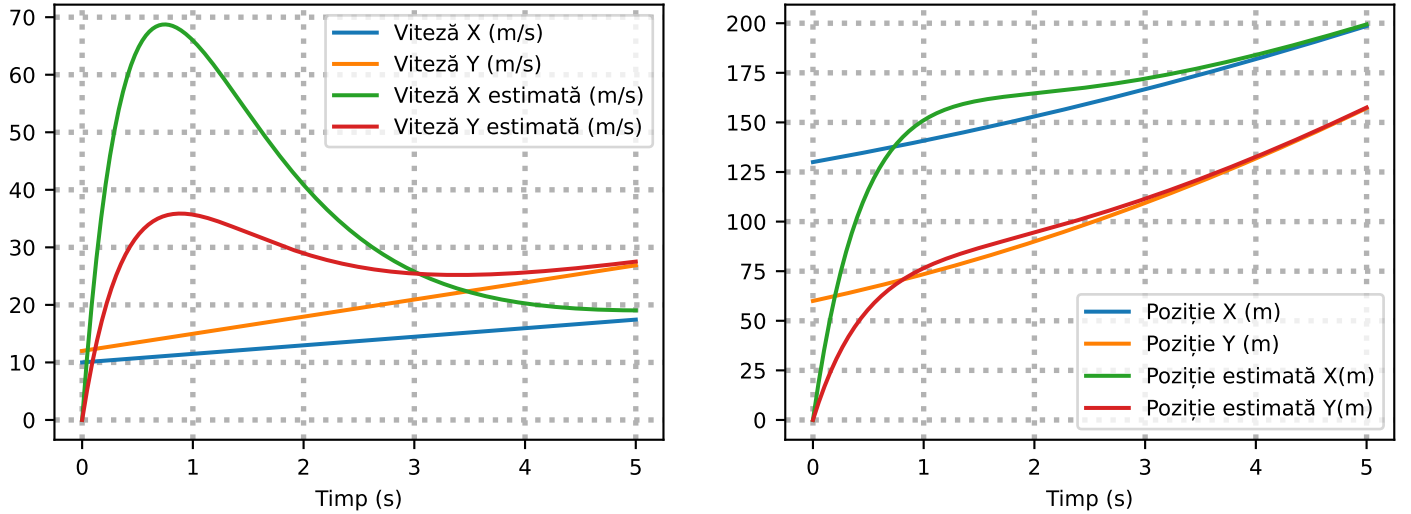


Figura 4.3: Estimarea convergentă a stărilor sistemului

4.2.3 Estimarea perturbațiilor

Într-un scenariu real, dinamica sistemului simulață va fi afectată de perturbații precum bătaia vântului, valuri de marea sau instabilitatea solului în funcție de contextul în care se desfășoară urmărirea.

Modelul obținut se poate extinde pentru a îngloba dinamica perturbației [34]:

$$\hat{x} = A\hat{x} + Bu + Ed \quad (4.25)$$

$$\hat{y} = C\hat{x} \quad (4.26)$$

$$(4.27)$$

Acesta poate fi augmentat pentru a observa perturbația astfel încât condiția de observabilitate, rang $(\gamma_{A_e, C_e}) = n + 1$ să fie îndeplinită [34]:

$$\hat{x}_e = A_e\hat{x}_e + B_e u + L\epsilon \quad (4.28)$$

$$\hat{y} = C_e\hat{x}_e \quad (4.29)$$

$$\epsilon = y - \hat{y} \quad (4.30)$$

unde [34]:

$$A_e = \begin{bmatrix} A & E \\ 0 & 0 \end{bmatrix}, \quad B_e = \begin{bmatrix} B \\ 0 \end{bmatrix}, \quad C_e = [C \quad 0] \quad (4.31)$$

Plasarea polilor estimatorului astfel încât matricea $(A_e - LC_e)$ să fie Hurwitz se realizează cu funcția *place* [35] din modulul *control* extern de Python pentru polii $\lambda_1, \lambda_2, \lambda_3, \lambda_4, \lambda_5$ cu partea reală negativă aleși astfel:

$$L = place(A_e^T, C_e^T, [\lambda_1, \lambda_2, \lambda_3, \lambda_4, \lambda_5]) \quad (4.32)$$

Simularea sistemului pentru un set de condiții initiale demonstrează conform figurii 4.4 că modelul extins este capabil să estimeze perturbații constante sau deterministe.

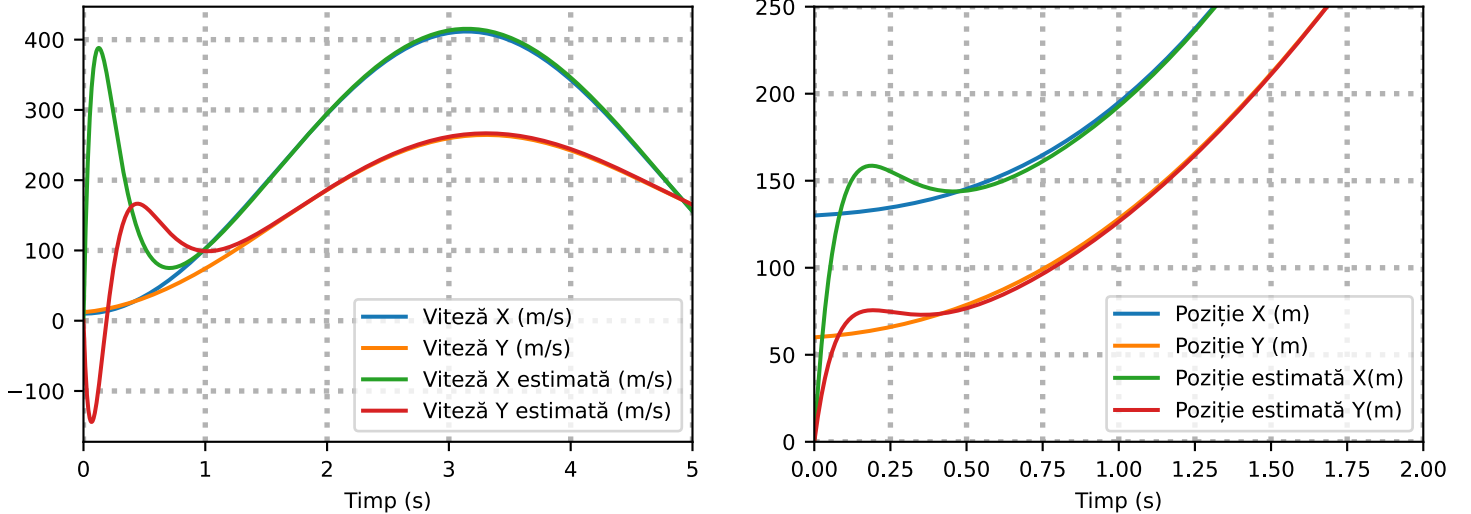


Figura 4.4: Estimarea stărilor sistemului

Limitarea pe care extensia modelului liniar o prezintă este incapacitatea observatorului de a aproxima perturbații stohastice. De cele mai multe ori, zgomotul prezent în modelul procesului, dar și în modelul măsurătorilor este de natură probabilistică, ceea ce deschide calea pentru studierea unor estimatoare mai avansate.

Perturbațiile liniare sau liniare pe părți pot fi privite ca o intrare externă a sistemului și de aceea estimarea lor nu necesită algoritmi probabilistici. Sinusoidele, deși neliniare, au un comportament deterministic în timp în funcție de perioada de oscilație și amplitudine, care rămân componente constante pentru funcție. Dezechilibrele prezente în scenariile de urmărire a obiectelor sunt, după cum se va vedea, sporadice, și comportamentul lor trebuie încadrat statistic într-o distribuție de valori posibile, după cum urmează să fie demonstrat.

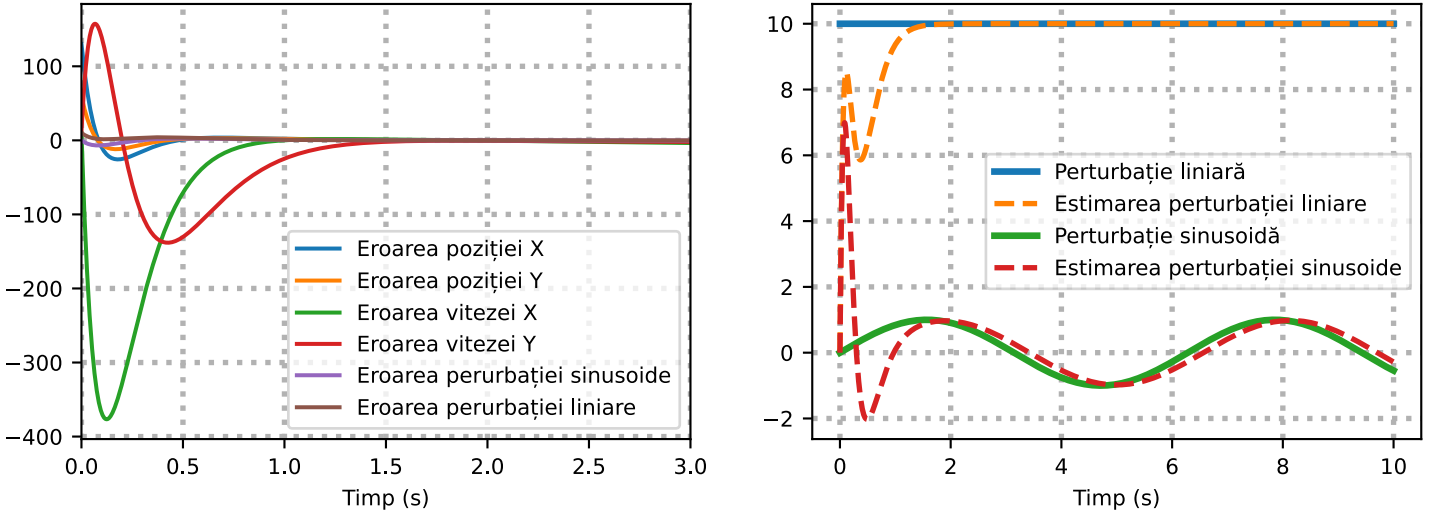


Figura 4.5: Dinamica erorilor și estimarea perturbațiilor

4.2.4 Estimatorul Luenberger

O posibilă metodă de rejectare a destabilizațiilor este decuplarea lor cu totul de la intrarea sistemului. De asemenea, ele nu vor mai fi integrate în vectorul de stare, și prin urmare nu vor fi nici estimate.

În 1966, David Luenberger propune o nouă formă canonica [36], ca un compromis dintr-un estimator liniar și invariant în timp, cu o dinamică a polilor mai rapidă decât a sistemului obsevat și un sistem aproximativ al ieșirilor măsurate pentru o rejectare rapidă, dar degradată de zgomotul aditiv din măsurători.

O perspectivă asupra motivației autorului poate fi desprinsă și din figura 4.5, în care se observă că erorile care converg rapid au în dinamica lor și un suprareglaj semnificativ, din cauza agresivității cu care observatorul liniar alocă poli negativi cu valoare absolută mare. Acest lucru este fiabil pentru simulări, dar nu și pentru majoritatea aplicațiilor reale.

Luenberger a propus atfel pentru modelul liniar, invariant în timp:

$$\dot{x}(t) = Ax(t) + Bu(t) \quad (4.33)$$

$$y(t) = Cx(t) \quad (4.34)$$

sistemul de observare guvernat de [37]:

$$\dot{z}(t) = Fz(t) + Gx(t) + TBu \quad (4.35)$$

pentru perechea (A, C) complet observabilă.

Pentru acest sistem, s-a definit controlul intrării [37]:

$$u(t) = Kx(t) = (K_1 + K_2)x(t) \quad (4.36)$$

Concret, pentru vectorul de stare estimat [38]:

$$\hat{x} = z + Hy \quad (4.37)$$

pentru care H poate fi rescris în funcție de pseudo-inversa matricei (CE) , notată $(CE)^*$ [38], sub forma:

$$H = E(CE)^* \quad (4.38)$$

se poate obține setul de ecuații [38]:

$$K_1 = place(TA^T, C^T, [\lambda_1, \lambda_2, \lambda_3, \lambda_4]) \quad (4.39)$$

$$T = I_4 - HC \quad (4.40)$$

$$F = TA - K_1^T C \quad (4.41)$$

$$K_2 = FH \quad (4.42)$$

$$(4.43)$$

Figura 4.6 arată cum pentru o perturbație stocastică de tip zgomot alb estimarea stărilor nu diverge. Un dezavantaj al estimatorului Luenberger este necesitatea îndeplinirii condiției $\text{rank}(E) = \text{rank}(CE)$ [38] care limitează posibilitățile modelării dezechilibrelor.

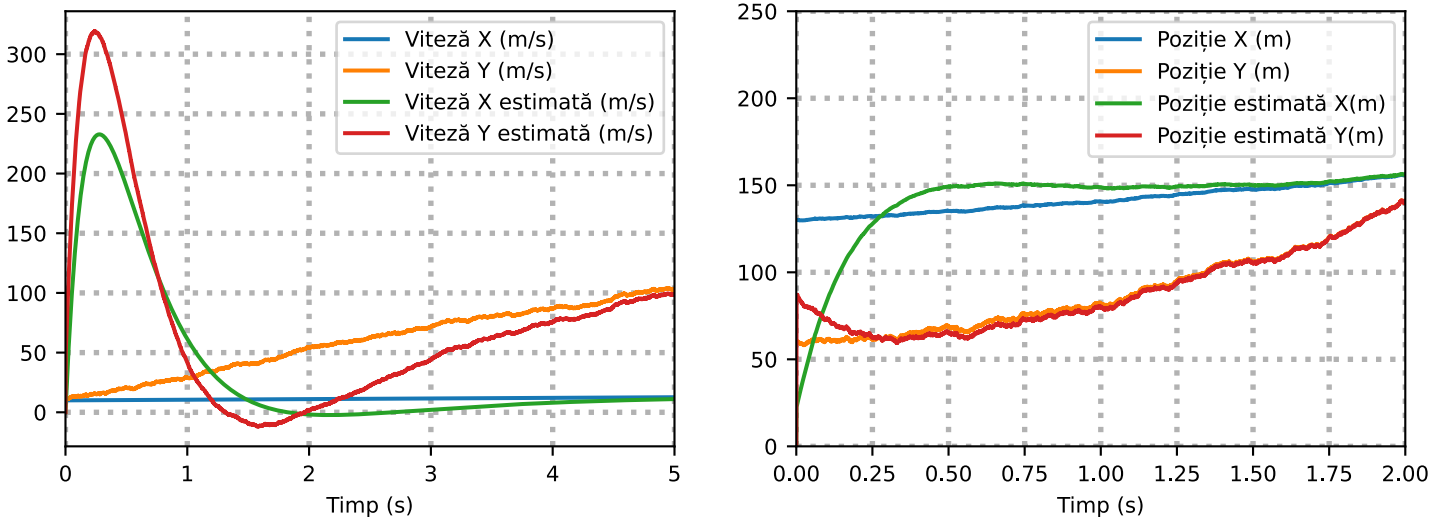


Figura 4.6: Estimarea stărilor folosind forma Luenberger

Figura 4.7 captează dinamica erorilor de estimare.

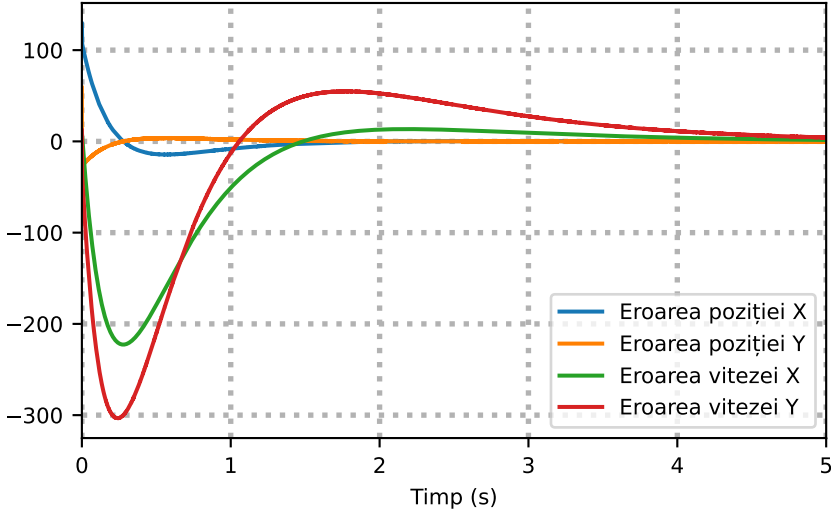


Figura 4.7: Convergența erorilor estimatorului Luenberger

4.3 Filtrul Kalman

Am considerat analizarea observabilității sistemului necesară oferirii unui context pentru problema estimării unei traiectorii. Cu toate acestea, algoritmii propuși nu pot fi considerați soluții de ultimă oră. Decuplarea perturbațiilor funcționează în cazul în care perturbația în sine nu este o intrare pentru model. În cazul procesului definit, dacă este prezent zgromadire de măsură pentru acceleratie, aceasta nu poate fi eliminată cu totul, pentru că variabilele de stare sunt dependente de ea.

Din acest motiv doresc să introduc în acest subcapitol motivarea, precum și analiza filtrelor Kalman care au ajuns și în implementarea finală descrisă în capitolul următor. Pentru aceasta voi realiza o trecere prin fundalul teoretic necesar ancorei unui astfel de algoritm.

4.3.1 Discretizarea procesului

Mișcarea unui obiect este de cele mai multe ori un proces continuu, cum este și cazul care a motivat elaborarea acestei teze. Cu toate acestea, pentru sistemele automate, măsurările care vin de la senzori precum și semnalele de comandă inițiate de actuatoare sunt eșantionate pe momente de timp, și au comportament discret, ceea ce înseamnă ca modelul spațiului stărilor anterior definit se modifică.

Modelul liniar matricial pe care l-am dezvoltat pornind de la ecuațiile (4.4) și (4.5) poate fi integrat în timp folosind metode numerice precum Euler sau Runge Kutta [39] pentru aproximarea ecuațiilor diferențiale. Avantajul reprezentării propuse de Galileo-Newton este că sistemul definit de ecuațiile (4.12) și (4.13) este deja discretizat, sub o formă pe care Leonard Euler a redescoperit-o ulterior.

Astfel, se recupereză sistemul discret:

$$v_1 = v_0 + a\Delta t \quad (4.44)$$

$$p_1 = p_0 + v_0\Delta t + \frac{1}{2}a\Delta t^2 \quad (4.45)$$

pentru care perioada de observare în timp capătă noul sens de perioadă de eşantionare.

Spațiul stărilor se rescrie pentru un moment de timp $t = k + 1$ sub forma:

$$\begin{bmatrix} p \\ v \end{bmatrix}_{k+1} = \begin{bmatrix} 1 & \Delta t \\ 0 & 1 \end{bmatrix} \cdot \begin{bmatrix} p \\ v \end{bmatrix}_k + \begin{bmatrix} \frac{1}{2}\Delta t^2 \\ \Delta t \end{bmatrix} \cdot a \quad (4.46)$$

Care este extins pentru a acopara mișcarea în raport cu cele două axe ale planului traiectoriei [40]:

$$\begin{bmatrix} p_x \\ p_y \\ v_x \\ v_y \end{bmatrix}_{k+1} = \begin{bmatrix} 1 & 0 & \Delta t & 0 \\ 0 & 1 & 0 & \Delta t \\ 0 & 0 & 1 & 0 \\ 0 & 0 & 0 & 1 \end{bmatrix} \cdot \begin{bmatrix} p_x \\ p_y \\ v_x \\ v_y \end{bmatrix}_k + \begin{bmatrix} \frac{1}{2}\Delta t^2 & 0 \\ 0 & \frac{1}{2}\Delta t^2 \\ \Delta t & 0 \\ 0 & \Delta t \end{bmatrix} \cdot \begin{bmatrix} a_x \\ a_y \end{bmatrix}_k \quad (4.47)$$

Am definit astfel modelul procesului pentru care, în lipsa unui accelerometru, accelerația poate fi modelată ca zgromot, unde F devine matricea de tranziție, iar L denotă matricea de propagare a zgromotului pe stările din proces:

$$x_{k+1} = Fx_k + La_k \quad (4.48)$$

Urmărirea traiectoriei unui obiect presupune în summum estimarea poziției corpului relativ la axele de mișcare. Din modelul procesului se poate vedea că o informație despre accelerații ar fi suficientă pentru a realiza obiectivul. Integrată o dată, măsuratoarea accelerației devine o estimare pentru velocitate, care prin integrare reprezintă o ipotecnică poziție.

Deși integrarea reduce zgromotul, un dezavantaj mare al procedurilor numerice îl reprezintă erorile de aproximare [39]. Cum nu se poate implementa analitic, o aproximare numerică de sine stătătoare va introduce dezechilibru, iar o dublă integrare va spori efectul. Acest fapt impune înglobarea comportamentului stocastic al nesiguranțelor din proces sub o formă predictibilă și este punctul de plecare pentru analiza statistică ce urmează.

4.3.2 Probabilistica variabilelor aleatorii

Se definește probabilitatea unui eveniment x sub condiția [41] :

$$0 \leq P(x) \leq 1 \quad (4.49)$$

astfel încât $P(x) = 0$ înseamnă că evenimentul nu va avea loc niciodată, iar pentru $P(x) = 1$ evenimentul va avea loc cu certitudine absolută.

Probabilitatea lui x poate fi calculată exact pentru o mulțime de evenimente n ce cuprinde totalitatea rezultatelor posibile [41]:

$$P(x) = \frac{100 \times n_x}{\sum n} [\%] \quad (4.50)$$

Pentru un set de evenimente X se definește probabilitatea obținerii elementului x ca o funcție cu restricțiile aferente [41]:

$$f(x) = P(X == x) \quad (4.51)$$

$$P(X == x) \geq 0 \quad (4.52)$$

$$\sum P(X == x) = 1 \quad (4.53)$$

Această funcție poartă numele de *probabilitate de masă* și se aplică seturilor de evenimente discrete.

Cum însumarea unei mulțimi de evenimente discrete infinitezimale ca mărime și efect este rezultatul unei integrale, se definește pentru evenimente continue conceptul de *densitate probabilistică* ca o funcție $f(X)$ se supune pentru un interval de observare dat $[a, b]$ următoarei egalități:

$$P(a \leq X \leq b) = \int_a^b f(X) dx \quad (4.54)$$

$$P(X == x) = 0 \quad (4.55)$$

Funcția definită reprezintă distribuția evenimentelor aleatorii din setul total de posibilități, iar intergrala ei aproximează aria de sub grafic.

În contextul modelării incertitudinii unei mărimi, măsurătorile senzorului de la fiecare moment de timp k din numărul total N de experimente pot fi approximate naiv prin mediere astfel:

$$\mu = \frac{1}{N} \sum_{k=1}^N x_k \quad (4.56)$$

Legea numerelor mari [42] observă pentru un număr de experimente $N \rightarrow \infty$ tendința mediei eșantioanelor de a converge la media adevărată a populației. Figura 4.8 prezintă rezultatul unei simulări de măsurători aleatorii cuprinse într-o distribuție uniformă. Deși media populației (media teoretică) nu e neapărat o reprezentare bună pentru fiecare medie de eșantion, ea este cea mai bună reprezentare pentru media tuturor mediilor eșantioanelor.

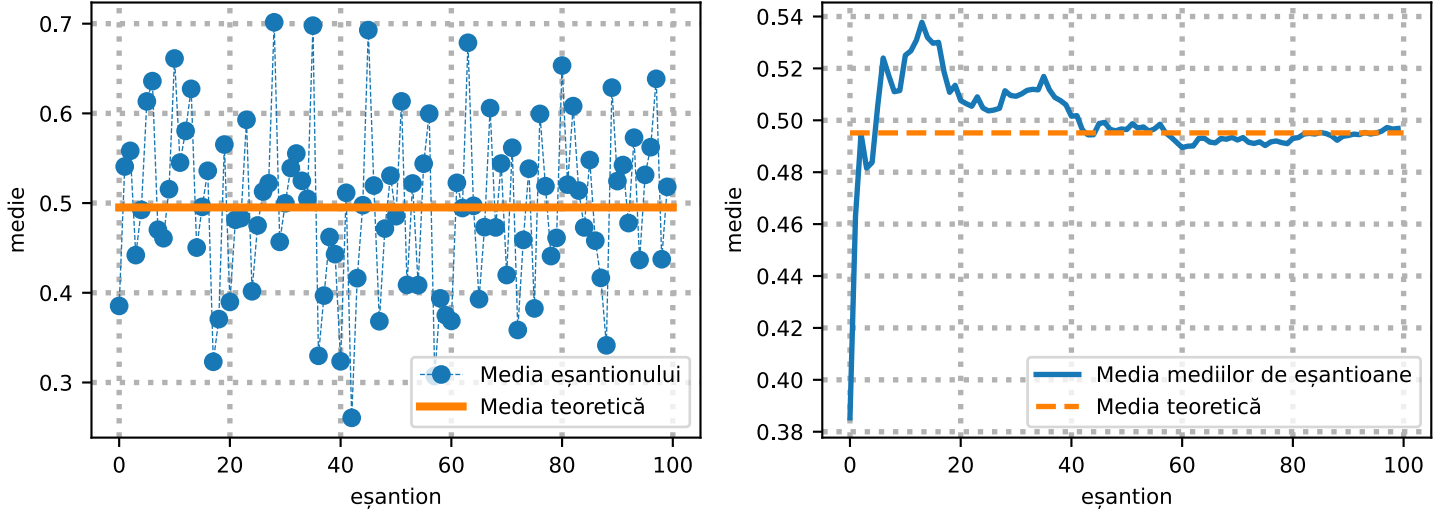


Figura 4.8: Legea numerelor mari

Chiar mai relevantă pentru topicul subiectului este implicația care se desprinde din ideea enunțată anterior. Teorema limitei centrale [43] implică pentru același număr de experiente $N \rightarrow \infty$ o distribuție normală a mediilor eșantionelor.

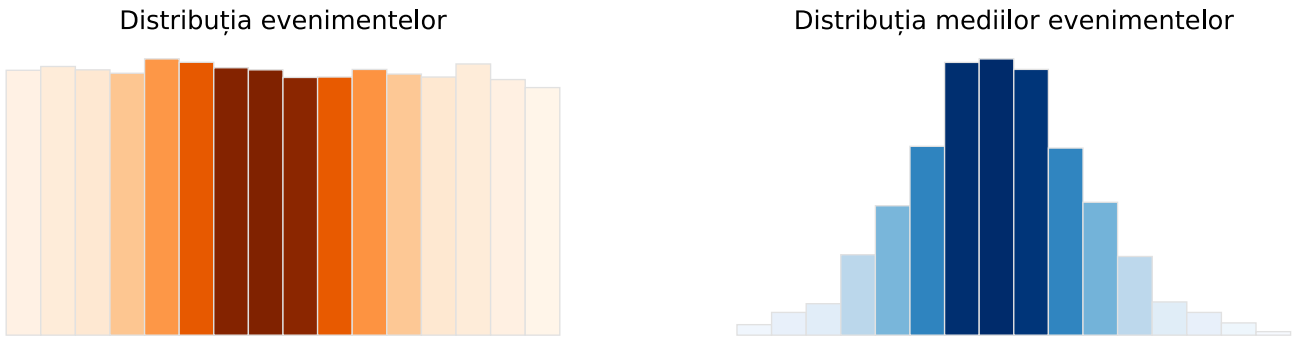


Figura 4.9: Teorema limitei centrale

Histogramele experimentului măsurătorilor zgomotoase din Figura 4.9 demonstrează ca pentru orice tip de distribuție, distribuția mediilor evenimentelor va fi mereu normală.

Această ară în formă de clopot a fost una dintre contribuțiile matematicianului Carl Friedrich Gauss și stă la baza majorității algoritmilor statistici, și constituie implicit și un detaliu teoretic necesar implementării lucrării propuse.

Omniprezentă distribuției Gaussiene în estimarea statistică se remarcă prin proprietăți ale funcției de densitate probabilistică ce devin parametri utili în descrierea fenomenelor normal-aleatorii.

4.3.3 Dispersia și tendința centrală

Gauss a definit astfel funcția de densitate probabilistică [44] pentru abaterea standard σ și media μ sub forma [1]:

$$f(x, \mu, \sigma) = \frac{1}{\sigma\sqrt{2\pi}} e^{-\frac{1}{2}(\frac{x-\mu}{\sigma})^2} \quad (4.57)$$

Se definește astfel *valoarea așteptată* ca o măsurătoare a tendinței centrale și se calculează în funcție de probabilitatea unui eveniment [1]:

$$E[X] = \sum_{k=1}^N x_k P(x_k) \quad (4.58)$$

Pentru evenimente la fel de probabile (improbabile), cu proprietatea $P(x)_{\forall x \in N} = \frac{1}{N}$ se observă că:

$$E[X] = \mu \quad (4.59)$$

unde media μ capătă conotația de prim moment statistic al distribuției anterior definite.

O altă proprietate importantă a unei distribuții este cât de mult variază distribuția relativ la valoarea așteptată. Astfel, s-a definit *varianța* ca al doilea moment statistic [45]:

$$\sigma_x^2 = E[(X - \mu)^2] = \frac{1}{N} \sum_{k=1}^N (x_k - \mu)^2 \quad (4.60)$$

Tot ca o măsurătoare a dispersiei se definește abaterea standard ca rădăcina pătrată a varianței:

$$\sigma_x = \sqrt{\sigma_x^2} \quad (4.61)$$

Se definește *covarianța* pentru două seturi de variabile ca produs al dispersiilor [45]:

$$Cov(X, Y) = E[XY] - \mu_x \mu_y \quad (4.62)$$

unde pentru seturi de evenimente independente X și Y există relația [45]:

$$\text{Cov}(X, Y) = 0 \quad (4.63)$$

Noțiunile statistice introduse concretizează acum un început pentru modalitatea de rezolvarea a obiectivului propus la începutul lucrării.

În contextul urmăririi traiectoriei, stocasticitatea zgromotului prezent în măsurătorile senzorilor de mișcare poate fi înglobată într-o distribuție normală și se pot trage următoarele concluzii empirice:

$$P(\mu - \sigma \leq X \leq \mu + \sigma) = 0.68 \quad (4.64)$$

$$P(\mu - 2\sigma \leq X \leq \mu + 2\sigma) = 0.95 \quad (4.65)$$

$$P(\mu - 3\sigma \leq X \leq \mu + 3\sigma) = 0.99 \quad (4.66)$$

Astfel, pentru orice măsurătoare zgomotoasă de la un senzor se poate spune cu certidine aproape absolută că există probabilitatea de 99% să fie încadrată în trei deviații standard de la media tuturor măsurătorilor precedente.

Această demonstrație statistică a fost demonstrată programatic pentru o funcție de densitate probabilistică analitică după cum se observă în figura 4.10. Înglobarea probabilistică a comportamentului evenimentelor stocastice este și motivul pentru care senzorii, deși prezintă măsurători afectate de zgromot, produc un randament bun atunci când algoritmii de fuziune sunt programati corect.

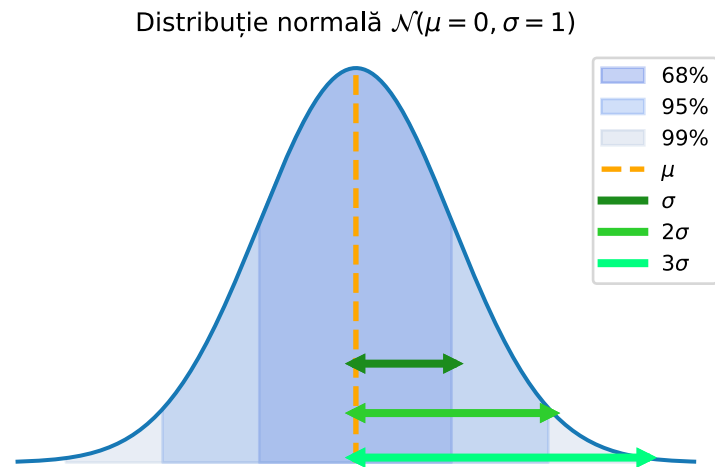


Figura 4.10: Proprietățiile distribuției Gaussiene

4.3.4 Predicție

Transformarea liniară a funcțiilor de densitate probabilistică

Demonstrație

Se consideră setul de date distribuit normal:

$$x \sim \mathcal{N}(\mu = \bar{x}, \sigma^2 = \sigma_x^2) \quad (4.67)$$

și transformarea liniară:

$$y(x) = ax + b \quad (4.68)$$

$$y = z(x) \quad (4.69)$$

aplicată mediei:

$$y(\mu) = a\mu + b \quad (4.70)$$

Se definește pentru setul X funcția de densitate probabilistică rezultată din ecuația (4.57). Se recuperează variabila x [46] din ecuațiile (4.68), (4.69):

$$f(x) = f(x, \mu, \sigma_x) \quad (4.71)$$

$$x = z(y)^{-1} = Z(y) = \frac{y - b}{a} \quad (4.72)$$

Se transformă liniar [46] prin y funcția de densitate probabilistică f pentru a recupera probabilitatea conform ecuației (4.54):

$$f(y) = f[Z(y)]Z'(y) \quad (4.73)$$

$$Z'(y) = \frac{\partial Z}{\partial y}\left(\frac{y - b}{a}\right) = \frac{1}{a} \quad (4.74)$$

Se recalculează funcția de densitate probabilistică [46] ținând cont de (4.70) - (4.74):

$$f(y, \mu, \sigma_y) = \frac{1}{a \sigma_x \sqrt{2\pi}} e^{-\frac{1}{2} \left(\frac{(y-b)}{\sigma_x} - \frac{a\mu-b}{\sigma_x} \right)^2} \quad (4.75)$$

De unde se poate trage concluzia:

$$\sigma_y = a\sigma_x \quad (4.76)$$

Așadar, se observă că transformarea liniară a unei distribuții normale:

$$y \sim \mathcal{N}(\bar{y} = a\mu + b, \sigma_y^2 = a^2\sigma_x^2) \quad (4.77)$$

este tot o distribuție normală cu media și varianța schimbată.

Propagarea Covarianței

Conform (4.62) - (4.77), pentru un vector de stări X [1]:

$$Cov(X) = E[X, X^T] - \mu^2 x^2 \quad (4.78)$$

Astfel, rezultă [45] [47]:

$$Cov(X) = E[(X - \mu)(X - \mu)^T] \quad (4.79)$$

unde se respectă (4.48) pentru X :

$$X = FX + La \quad (4.80)$$

Astfel, ținând cont de transformarea liniară (4.70):

$$Cov(X) = E[(FX + La - F\mu - La)(FX + La - F\mu + La)^T] \quad (4.81)$$

$$Cov(X) = E[F(X - \mu)(X - \mu)^T F^T] \quad (4.82)$$

Folosind relația de transpunere a matricilor [47], rezultă:

$$Cov(X) = FE[(X - \mu)(X - \mu)^T]F^T \quad (4.83)$$

Se notează $Cov(X) = P$ și se desprinde concluzia pentru evoluția liniară a incertitudinii în timp [47]:

$$P_{k+1} = FP_k F^T \quad (4.84)$$

Această relație denotă cea de-a doua ecuație din algoritmul elaborat de Kalman și ea reprezintă propagarea în timp a matricei de covarianță aferentă vectorului de stări. Echivalentul unei transformări liniare (4.68) asupra unei variabile echivalează cu o înmulțire matricială pentru un vector de variabile.

Pentru că procesul modelat nu este echivalent în deplinătate cu realitatea, varianța zgomotului de proces generat de incertitudinea intrării (accelerației) este aditivă pentru covarianță stărilor și astfel se obține ecuația completă [1]:

$$P_{k+1} = FP_k F^T + L\sigma_a^2 \quad (4.85)$$

4.3.5 Corecție

Modelul măsurătorilor

Se definește pentru modelul ales în (4.47) - (4.48) ieșirea observată a procesului:

$$y_{k+1} = \begin{bmatrix} 1 & 0 & 0 & 0 \\ 0 & 1 & 0 & 0 \end{bmatrix} \begin{bmatrix} p_x \\ p_y \\ v_x \\ v_y \end{bmatrix}_{k+1} \quad (4.86)$$

astfel încât se respectă obiectivul estimării poziției corpului relativ la axele planului. Comprimat, modelul măsurătorii se notează:

$$y_{k+1} = Hx_{k+1} \quad (4.87)$$

unde H este invariantă în timp și propagă la ieșire o transformare liniară prin selecția primelor două stări.

Cum în realitate măsurătorile provin de la senzori cu zgomot prezent, se adaugă termenul de *bias* ce variază în timp pentru fiecare măsurătoare:

$$y_{k+1} = Hx_{k+1} + \omega_{k+1} \quad (4.88)$$

pentru ca proprietățile probabilistice de predicție expuse anterior să fie aplicabile, se presupune că ω provine dintr-o distribuție normală cu media zero (0):

$$\omega \sim \mathcal{N}(\mu = 0, \sigma^2) \quad (4.89)$$

ce reprezintă o clasă particulară de zgomote, numite zgomote albe Gaussiene.

Regresie

Se reconsideră transformarea liniară introdusă în (4.68), rescrisă vectorial:

$$y(x) = [a \ b] \begin{bmatrix} x \\ 1 \end{bmatrix} \quad (4.90)$$

Se generalizează pentru a include zgomotul de măsură:

$$y(x) = [a \ b \ 1] \begin{bmatrix} x \\ 1 \\ \omega \end{bmatrix} \quad (4.91)$$

$$y(X) = \Theta X \quad (4.92)$$

unde Θ reprezintă vectorul de proprietăți al dreptei — panta, interceptul [48] și prezența zgomotului, iar X este vectorul de stări. Am atribuit zgomotul măsurătorilor, și

nu ecuației liniare în sine.

Justificarea zgomotului alb

Se ia în considerare cazul particular al unei constante ($a = 0$) astfel încât estimările sunt perturbate doar de zgomotul ω :

$$y(x)_k = x + \omega_k \quad (4.93)$$

S-a demonstrat (Figura 4.8) că media măsurătorilor este probabilistic mai reprezentativă pentru proces decât oricare măsurătoare în parte. Astfel încât se evaluează:

$$\mu_y = \frac{1}{N} \sum_{k=1}^N y(x)_k = \frac{1}{N} \sum_{k=1}^N (x + \omega_k) \quad (4.94)$$

Deoarece x este constant, se deduce:

$$\mu_y = E[x] + E[\omega] \quad (4.95)$$

$$E[X] = \mu_x = x \quad (4.96)$$

Cum cea mai bună estimare pentru seria de măsurători zgomotoase este chiar media μ_y , reiese că trebuie să aibă loc neapărat egalitatea:

$$E(\omega) = 0 \quad (4.97)$$

Această presupunere va fi făcută de acum pentru restul lucrării.

Minimizarea erorilor

Pentru cazul general în care măsurătorile observă o schimbare în dinamică, panta dreptei estimate este nenulă ($a \neq 0$), și eroarea de estimare dată de zgomot este [49]:

$$\epsilon = y(X) - \Theta X \quad (4.98)$$

Se definește funcția de cost C [1] ca sumă a erorilor fiecărei măsurători [48]:

$$C = \sum_{k=1}^N \epsilon_k^2 \quad (4.99)$$

$$C = \mathcal{E} \mathcal{E}^T \quad (4.100)$$

pentru care pătratul erorilor este evaluat pentru a anula funcția de semn.

Pentru cele mai bune estimări trebuie ca funcția de cost să fie minimizată [48], iar minimul poate fi calculat ca punct extrem prin evaluarea derivatei funtiei în 0 [50]:

$$\frac{\partial C}{\partial \hat{X}} = \frac{[\partial(y(X) - \Theta X)(y(X) - \Theta X)^T]}{\partial \hat{X}} \quad (4.101)$$

Și astfel se obține cea mai bună estimare [50] [48] [49]:

$$\hat{X} = (\Theta^T \Theta)^{-1} \Theta^T y(X) \quad (4.102)$$

Ponderare

Deși valoarea așteptată a zgomotelor de măsură este 0, variantă lor nu este neapărat invariantă în timp. În acest sens, erorile vor fi calculate în raport de cu varianța [51], iar (4.99) devine:

$$C = \sum_{k=1}^N \frac{\epsilon_k^2}{\sigma_k^2} \quad (4.103)$$

$$C = \mathcal{E} \Sigma \mathcal{E}^T \quad (4.104)$$

Ceea ce impune modificarea pentru (4.102) conform [51]:

$$\hat{X} = (\Theta^T \Sigma^{-1} \Theta)^{-1} \Theta^T \Sigma^{-1} y(X) \quad (4.105)$$

Recursivitate

Atât pentru optimizarea performanței, cât și pentru îmbunătățirea acurateței, estimarea punctului următor poate fi rescrisă pentru a păstra atât informația estimării de la punctul curent, cât și corecția erorii din prezent. Astfel, cea mai bună estimare se rescrie recursiv [1]:

$$\hat{X}_{k+1} = \hat{X}_k + K_{k+1}(y_k(X_k) - \Theta \hat{X}_k) \quad (4.106)$$

unde K reprezintă un factor de corecție al erorii (inovației) [52], cunoscut în literatură sub denumirea de *căștig Kalman*.

Căștigul K poate fi calculat conform [52] ca raportul dintre varianța actuală a procesului și varianța modificată prin introducere zgomotului de măsură. Astfel, pentru covarianța obținută în (4.84), (4.85), căștigul care minimizează inovația devine:

$$K_{k+1} = P_{k+1}^- \Theta (\Theta P_{k+1}^- \Theta^T + \Sigma)^{-1} \quad (4.107)$$

$$S_{k+1} = \Theta P_{k+1}^- \Theta^T + \Sigma \quad (4.108)$$

unde S este notația simplificată a varianței inovației.

Calculată recursiv conform [53] [1], eroarea de la punctul următor se exprimă ca:

$$\mathcal{E}_{k+1} = X_{k+1} - \hat{X}_{k+1} \quad (4.109)$$

$$\mathcal{E}_{k+1} = X_k - \hat{X}_k - K_{k+1}(y_k(X_k) - \Theta \hat{X}_k) \quad (4.110)$$

$$\mathcal{E}_{k+1} = \mathcal{E}_k - K_{k+1}(\Theta X_{k+1} - \Theta \hat{X}_k) \quad (4.111)$$

$$\mathcal{E}_{k+1} = (I - K_{k+1}\Theta)\mathcal{E}_k \quad (4.112)$$

Am obținut astfel noua matrice de propagare în timp a covarianței [53]:

$$P_{k+1}^+ = (I - K_{k+1}\Theta)P_{k+1}^- \quad (4.113)$$

și astfel au fost recuperăți toți pașii algoritmului propus de R. E. Kalman.

Implementarea pe pași a fiecărei ecuații va fi descrisă în capitolul următor pentru estimarea traectoriei liniare, iar rezultatelor vor fi validate în capitolul 6.

4.4 Mișcarea Neliniară

Filtrul Kalman este din punct de vedere optim-algebric cel mai bun estimator pentru orice sistem liniar. Privind obiectivul realist însă, obiectele de interes nu se mișcă întotdeauna liniar, aşa cum nici majoritatea proceselor reale nu au un comportament liniar în afara teoriei.

Apare astfel nevoiea modelării neliniarităților din proces și măsurători. Traiectoria mișcării neliniare se schimbă sub un unghi B și modelul procesului se modifică implicit. Acest subcapitol va prezenta modelarea neliniară a dinamicii sistemului și va motiva folosirea filtrelor Kalman extins și unscented, a căror funcționalitate va fi demonstrată în următoarele două capitole.

4.4.1 Dinamica procesului extins

Se consideră dinamica discretă a schimbării unghiului în plan obținută prin integrare numerică Euler astfel [19]:

$$\beta_{k+1} = \beta_k + \dot{\beta}\Delta t \quad (4.114)$$

unde $\dot{\beta}$ este viteza unghiulară măsurabilă de un senzor de tip giroscop.

care schimbă vectorial vitezele relativ la axe [54]:

$$v_x = v \times \cos \beta \quad (4.115)$$

$$v_y = v \times \sin \beta \quad (4.116)$$

Astfel, noul proces devine [3] [54]:

$$\begin{bmatrix} p_x \\ p_y \\ \beta \\ v \end{bmatrix}_{k+1} = \begin{bmatrix} p_x \\ p_y \\ \beta \\ v \end{bmatrix}_k + \Delta t \cdot \begin{bmatrix} v \times \cos \beta_k \\ v \times \sin \beta_k \\ \dot{\beta}_k \\ a_k \end{bmatrix} \quad (4.117)$$

astfel încât acum se urmărește și schimbarea unghiului în timp.

Noul proces nu poate fi trecut sub formă matricială liniară deoarece există o interdependență neliniară de produs dintre stări pentru cele două funcții trigonometrice. Aceasta se poate scrie simplificat [3]:

$$x_{k+1} = f(x_k, a_k, \dot{\beta}_k, \nu_k) \quad (4.118)$$

unde f este o funcție neliniară ce descrie modelul (4.117) care are în componența vectorului de stări acceleratia a și viteza unghiulara $\dot{\beta}$, precum și zgomotul alb de proces $\nu \sim \mathcal{N}(0, \sigma^2)$.

Pentru ca filtrul Kalman să poată fi aplicat, aşadar, este nevoie ca procesul să fie liniarizat.

4.4.2 Liniarizare

Se reconsideră ecuația unei drepte enunțată în (4.68). Aceasta poate fi rescrisă ținând cont de proprietatea derivatelor de a descrie panta unei drepte în punctul evaluat:

$$y(x) = f'(x)x + f(x) \quad (4.119)$$

unde f este o funcție neliniară care evaluată în x echivalează cu o valoare de *defazaj* (intercept).

Datorită proprietăților derivatei, este important de notat că această aproximare va fi valabilă doar pentru anumite puncte de funcționare x_0 astfel [48]:

$$y(x) = f'(x_0)(x - x_0) + f(x_0) \quad (4.120)$$

Aplicată funcției obținută în (4.118) pentru un punct de echilibru $(x_0, a_0, \dot{\beta}_0, \nu_0)$, transformarea liniară devine:

$$f(x_k, a_k, \dot{\beta}_k, \nu_k) = \nabla f(x_0, a_0, \dot{\beta}_0, \nu_0)[X_k - X_0] + f(x_0, a_0, \dot{\beta}_0, \nu_0) \quad (4.121)$$

$$[X_k - X_0] = [(x_k, a_k, \dot{\beta}_k, \nu_k) - (x_0, a_0, \dot{\beta}_0, \nu_0)] \quad (4.122)$$

Această expansiune este un caz particular al seriei Taylor [48], folosită pentru a aproxima comportamentul neliniar al unei funcții în timp ținând cont și de termenii de ordin superior (T.O.S)

$$f(x) = f'(x_0)(x - x_0) + f(x_0) + T.O.S \quad (4.123)$$

Se liniarizează în acest fel procesul descris în (4.117) și se obțin [11]:

$$p_x = \frac{\partial p_x}{\partial p_x}(x - x_0) + \frac{\partial p_x}{\partial p_y}(x - x_0) + \frac{\partial p_x}{\partial \beta}(x - x_0) + \frac{\partial p_x}{\partial v}(x - x_0) + p_x(x_0) \quad (4.124)$$

$$p_y = \frac{\partial p_y}{\partial p_x}(x - x_0) + \frac{\partial p_y}{\partial p_y}(x - x_0) + \frac{\partial p_y}{\partial \beta}(x - x_0) + \frac{\partial p_y}{\partial v}(x - x_0) + p_y(x_0) \quad (4.125)$$

$$\beta = \frac{\partial \beta}{\partial p_x}(x - x_0) + \frac{\partial \beta}{\partial p_y}(x - x_0) + \frac{\partial \beta}{\partial \beta}(x - x_0) + \frac{\partial \beta}{\partial v}(x - x_0) + \beta(x_0) \quad (4.126)$$

$$v = \frac{\partial v}{\partial p_x}(x - x_0) + \frac{\partial v}{\partial p_y}(x - x_0) + \frac{\partial v}{\partial \beta}(x - x_0) + \frac{\partial v}{\partial v}(x - x_0) + v(x_0) \quad (4.127)$$

Astfel, matricea F care propaga liniar procesul inițial introdus în (4.48) devine:

$$\nabla f = \begin{bmatrix} 1 & 0 & -\Delta t \times v \times \sin \beta & \Delta t \times \cos \beta \\ 0 & 1 & \Delta t \times v \times \cos \beta & \Delta t \times \sin \beta \\ 0 & 0 & 1 & 0 \\ 0 & 0 & 0 & 1 \end{bmatrix} \quad (4.128)$$

pentru care se poate scrie propagarea liniarizată a covarianței introdusă în (4.85):

$$P_{k+1} = \nabla f P_k \nabla f^T + \nabla N Q \nabla N \quad (4.129)$$

$$Q = (0, 0, \sigma_{\dot{\beta}}, \sigma_a)^2 \quad (4.130)$$

unde $\nabla N = I_4$, matricea identitate, pentru zgomotul considerat aditiv care este considerat prezent numai pentru acceleratie și viteza unghiulară. Noul zgomot de proces Q este diferit de cel inițial considerat L (4.85), deoarece aceste acum înglobează și nesiguranța din estimarea girației, și nu numai varianța acceleratiei.

Modelul măsurătorilor primite pentru poziții prin matricea de selecție H enunțată în (4.86), (4.87) poate fi considerat liniar pentru simplificare. Astfel, ca pentru un fel de senzor de GPS constrâns la planul bidimensional, distanța dintre două puncte (mă-

surătoarea curentă și măsurătoarea anteriorară) va fi mereu o dreaptă, deci corecția este implicit liniară. De notat este însă că în realitatea spațiului tridimensional, senzorii de tip GPS se modelează de obicei nelinier, tot sub un unghi [55].

4.4.3 Sonar

Expansiunea nelinieră a filtrului permite și integrarea măsurătorilor unui senzor cu comportament nelinier. O nouă fază de corecție în plus față de măsurătorile liniare ale poziției este adăugată pentru procesul extins.

Astfel, măsurarea poziției se poate face și în coordonate polare [56], în afara măsurătorilor carteziene procesate liniar. Corecția nelinieră adăugată va îmbunătății considerabil rezultatele după cum se va demonstra în următoarele două capitole.

Modelul nelinier al măsurătorilor devine [56] [57] [58]:

$$\gamma = \arctan \frac{O_y - \hat{p}_y}{O_x - \hat{p}_x} - \beta \quad (4.131)$$

$$r = \sqrt{(O_y - \hat{p}_y)^2 + (O_x - \hat{p}_x)^2} \quad (4.132)$$

unde O este un punct de observare static, definit de coordonatele specifice x și y , iar γ și r sunt reprezentarea polară a poziției în plan, relative la unghiul de giroscopie β .

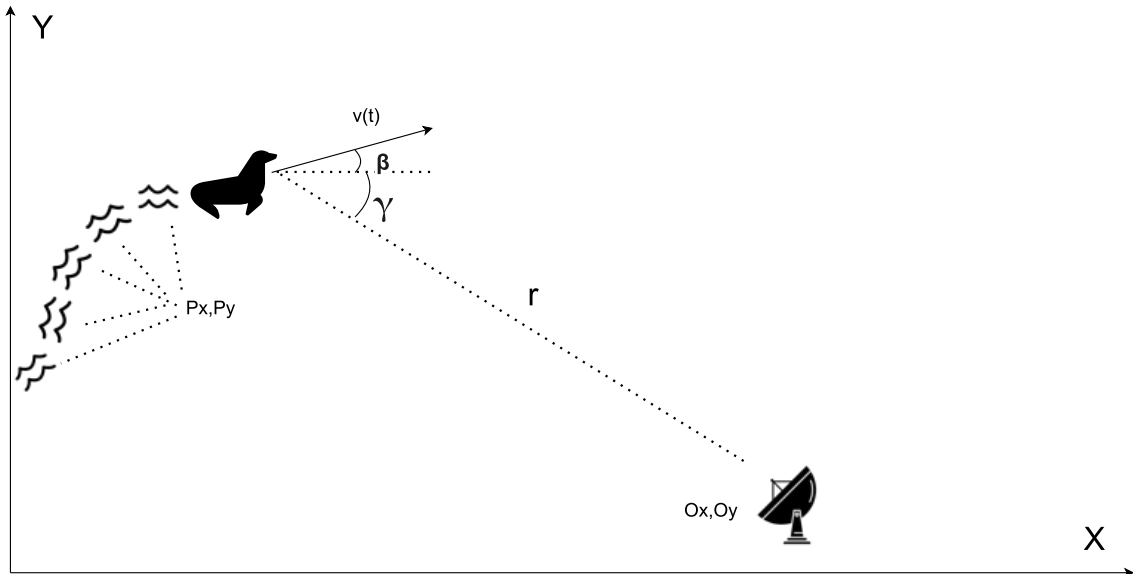


Figura 4.11: Reprezentarea mișcării în plan sub observare

Figura 4.11 prezintă geometric schema de urmărire a coordonatelor polare oferite de sonar și a fost inspirată din [54] și [58]. Pozițiile Px și Py pot fi estimate recursiv printr-o

regresie liniară, iar pentru estimarea razei r și unghiului γ se concepe o nouă etapă de corecție extinsă.

Se liniarizează ecuațiile (4.130) și (4.31) în raport cu stările modelului (px, py, v, β) prin aproximarea Taylor de ordin I (4.123):

$$r = \frac{\partial r}{\partial p_x}(x - x_0) + \frac{\partial r}{\partial p_y}(x - x_0) + \frac{\partial r}{\partial \beta}(x - x_0) + \frac{\partial r}{\partial v}(x - x_0) + r(x_0) \quad (4.133)$$

$$\gamma = \frac{\partial \gamma}{\partial p_x}(x - x_0) + \frac{\partial \gamma}{\partial p_y}(x - x_0) + \frac{\partial \gamma}{\partial \beta}(x - x_0) + \frac{\partial \gamma}{\partial v}(x - x_0) + \gamma(x_0) \quad (4.134)$$

(4.135)

de unde se obține jacobianul matricei de selecție [58]:

$$\nabla h = \begin{bmatrix} \frac{\hat{p}_x - O_x}{\sqrt{(O_y - \hat{p}_y)^2 + (O_x - \hat{p}_x)^2}} & \frac{\hat{p}_y - O_y}{\sqrt{(O_y - \hat{p}_y)^2 + (O_x - \hat{p}_x)^2}} & 0 & 0 \\ \frac{-\hat{p}_y - O_y}{(O_x - \hat{p}_x)^2 + (O_y - \hat{p}_y)^2} & \frac{\hat{p}_x - O_x}{(O_x - \hat{p}_x)^2 + (O_y - \hat{p}_y)^2} & -1 & 0 \end{bmatrix} \quad (4.136)$$

pentru care se pot scrie ecuațiile etapei de corecție (4.106) - (4.113) astfel încât se face modificarea $\Theta \rightarrow \nabla h$.

Pentru transformarea neliniară $h(X)$ (4.131) - (4.132), se recuperează ecuațiile:

$$S_k = \nabla h P_k \nabla h^T + \nabla M R \nabla M \quad (4.137)$$

$$K_{k+1} = P_{k+1}^- \nabla h S_{k+1}^{-1} \quad (4.138)$$

$$\hat{X}_{k+1} = \hat{X}_k + K_{k+1}(h(X_k) - h(\hat{X}_k)) \quad (4.139)$$

$$P_{k+1}^+ = (I - K_{k+1} \nabla h) P_{k+1}^- \quad (4.140)$$

(4.141)

La fel ca în cazul predicției, zgomotul de măsură se consideră aditiv, deci se poate simplifica calcularea covarianței inovației prin considerația $\nabla M = I_2$.

Diferența demnă de notat pentru aceeași ecuație este că zgomotul R al corecției neliniare este diferit de zgomotul Σ initial considerat pentru procesul liniar ($R \neq \Sigma$), deoarece senzorul de tip sonar este diferit de senzorul de tip GPS și este de așteptat să aibă variațiuni și performanțe diferite.

Modificările de liniarizare aduse celor două etape ale algoritmului însumează ecuațiile unui nou filtru, cunoscut drept filtrul Kalman extins. Întrucât se bazează pe aproximări infinitezimale, procedura extinsă nu poate garanta convergență pentru estimare, iar rezultatele pot fi divergente. Dezavantajul este suficient de prezent pentru a motiva explorarea unei noi implementări și mai avansate a filtrului neliniar.

4.4.4 Transformata unscented

Noul filtru sau de ce copacii se numesc copaci

La finele mileniului trecut, Jeffrey Uhlman, unul dintre cei doi autori ai algoritmului neliniar modificat, se întânește la Oxford cu Hugh Durrant-Whyte, unul dintre notabilii pionieri ai algoritmilor de tip SLAM (Simultaneous Localization and Mapping) [59] pentru a punele bazele a ceea ce urma să devină un punct cheie în localizarea corpurilor în conducerea autonomă.

În interviul [60] acordat site-ului Engineering and Technology History Wiki, Uhlman povestește cum liniarizarea sistemului prin aproximare jacobiană nu adresează rădăcina problemei pentru că, de fapt, ceea ce contează pentru un filtru Kalman sunt transformările celor două momente ale distribuției, media și (co)varianța. El propune astfel o mapare deterministă a acestora, fără a impune calcularea prealabilă a derivatelor ecuațiilor sistemului.

Explicația autorului pentru denumirea neobișnuită a noului filtru este că *termenii tehnici sunt acceptați de public pur și simplu ca atare, așa cum niciun om nu se întrebă de ce copacii se numesc copaci și nu altfel* [60].

Premisă

Încadrarea distribuției unui set de măsurători este, așa cum demonstrează faza de predicție a filtrului Kalman (4.84) - (4.85), o transformare liniară. Pentru o distribuție neliniară, filtrul Kalman extins va încerca de fapt tot o aproximare liniară a distribuției, ceea ce este, după cum a remarcat Uhlman, adevărată cauză a divergențelor. Am generat figura 4.12 modificând codul pus la dispoziție de [61] pentru a arăta diferența dintre o încadrare Gaussiană a unui set de date liniar în contrast cu unul neliniar.

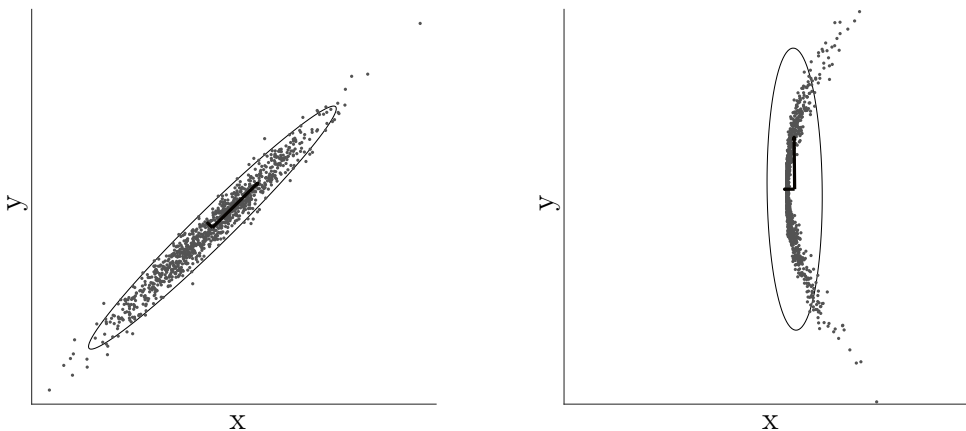


Figura 4.12: Comparație între încadrarea datelor liniare și neliniare în elipse de covarianță

Se observă în a doua figură cum elipsa de încredere nu este o aproximare ideală pentru distribuția reală, aşa cum nici derivata (panta) unei funcții nu este mereu o aproximare bună pentru acea funcție.

În schimb, transformata unscented adresează cele două momente ale distribuției astfel [9]:

$$\bar{X} = \frac{1}{N} \sum_{i=1}^N x_i \quad (4.142)$$

$$\Sigma_X = \frac{1}{N} \sum_{i=1}^N (x_i - \bar{X})(x_i - \bar{X})^T \quad (4.143)$$

unde \bar{X} reprezintă media datelor și $\Sigma_X = P$ covarianța.

O aproximare mai bună decât medierea naivă este aproximarea pe setul dublat ($N \rightarrow 2N$) definită prin puncte σ ce stă la baza transformatei unscented [9]:

$$x = \bar{x} + x^\sigma \quad (4.144)$$

$$x^{\sigma_i} = \sqrt{NP_i} \quad (4.145)$$

$$x^{\sigma_{N+i}} = \sqrt{NP_i} \quad (4.146)$$

$$W = \frac{N}{2} \quad (4.147)$$

unde W definește un set de ponderi.

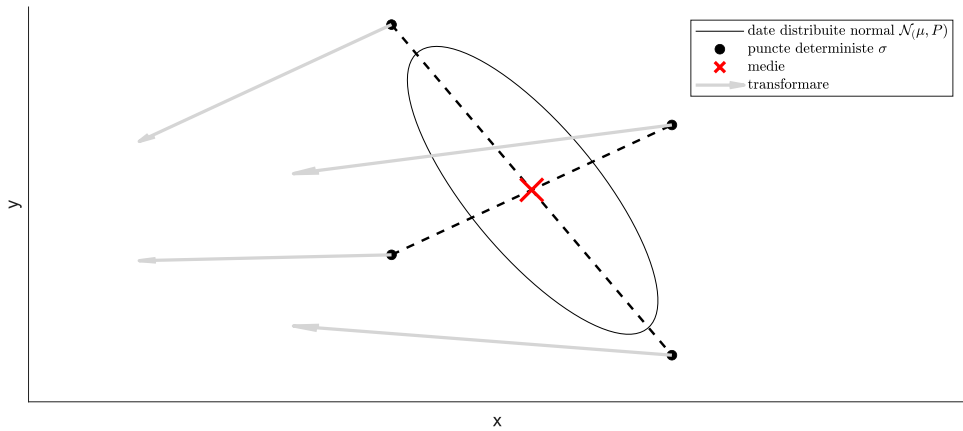


Figura 4.13: Forma de interes a distribuției obținută print-un set minim de 4 puncte

Algoritm

Figura 4.13 arată cum elipsa poate fi aproximată de două puncte și de oglinditele lor. De aici apare și motivația dublării setului pentru ponderare. Transformata poate fi generalizată pentru a îngloba cunoștințe a priori despre distribuție [10]:

$$x = \bar{x} + x^\sigma \quad (4.148)$$

$$x^0 = 0 \quad (4.149)$$

$$x^{\sigma_i} = \sqrt{(N + \kappa)P} \quad (4.150)$$

$$x^{\sigma_{N+i}} = \sqrt{(N + \kappa)P} \quad (4.151)$$

pentru care se definesc ponderile unui κ ales de obicei empiric $\kappa = 3 - N$ [10]:

$$W^0 = \frac{\kappa}{\kappa + N} \quad (4.152)$$

$$W^i = \frac{1}{2(\kappa + N)} \quad (4.153)$$

Astfel, se recuperează faza de predicție [10] [9]:

$$\hat{X}_k^- = \sum_{i=0}^{2N} W^i \hat{X}_k^i \quad (4.154)$$

$$P_k^- = \sum_{i=0}^{2N} W^i (\hat{X}_k^i - \hat{X}_k^-)(\hat{X}_k^i - \hat{X}_k^-)^T \quad (4.155)$$

precum și faza de corectie pentru modelul măsurătorilor neliniar (4.141 - 4.132) [10]:

$$\hat{z}_k = \sum_{i=0}^{2N} W^i \hat{z}_k^i \quad (4.156)$$

$$S_k = \sum_{i=0}^{2N} W^i (\hat{z}_k^i - \hat{z}_k^-)^T (\hat{z}_k^i - \hat{z}_k^-) \quad (4.157)$$

$$P_{x_k, z_k}^+ = \sum_{i=0}^{2N} W^i (\hat{X}_k^i - \hat{X}_k^-)^T (\hat{z}_k^i - \hat{z}_k^-) \quad (4.158)$$

unde P_{x_k, z_k}^+ este *cros-covarianța* trasnformată pentru stări - măsurători, iar S_k este covarianța ponderată pentru modelul măsurătorilor z_k [9].

În continuare câştigul Kalman se defineşte ca raport dintre varianţe [10]:

$$K_k = P_{x_k, z_k}^+ S_k^{-1} \quad (4.159)$$

iar actualizarea stării şi a covarianţei devine [10]:

$$\hat{X}_k^+ = \hat{X}_k^- + K_k(h(X_k) - \hat{z}_k) \quad (4.160)$$

$$P_k^+ = P_k^- - K_k S_k K_k^T \quad (4.161)$$

şi astfel se va realiza implementarea ulterioară a filtrului Kalman unscented.

4.5 Controlul urmăritorului

Pentru obiectul în mişcare au fost implementaţi cei trei algoritmi de urmărire în funcţie de scenariul ales. Pentru o mişcare liniară, filtrul Kalman simplu este de preferat însăcăt este garantat să conveargă. O traекторie neliniară creează o concurenţă între modelul extins şi transformata unscented a filtrului şi va fi elaborată în capitolul 5, pentru ca mai apoi rezultatele să fie validate în capitolul 6.

Dinamica obiectului urmărit a fost considerată liniară pentru a putea aplica legi de control simplificate. Astfel, aproape identică cu modelul procesului filtrului liniar, s-a definit ecuaţia matricială a spaţiului stărilor:

$$X_{k+1}^c = F X_k^c + G a_k \quad (4.162)$$

unde matricea de tranziţie şi matricea de control descriu:

$$F = \begin{bmatrix} 1 & 0 & \Delta t & 0 \\ 0 & 1 & 0 & \Delta t \\ 0 & 0 & 1 & 0 \\ 0 & 0 & 0 & 1 \end{bmatrix}, \quad G = \begin{bmatrix} \frac{1}{2}\Delta t^2 & 0 \\ 0 & \frac{1}{2}\Delta t^2 \\ \Delta t & 0 \\ 0 & \Delta t \end{bmatrix} \quad (4.163)$$

Pentru a contura un scenariu realist, direcţia de atat a obiectului urmărit se bazează pe estimările filtrului, fie liniar, extins sau unscented. Astfel, pentru estimările liniare se defineşte vectorul de eroare:

$$\mathcal{E}_{k+1}^c = X_{k+1}^c - \hat{X}_{k+1} \quad (4.164)$$

unde \hat{X}_{k+1} reprezintă estimările filtrului Kalman liniar.

În cazul celor două filtre neliniare, deoarece modelul procesului obiectului urmărit (4.117) diferă print vectorul de stare de urmăritor, erorile trebuie recuperate explicit:

$$\epsilon_{k+1}^{p_x} = p_{k+1}^{x_c} - \hat{p}_{k+1}^x \quad (4.165)$$

$$\epsilon_{k+1}^{p_y} = p_{k+1}^{y_c} - \hat{p}_{k+1}^y \quad (4.166)$$

$$\epsilon_{k+1}^{v_x} = v_{k+1}^{x_c} - \hat{v}_{k+1} \times \cos \hat{\beta}_{k+1} \quad (4.167)$$

$$\epsilon_{k+1}^{v_y} = v_{k+1}^{y_c} - \hat{v}_{k+1} \times \sin \hat{\beta}_{k+1} \quad (4.168)$$

pentru care se recompone vectorul de erori:

$$\mathcal{E}_{k+1} = \begin{bmatrix} \epsilon_{k+1}^{p_x} \\ \epsilon_{k+1}^{p_y} \\ \epsilon_{k+1}^{v_x} \\ \epsilon_{k+1}^{v_y} \end{bmatrix} \quad (4.169)$$

Astfel, au fost implementate două căștiguri pentru intrare, fie prin alocare de poli sau reglare liniar-pătratică discretă (LQR) cu ajutorul funcțiilor MATLAB *place* [62] și *dlqr* [63]:

$$\eta = \text{place}(F, G, [\lambda_1, \lambda_2, \lambda_3, \lambda_4]) \quad (4.170)$$

ori:

$$\eta = \text{dlqr}(F, G, \mathcal{Q}, \mathcal{R}) \quad (4.171)$$

pentru care \mathcal{Q} reprezintă matricea diagonală de 4×4 de penalizare a erorilor pe stări, iar \mathcal{R} matricea diagonală de 2×2 de penalizare a efortului pentru intrări. Întrucât legea de control se bazează pe stări estimate, elementele matricei \mathcal{Q} au fost alese empiric de 100 de ori mai mari decât cele ale matricei \mathcal{R} .

Astfel, se definește legea de control:

$$u_{k+1} = -\eta \mathcal{E}_{k+1} \quad (4.172)$$

intrare ce se aplică direct pe accelerațiile procesului (4.162):

$$a_{k+1} = u_{k+1} \quad (4.173)$$

Conform implementării, controlul realizat este proporțional, și pare limitat. Totuși, reamintind procesul modelului, accelerațiile de pe intrări sunt integrate de două ori numeric pentru a obține pozițiile, deci sunt prezente și elementele integratoare. Mai mult, în vectorul de stare al urmăritorului sunt prezente și pozițiile pe cele două axe, dar și derivatele lor, vitezele, ceea ce denotă existența unui element derivativ. Astfel, sistemul întreg se comportă ca un regulator PID (Proporțional, Integrator, Derivativ) și singura limitare este constrângerea ecuațiilor la un proces liniar.

Astfel, scenariul urmăririi se desfășoară conform figurii 4.14. Urmăritorul își reglează accelerarea print-una din cele două legi de control pentru a minimiza diferența dintre pozițiile P_x și S_x , respectiv P_y și S_y . Acesta este ajutat de măsurările zgomotoase primite de la un senzor intrinsec de tip GPS și de coordonatele polare transmise de sonar.

Am constatat empiric că legea de alocare a polilor este mai fiabilă pentru scenariul neliniar decât reglarea liniar-pătratică. Totuși, cum scenariile simulate sunt de tip Monte - Carlo (cu variabile aleatorii pentru acceleratie, giroscop, traseu), o concluzie analitică nu poate fi obținută, ci doar una statistică.

Pentru implementarea regulatorului, polii alocați sunt de un ordin redus de 100 de ori față de echivalentul unei implementări reale, pentru a fi mai aproape de centrul cercului unitate.

De asemenea, pentru implementarea regulatorului liniar-pătratic, penalizările pe erorile stărilor au fost considerate de $100 \rightarrow 1000$ de ori mai mari decât cele pe intrări. Este demn de menționat că niciuna dintr-e aceste legi nu ar fi fiabilă pentru un control real, dar funcționează pentru simulare.

Proiectarea efectivă bazată pe scenariul descris va fi analizată în capitolul următor.

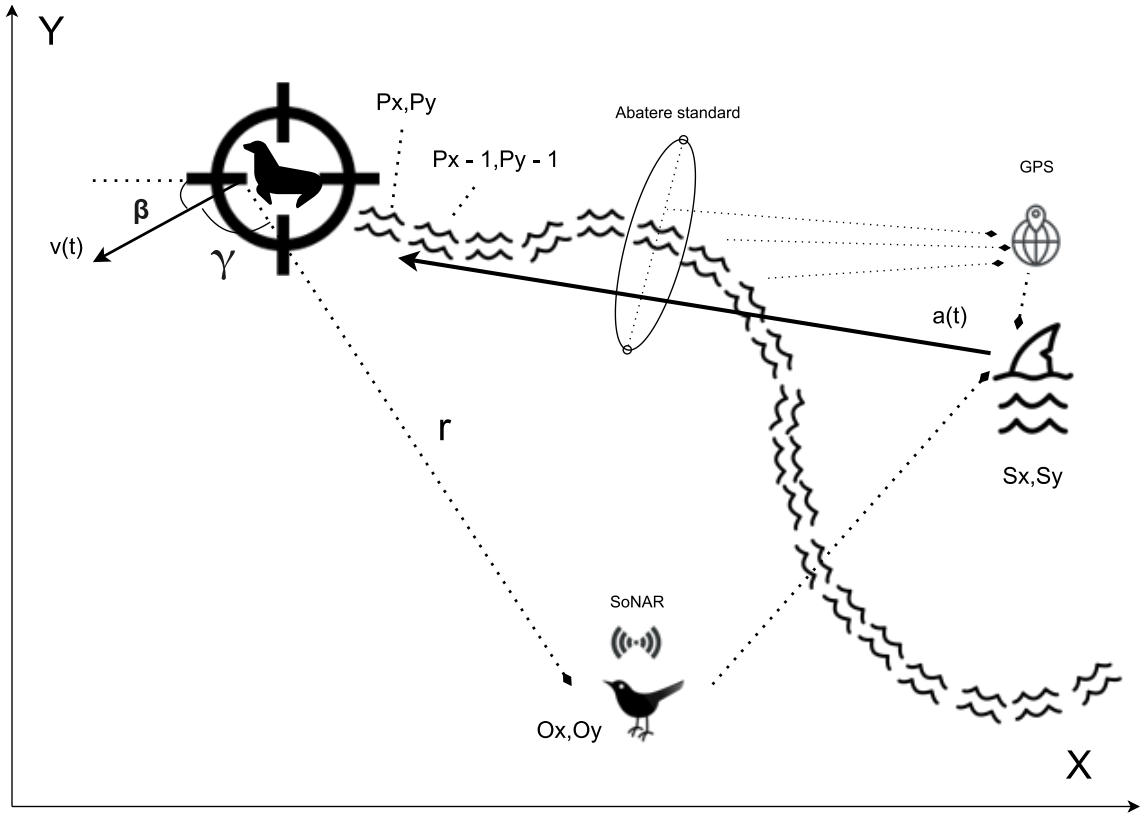


Figura 4.14: Scenariul urmăririi

4.6 Estimarea orientării

Odată cu implementarea legii de control și a celor trei algoritmi de estimare a pozitiei, teoria din spatele scenariului simulat poate fi considerată încheiată. Spre sfârșitul acestui capitol, propun o analiză a domeniului informației senzorilor inertiali, în vederea realizării joystick-ului, a cărui funcționalitate va fi descrisă în particular în următorul capitol.

Așadar, doresc ca în continuare să dedic acest capitol fundamentalui teoretic din spatele rezultatelor finale ce urmează să fie expuse, și am decis în acest sens să dedic următoarele secțiuni analizei sistemelor dinamice din spatele atitudinii, informația de interes obținută de la senzori.

Această parte din proiect se bucură în mod particular de o aplicabilitate directă datorită implementării algoritmului propus pe un microcontroller Arduino Nano în legătură cu un bloc de senzori MPU-6050, spre deosebire de senzorii de tip GPS și sonar a căror comportament a fost simulat. Cu toate acestea, teza propusă nu se dorește a fi un expozeu al sistemelor înglobate de acest tip. Subiectul de interes este și în acest caz dinamica datelor obținute. Faptul că algoritmi de fuziune funcționează și pe date reale de la senzori este doar o coroborare a eficacității lor, și de altfel și motivul pentru care au fost gândiți în primul rând.

4.6.1 Atitudinea

Atitudinea, termen pe care îl voi folosi interșanjabil cu noțiunea de *orientare* pentru restul tezei, reprezintă o mărime măsurabilă care exprimă poziția unui corp sau a unei forme în spațiu sau în plan. Orice definiție dată orientării sugerează că ea are sens doar ca mărime relativă, nu absolută, și de aceea atitudinea trebuie să fie conturată relativ la un sistem de coordonate [23].

Deși aplicația prezentată ca joc se desfășoară în planul monitorului, microcontrollerul ale cărui mișcări vor determina comportamentul de joystick este unul real, în spațiul tridimensional, aflat la îndemâna jucătorului. Din acest motiv, cadrul mondial în care se reprezintă atitudinea senzorilor va fi cadrul cartezian tridimensional al realității mesei de lucru, deoarece acest cadru poate fi considerat fix în comparație cu senzorii, ceea ce îl transformă într-un sistem de referință [23].

Se pot deci recupera două cadre de importanță, antedefinitul cadrul de referință, mondial, precum și cadrul *obiect*, cadrul propriului al sistemului observat relativ la cadrul mondial [23]. Atitudinea se scrie astfel matematic ca acea mărime \mathcal{A} evaluată de o funcție f care transformă un set de date din cadrul mondial \mathcal{C}^m în cadrul obiect \mathcal{C}^o :

$$f(\mathcal{A}) : \mathcal{C}^m \rightarrow \mathcal{C}^o \quad (4.174)$$

4.6.2 Forme de reprezentare

Orientarea este, după cum reiese din definiție, o mărime măsurabilă, dar formele de replicare ale mărimii sunt diferite, întrucât noțiunea este de interes pentru o varietate largă de domenii, pentru multe dintre ele fiind chiar singura punte comună.

Cele trei forme principale de reprezentare a atitudinii sunt unghiurile Euler, matricile de rotație și cuaternionii [23]. Fiecare dintre aceste reprezentări prezintă avantaje și dezavantaje, acesta fiind și motivul pentru care nu există o singură reprezentare generală, acceptată ca etalon.

Unghiurile Euler

Definite de obicei prin convenția Tait-Bryan XYZ [23], unghiurile Euler reprezintă secvența celor trei rotații din jurul axelor cartezian. Desi numele sugerează originea lor, Leonhard Euler a gândit inițial o secvență de rotații de tip ZXZ, ceea ce nu va fi considerat în această lucrare. Pentru secvența XYZ, se folosesc denumirile de *ruliu(X)*, *tangaj(Y)* și *girajie(Z)*. Întrucât celelalte reprezentări sunt noțiuni abstrakte, raportarea lor la unghiurile Euler devine cheia înțelegerii lor.

Matricile de rotație

Matricile cosinusoide de rotație sunt o transformare liniară a unui vector din spațiu sau plan. Datorită proprietăților lor de ortogonalitate, ele păstrează lungimea vectorului [23], doar modificându-i orientarea. Aceleași proprietăți de ortogonalitate restricționează însă și adecvarea lor pentru a reprezenta o rotație. Mai mult, deși convenabilă pentru dinamica liniară, această reprezentare introduce redundanță [24], și nu va fi folosită decât intermediar în proiectarea acestei părți.

Cuaternionii

William Rowan Hamilton a descoperit la sfârșitul secolului al XIX-lea că pentru a extinde planul complex bidimensional nu este suficient să introducă o dimensiune în plus, ci două, pentru ca în total să poată opera produse cu patru componente. Noul sistem pe care inventatorul l-a descoperit și l-ar fi sculptat pe un pod funcționează după următoarea lege [24]:

$$i^2 = j^2 = k^2 = ijk = -1 \quad (4.175)$$

pentru care se definește cuaternionul [24]:

$$q = q_0 + q_1i + q_2j + q_3k \quad (4.176)$$

$$q = [q_0, q_1, q_2, q_3] \quad (4.177)$$

Cuaternioni Unitate

Pentru a putea reprezenta o rotație în spațiu cu un quaternion, se desrpinde următoarea constatare despre norma euclidiană a vectorului [24] [23]:

$$\|q\| = \sqrt{q_0^2 + q_1^2 + q_2^2 + q_3^2} = 1 \quad (4.178)$$

Cu alte cuvinte, nu toți quaternionii reprezintă o rotație, ci doar cei care au lungimea 1, deoarece, la fel ca în cazul matricilor de rotație, nu trebuie să schimbe lungimea vectorului transformat, ci doar orientarea lui.

Cheia intrepretării un quaternion unitate este reprezentarea geometrică a rotației ca parte reală a vectorului (q_0) relativă la descriptorii celor trei axe ale sistemului (q_1, q_2, q_3) [25] pentru care s-au obținut următoarele egalități [64] [65]:

$$q_0 = \cos \frac{\delta}{2} \quad (4.179)$$

$$q_1 = \cos \alpha \sin \frac{\delta}{2} \quad (4.180)$$

$$q_2 = \cos \beta \sin \frac{\delta}{2} \quad (4.181)$$

$$q_3 = \cos \gamma \sin \frac{\delta}{2} \quad (4.182)$$

Figura 4.15 reprezintă o posibilă intrerpretare a unei rotații în interiorul spațiului tridimensional menită să simplifice înțelegerea unei noțiuni cvadimensionale [64] [65].

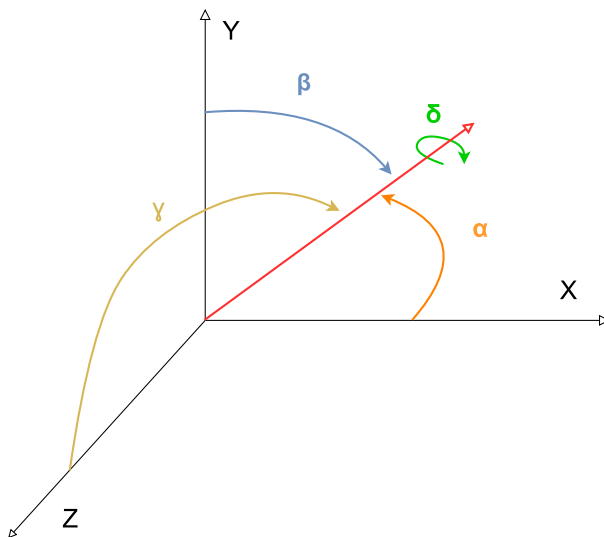


Figura 4.15: Interpretarea geometrică a quaternionilor unitate

Pentru ca rezultatul să poată fi folosit în proiect, este nevoie ca o serie de transformări să fie aplicate cuaternionului unitate pentru a recupera secvență de unghiuri Euler, cu a căror informație se poate ulterior opera controlul animației prin senzori. Interpretarea celor patru elemente scrise desfășurată pentru cele trei unghiuri este [25]:

$$q_0 = \cos \frac{\phi}{2} \cos \frac{\theta}{2} \cos \frac{\psi}{2} + \sin \frac{\phi}{2} \sin \frac{\theta}{2} \sin \frac{\psi}{2} \quad (4.183)$$

$$q_1 = \sin \frac{\phi}{2} \cos \frac{\theta}{2} \cos \frac{\psi}{2} - \cos \frac{\phi}{2} \sin \frac{\theta}{2} \sin \frac{\psi}{2} \quad (4.184)$$

$$q_2 = \cos \frac{\phi}{2} \sin \frac{\theta}{2} \cos \frac{\psi}{2} + \sin \frac{\phi}{2} \cos \frac{\theta}{2} \sin \frac{\psi}{2} \quad (4.185)$$

$$q_3 = \cos \frac{\phi}{2} \cos \frac{\theta}{2} \sin \frac{\psi}{2} - \sin \frac{\phi}{2} \sin \frac{\theta}{2} \cos \frac{\psi}{2} \quad (4.186)$$

pentru care ϕ, θ, ψ reprezintă unghiurile de ruliu, tangaj și giroație (*roll, pitch, yaw*) în această ordine.

Transformarea inversă din cuaternion unitate în unghiuri Euler necesită trecerea printr-o matrice intermedieră de rotație [26]:

$$R = \begin{bmatrix} q_0^2 + q_1^2 - q_2^2 - q_3^2 & 2(q_1 q_2 + q_0 q_3) & 2(q_1 q_3 - q_0 q_2) \\ 2(q_1 q_2 - q_0 q_3) & q_0^2 - q_1^2 + q_2^2 - q_3^2 & 2(q_2 q_3 + q_0 q_1) \\ 2(q_1 q_3 + q_0 q_2) & 2(q_2 q_3 - q_0 q_1) & q_0^2 - q_1^2 - q_2^2 + q_3^2 \end{bmatrix} \quad (4.187)$$

din care se recuperează secvența de unghiuri [23]:

$$\phi = -\arctan \frac{R_{23}}{R_{33}} \quad (4.188)$$

$$\theta = -\arcsin R_{13} \quad (4.189)$$

$$\psi = \arctan \frac{R_{12}}{R_{11}} \quad (4.190)$$

Dacă orientarea poate fi definită ca o mărime ăsurabilă pentru contextul oferit în (4.174), schimbarea orientării în timp poate fi modelată ca un sistem dinamic folosind calcul derivativ. Astfel, o schimbare în rotație poate fi convenabil definită cu ajutorul cuaternionilor [23]:

$$\dot{q} = \frac{1}{2} \mathcal{W} \vec{w} \quad (4.191)$$

unde matricea \mathcal{W} reprezintă transformarea liniară a vectorului \vec{w} ce cuprinde cele

trei derivate ale unghiurilor de rotație, vitezele unghiulare [23].

$$\mathcal{W} = \begin{bmatrix} -q_1 & -q_2 & -q_3 \\ q_0 & q_3 & -q_2 \\ -q_3 & q_0 & a_1 \\ q_2 & -q_1 & q_0 \end{bmatrix} \quad (4.192)$$

Avantajul major introdus de cinematica cvadimensională a reprezentării prin cuaternioni este imunitatea pe care aceasta o conferă la singularitățiile introduse de reprezentarea atitudinii prin secvența Euler. Aceste singularități reprezintă valori critice pentru ecuațiile dinamicii unghiurilor, și fenomenul pe care îl suportă poartă denumirea de *gimbal lock* [23].

Am simulat [65] în figura 4.16 dinamica schimbării de rotație prin ambele reprezentări pentru un set identic de condiții inițiale și viteze unghiulare, și se observă cum atunci când unghiul de tangaj converge la punctul critic de -90° [23], valorile celorlalte două unghiuri explodează. Aceste divergențe pot fi restrâse într-un interval dorit (ex. $\pm 180^\circ$), dar atunci cele două axe vor coincide, iar sistemul va pierde un grad de libertate, ceea ce produce evenimentul de *gimbal lock*.

Cuaternionii, după cum se observă în al doilea grafic din figură, neagă acest efect printr-o compensație adusă de celelalte două axe de rotație (ruliu și giroație), acest lucru fiind posibil prind calitatea orientării de a putea fi reprezentată în mai multe feluri pentru același tip de mișcare.

Acest avantaj a dus la decizia de a folosi reprezentarea sub formă de cuaternioni pentru modelul procesului algoritmului de estimare a orientării

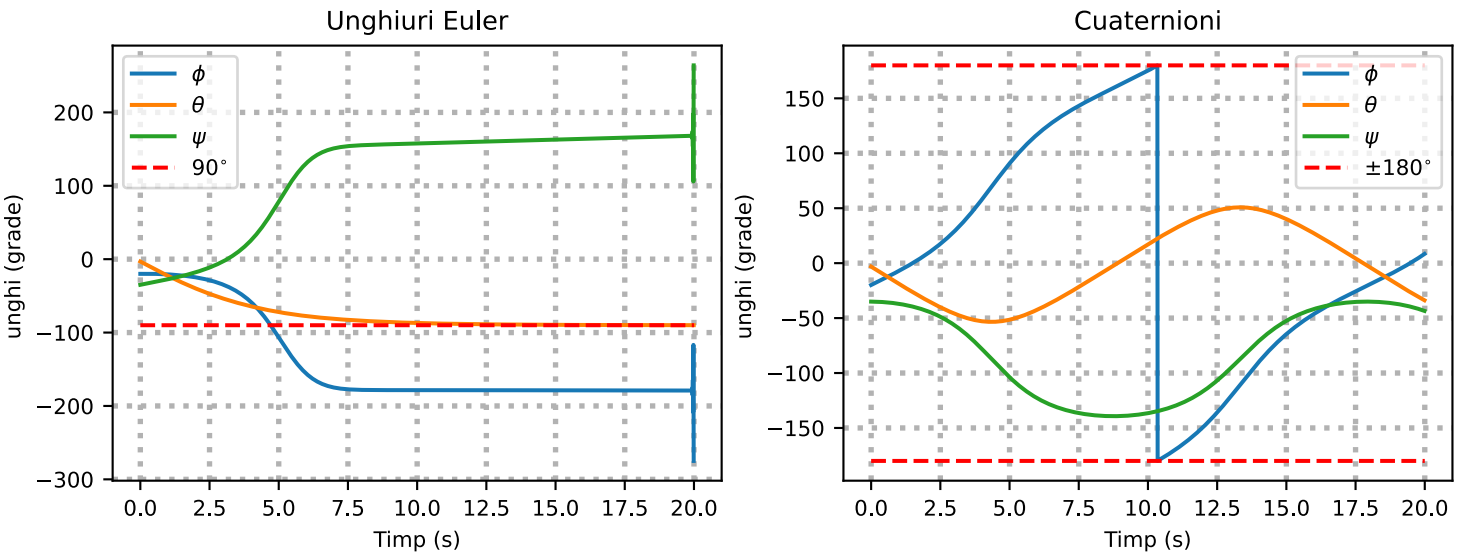


Figura 4.16: Comparație unghiuri Euler - Cuaternioni pentru dinamica orientării

Capitolul 5

Proiectare de Detaliu și Implementare

5.1 Giroscopul - Modelul procesului

Pentru estimarea orientării am implementat un filtru Kalman liniar adaptat celor doi senzori reali prezenti. Faza de predicție a filtrului propagă în timp modelul procesului bazat pe transformările cuaternionilor, dar în același timp va primi și măsurători de la giroscop înainte de o fază de corecție, care va fi elaborată în următoarea secțiune. Astfel, informația primită de filtru va fi corpul vitezelor unghiulare:

$$\vec{w} = [p \quad q \quad r]^T \quad (5.1)$$

unde p, q, r reprezintă vitezele unghiulare citite de pe cele trei axe ale vectorului.

După cum a fost menționat și în studiul bibliografic, unghiul de rotație din jurul axei Z nu va fi trecut prin procesul de corecție, și deci nu va fi verificat pentru convergență. Datorită lipsei de referință pentru axa de giroscop, fără ajutorul unui magnetometru care poate indica nordul, sistemul de senzori compus dintr-un accelerometru și un giroscop triaxial nu returnează o valoare relevantă pentru un utilizator.

Măsurătoarea provenită de la giroscop poate fi integrată în timp pentru a obține unghiul, iar datele de la accelerometru pot fi prelucrate pentru a returna o valoare locală, dar fără un sistem de referință, unghiul măsurat a fi mereu relativ la poziția în care senzorul a fost conectat, ceea ce nu este de dorit. Tocmai de aceea am decis să constrâng folosirea microcontroller-ului la cele informații oferite.

Cu toate acestea, pentru a verifica validitatea unui cuaternion unitate (4.178), dinamica unghiului de giroscop trebuie inclusă, iar faza de corecție trebuie modificatăcorespunzător pentru a evalua doar două dintre cele trei componente ale vectorului.

Astfel, vitezele unghiulare citite sunt transformate în dinamica 4D prin (4.192), după care mărimea este integrată în timp prin metoda Euler înainte conform unghiului simulat de giroscop (4.114) din animație:

$$q = q_0 + \dot{q}\Delta t \quad (5.2)$$

pentru care q_0 este inițializat cu un vector nul, iar Δt este chiar perioada de prelevare a datelor de la senzor:

$$q_0 = [0 \ 0 \ 0 \ 0]^T \quad (5.3)$$

și cuaternionul obținut q este normalizat cu norma (4.178) pentru defini o rotație:

$$q \leftarrow \frac{q}{\|q\|} \quad (5.4)$$

după care este transformat în secvența Euler corespunzătoare conform (4.187) - (4.190) pentru a intra într-o ulterioară fază de corecție.

Pentru modelul procesului se definește matricea de covariantă P care modelează atât erorile provenite de la giroscop, cât și cele de transformare ale vectorului cuaternion. Ea este inițializată ca o matricea diagonală a varianțelor fiecarei componente a cuaternionului:

$$P_0 = \begin{bmatrix} p\sigma_{q_0}^2 & 0 & 0 & 0 \\ 0 & p\sigma_{q_1}^2 & 0 & 0 \\ 0 & 0 & 0p\sigma_{q_2}^2 & 0 \\ 0 & 0 & 0 & p\sigma_{q_3}^2 \end{bmatrix} \quad (5.5)$$

astfel încât pentru o incertitudine mare variabila p poate fi setată la un ordin relativ la valorile apropiate de unitate ale cuaternionului, iar pentru siguranță absolută poate fi egalată cu zero.

Zgomotul de proces este aditiv pentru covarianță și deci asemănător ca în (4.85) se poate propaga în timp:

$$P = FP_0F^T + Q \quad (5.6)$$

unde F este matricea identitate I_4 încrucișat mărimea cuaternionului nu se transformă, iar Q înglobează zgomotul de proces al transformării și al măsurătorii de la senzor:

$$Q = \begin{bmatrix} \sigma_{q_0}^2 & 0 & 0 & 0 \\ 0 & \sigma_{q_1}^2 & 0 & 0 \\ 0 & 0 & 0\sigma_{q_2}^2 & 0 \\ 0 & 0 & 0 & \sigma_{q_3}^2 \end{bmatrix} \quad (5.7)$$

Și astfel au fost obținute ecuațiile predicției filtrului de fuziune.

Notă

O restricție de firmware a legăturii matlab Arduino a fost observată pentru alegerea frecvenței de citire a datelor de la senzor. Pentru ca aplicația să răspundă cât mai rapid

comenzilor utilizatorului, frecvența de prelevare maximă posibilă a fost aleasă:

$$f = 200Hz \quad (5.8)$$

$$\Delta t = \frac{1}{f} = 0.005s \quad (5.9)$$

a cărei inversă va fi chiar perioada de eşantionare a procesului discret al modelului.

Un giroscop oferă informație despre unghiuri prin integrarea numerică a vitezelor rotative. Componenta integratoare reduce zgomotul de frecvențe mari din proces, ceea ce este de dorit, dar integrează pe de altă parte și eroarea de măsură constantă (numită *bias* [66]), ceea ce duce la îndepărțarea progresivă a măsurătorilor de adevăr (*drift* [19]). Tocmai de aceea procesul trebuie corectat de un alt senzor ale cărui erori nu sunt corelate cu același fenomen.

5.2 Accelerometrul - Modelul măsurătorilor

Folosit de unul singur, giroscopul poate integra vitezele unghiulare pentru a obține un unghi reativ la sistemul de referință pentru care a fost inițializată conexiunea. Fără un alt senzor care oferă o informație despre sistemul de referință, măsurătorile obținute nu pot fi absolute, și consola de joc nu ar putea funcționa corespunzător.

Un accelerometru triaxial măsoară atât accelerația gravitațională, cât și accelerațiile liniare de pe cele trei axe. Măsurătoarea axei gravitaționale se opune axei de jos din sistemul de referință NED (North-East-Down) și astfel senzorul are o informație despre cadrul de referință în care se află.

Pe cont propriu, folosind transformări trigonometrice, accelerometrul este fiabil pentru a oferi informații despre unghurile de înclinație ale obiectului de care este atașat. Așadar, pentru setul de trei măsurători provenite de la accelerometru:

$$m_{acc} = [a_x \quad a_y \quad a_z] \quad (5.10)$$

se pot normaliza accelerațiile axelor la norma euclidiană gravitațională [66]:

$$\phi = \arcsin \frac{a_y}{g} \quad (5.11)$$

$$\theta = \arcsin \frac{a_x}{g} \quad (5.12)$$

unde:

$$g = \sqrt{a_x^2 + a_y^2 + a_z^2} \quad (5.13)$$

Demonstrația ecuațiilor trigonometrice poate fi făcută geometric conform figurii 5.1. Pentru un senzor MPU-6050 se consideră sensibilitatea de $8192LSB/g$ [67] se consideră rotația de 45° a axei Xo a obiectului în raport cu axa Xm mondială. Astfel, pentru a facilita explicația, se poate considera că sensibilitatea este *bifurcată* în numerele egale cu 4096. Următorul calcul poate fi evaluat pentru a recupera unghiul de mișcare:

$$\frac{4096}{\sqrt{4096^2 + 0^2 + 4096^2}} = 0.7071 \quad (5.14)$$

$$\arcsin 0.7071 = 45^\circ \quad (5.15)$$

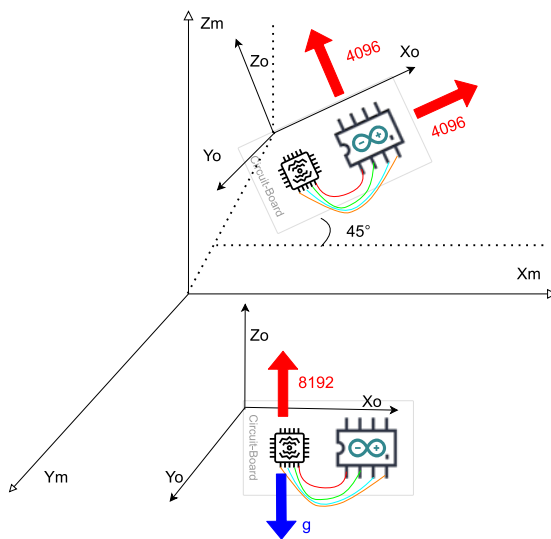


Figura 5.1: Interpretarea geometrică a unghiurilor de înclinație ale accelerometrului

Măsurătorile transformate trigonometric (4.202) - (4.203) sub forma de unghiuri sunt introduse în faza de corecție a filtrului de fuziune. Vectorul secvenței Euler e augmentat cu o valoare nulă pentru măsurătoarea girătiei, pentru ca transformările (4.183) - (4.186) să poată avea loc.

Nou cuaternion provenit din măsurătorile accelerometrului este comparat cu cel obținut prin procesul modelului giroscopului, iar diferența (inovația) dintre cei doi vectori este ponderă de câstigul Kalman pentru a realiza fuziunea. Așadar, au loc ecuațiile:

$$S_{k+1} = HP_{k+1}^- H^T + R \quad (5.16)$$

$$K_{k+1} = P_k H^T S_{k+1}^{-1} \quad (5.17)$$

$$\hat{x}_{k+1}^+ = \hat{x}_{k+1}^- + K_{k+1}(\text{transformare}([\phi, \theta, 0] - H\hat{x}_{k+1}^-)) \quad (5.18)$$

$$P_{k+1}^+ = P_{k+1}^- - K_{k+1} H P_{k+1}^- \quad (5.19)$$

unde H , asemenea lui F , este matricea unitate I_4 , și poate fi eliminat din ecuații, iar matricea R reprezintă zgometul măsurătorilor și poate fi modelată cu același ordin pentru parametrii ca și Q :

$$R = \begin{bmatrix} \sigma_{q_0}^2 & 0 & 0 & 0 \\ 0 & \sigma_{q_1}^2 & 0 & 0 \\ 0 & 0 & 0\sigma_{q_2}^2 & 0 \\ 0 & 0 & 0 & \sigma_{q_3}^2 \end{bmatrix} \quad (5.20)$$

Pentru un zgomet de măsură R mai mic decât zgometul de proces Q ($\text{trace}(R) < \text{trace}(Q)$), filtrul va acorda mai multă încredere accelerometrului. Înversând rolurile ($\text{trace}(Q) < \text{trace}(R)$), modelul procesului giroscopului va fi prioritar pentru filtru. Procedura descrisă se numește acordare și este o etapă importantă a fuziunii senzoriale. În acest context, trace definește suma valorilor de pe diagonala matricei.

Notă

Pe cont propriu, accelerometrul oferă informații relevante pentru un senzor aproape static. În mișcare, măsurătorile lui sunt zgomotoase și funcționează mai bine în tandem cu un semnal de la giroscop filtrat prin integrarea numerică.

Filtrul Kalman conceput are recursivitate doar pentru covarianță, dar nu și pentru vectorul de stare, deoarece, în fiecare nouă etapă următoare, informația despre stare este primită de la celălalt senzor, și astfel se realizează o estimare în buclă semi-deschisă, conform schemei generale din figura 5.2.

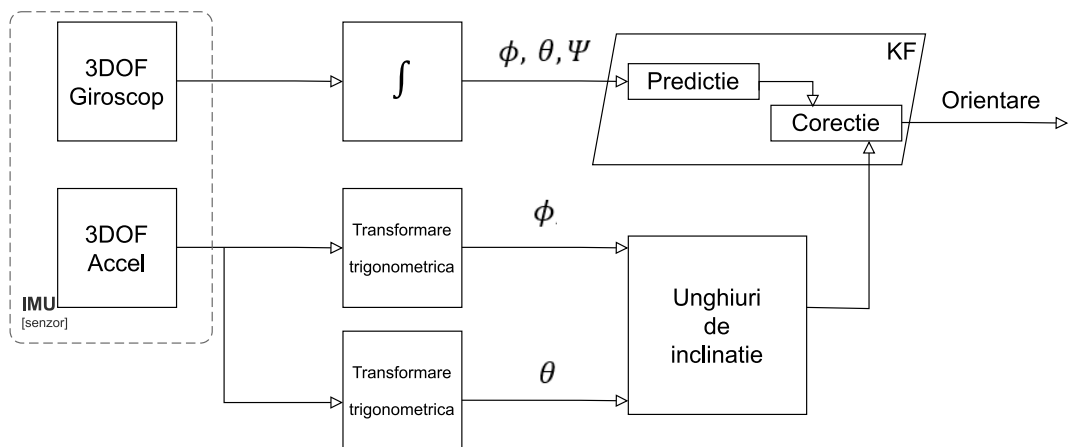


Figura 5.2: Schema generală de fuziune a datelor de la senzori

Pentru figura 5.3 am aplicat algoritmul de fuziune pentru placă de dezvoltare și senzori în poziție statică. Se poate observa că filtrul Kalman propus este un compromis dintre cele două măsurători individuale, iar stările sale sunt mai aproape de adevăr (0°). Acest fapt va fi confirmat în detaliu în capitolul următor dedicat validării rezultatelor.

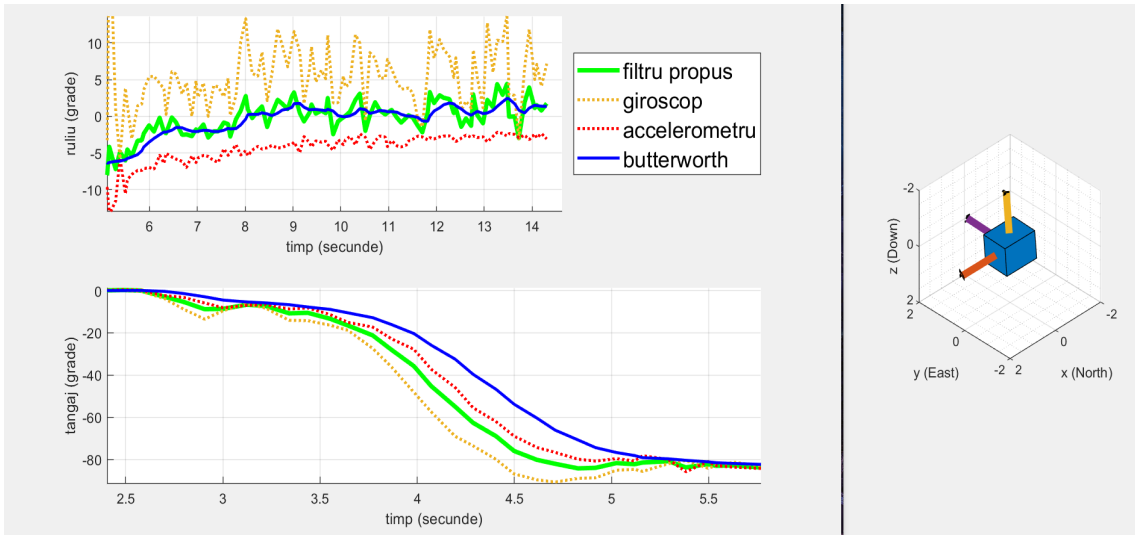


Figura 5.3: Fuziunea senzorială prin Kalman comparată cu măsurătorile individuale

Pentru a reduce și mai mult eroarea, un filtru Butterworth [68] de tip trece jos poate fi folosit recursiv pe baza unei funcții de transfer de ordin I, cu o frecvență de tăiere aleasă empiric de 10 ori mai mică decât frecvența Nyquist ($f_{Nyquist} = f/2 = 100Hz$). Principalul dezavantaj adus de suplimentarul FTJ este că acesta introduce o întârziere măsurabilă, fapt pe care l-am considerat nefiabil pentru o aplicație de timp real, și pe care deci nu l-am introdus în implementarea finală.

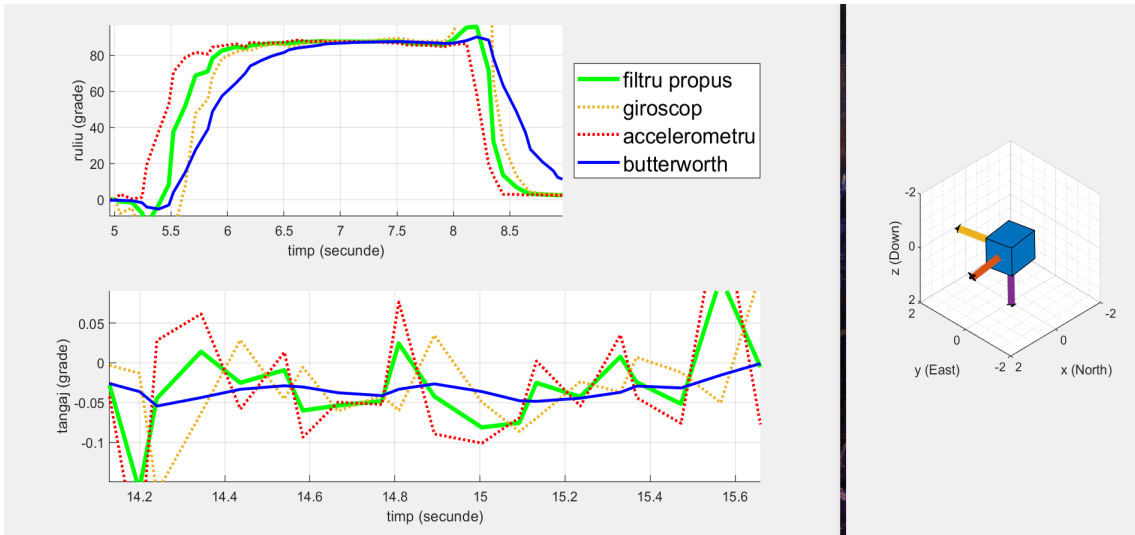


Figura 5.4: Fuziunea senzorială prin Kalman comparată cu măsurătorile individuale

Convergența algoritmului este garantată de filtrul liniar pentru ambele unghiuri, și estimarea orientării funcționează și în regim dinamic, după cum se vede în figura 5.4.

5.3 Schema generală de funcționare

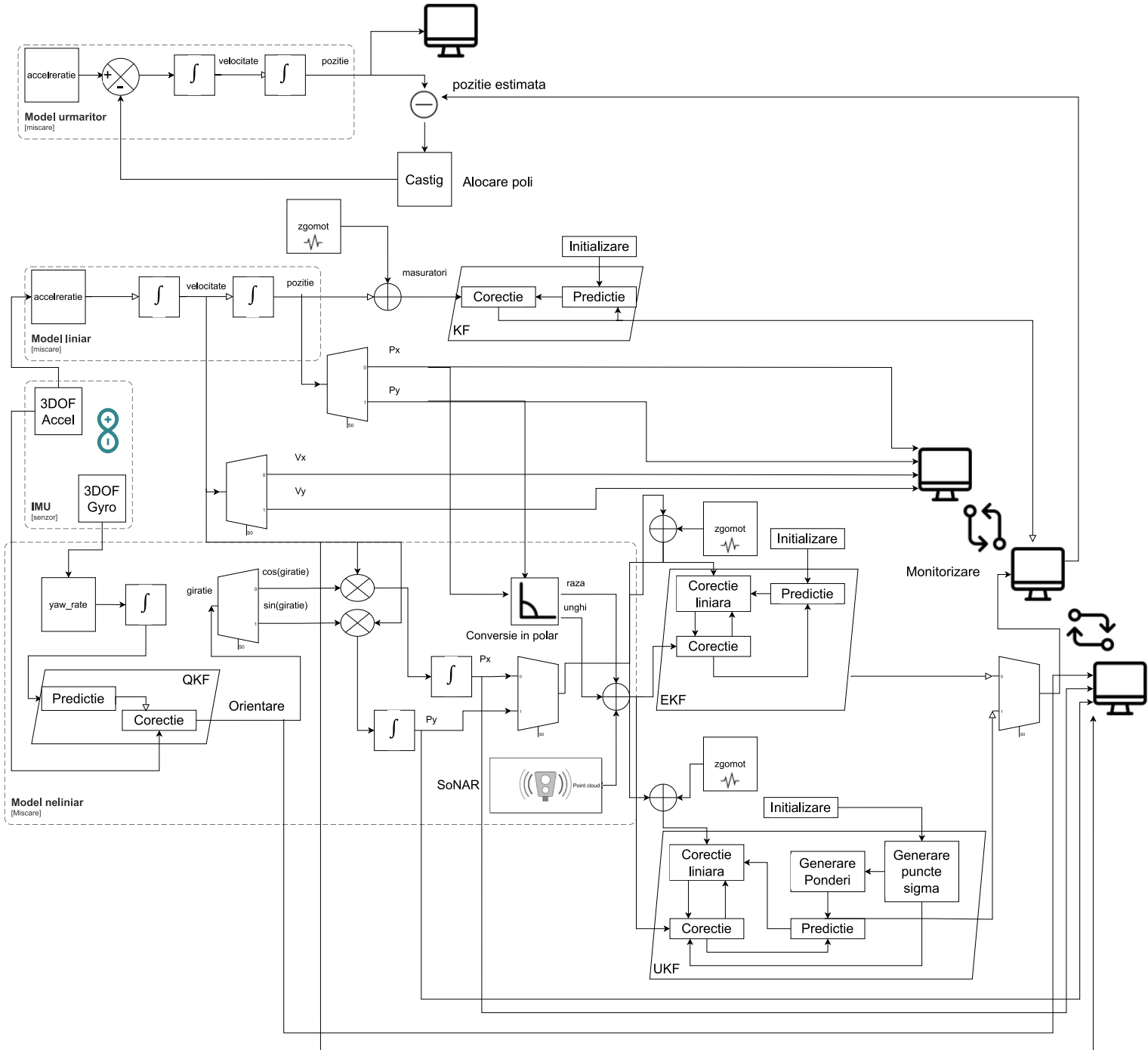


Figura 5.5: Schema bloc generală de funcționare a aplicației

Schema din figura 5.5 oferă o privire de ansamblu asupra scenariului de derulare al jocului. Obiectul urărit este controlat prin orientarea plăcii de dezvoltare obținută prin fuziunea datelor celor doi senzori prezenți, iar trei metode de estimare sunt posibile în funcție de tipul de mișcare realizat. Fuziunea este realizată conform schemei din figura 5.2, prin algoritmul de fuziune *QKF* (filtrul Kalman cu cuaternioni) prezentat treptat de la începutul capitolului.

Pentru un proces liniar, filtrul Kalman simplu (*KF*) este de preferat, dar umărirea se poate realiza și prin filtrele extins sau unscented. Acest lucru e posibil pentru că și obiectul în mișcarea liniară dispunde de o viteză de rotație, doar că se consideră nulă. Filtrul simplu nu are la dispoziție o fază de corecție bazată pe măsurători polare, pentru că acestea nu pot fi restrânse la ecuații algebrice liniare.

Pozitia unui obiect relativă la cele două axe de mișcare poate fi transformată în coordinate polare pentru a intra în faza de corecție a uneia dintre cele două filtre neliniare, unde măsurătorile vor fi comparate cu informația de tip Point Cloud a sonarului, care are mult mai multă acuratețe decât măsurătorile de tip GPS primite în faza de corecție liniară. Astfel, atât pentru *EKF* (filtrul Kalman extins), cât și pentru *UKF* (unscented), fuziunea senzorială se realizează prin aditivitatea celor două faze de corecție. Inițial, măsurătorile de tip GPS confirmă sau corectează eroarea estimării obținute prin propagarea procesului modelului, după care și mai fiabilele măsurători ale sonarului au o intervenție în algoritm.

În faza de predicție a fitrelor neliniare, pot fi primite măsurători ale vitezei unghiulare zgomotoase de la giroscop pentru modelare, dar nu este imperios necesar, deoarece această mărimea poate fi modelată ca zgomat de proces, așa cum este și accelerarea. Se realizează astfel trei algoritmi de estimare în buclă închisă, ale caror erori de estimare sunt obținute prin compararea cu adevărul prin ceea ce e reprezentat schematic ca *monitorizare*, iar această eroare devine intrarea ponderată în dinamica procesului urmărit.

Filtrul unscented este cel mai complex algoritm prezent în aplicație, deoarece a necesitat în plus două funcții de calculare a punctelor sigma și a ponderilor lor (explicate în capitolul precedent), iar acesta poate fi construit fie pe baza aceluiși model de proces folosit și pentru filtrul extins, fie pe baza uneia modificată, după cum se va vedea.

Am considerat procesul urmăritorului ca fiind liniar pentru toate cazurile de mișcare, pentru că astfel să se poate aplica fie metoda de alocare a polilor schițată în figură, fie prin reglare liniar - pătratică. Un punct de dezvoltare viitor care rezultă de aici este explorarea metodelor de control neliniare în vederea obținerii unor rezultate mai aproape de adevăr.

Rezultatul final al algoritmului, și implicit obiectivul proiectului propus este convergența stărilor urmăritorului la valorile de stare ale obiectului urmărit. Astfel se realizează o urmărire de traекторie complet autonomă, fără intervenția utilizatorului, iar în restul capitolului voi explica implementarea programatică activă a cumulului de noțiuni teoretice prezentate în capitolul dedicat analizei teoretice.

5.4 Diagrama claselor

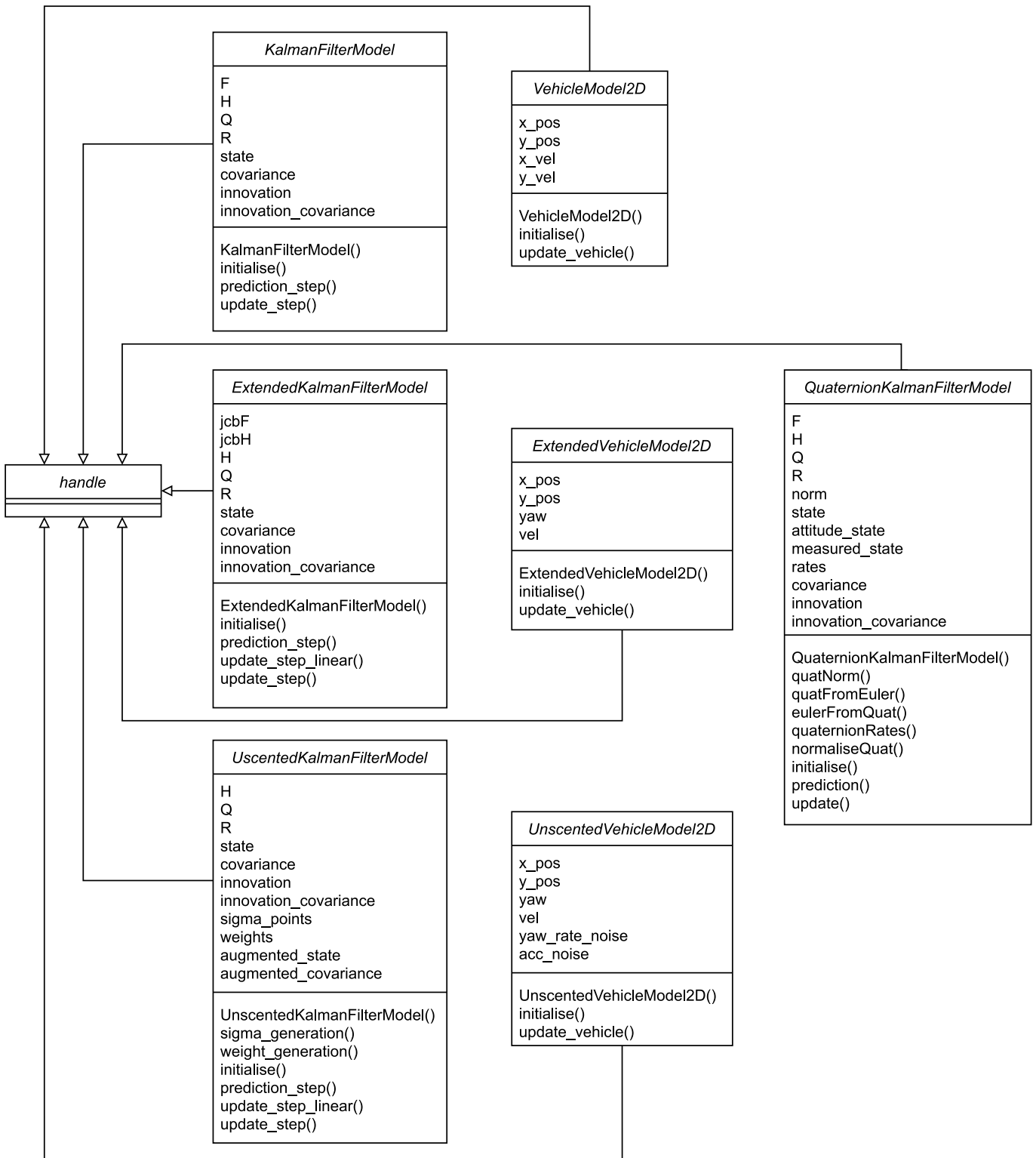


Figura 5.6: Diagrama claselor folosite în aplicație

Figura 5.6 prezintă totalitatea claselor implementate în MATLAB pe care le-am considerat necesare realizării jocului. Abstractizarea obiectivului prin obiecte și clase a fost inspirată de proiectul [69]. Folosind structurile POO (programare orientată pe obiecte) puse la dispoziție de limbajul de programare am coceput trei scenarii posibile de urmărire simulate: mișcare liniară, circulară și aleatorie, iar cel mai înalt grad al performanței este scenariul mișcării comandate de utilizator, care se poate prezenta ca o combinație dintre celelalte trei.

Astfel, prin moștenire directă, toate clasele au acces la metodele superclasei *handle* [70]. Această clasă unică din limbaj este necesară pentru referirea, ștergerea sau modificarea instanțelor unei clase, și astfel este indispensabilă modelării dinamicii obiectelor în timp. Această relație de moștenire este de altfel singura legătură între clase, întrucât am intenționat funcționarea lor independentă în funcție de scenariul ales.

Așadar, cele trei variațiuni ale filtrului Kalman analizate în capitolul precedent se regăsesc în cele trei clase *KalmanFilterModel*, *ExtendedKalmanFilterModel* și *UnscentedKalmanFilterModel*. Fiecare dintre filtre a fost implementat pentru a estima un model de mișcare diferit, iar în acest sens am implementat cele trei clase *VehicleModel2D*, *ExtendedVehicleModel2D* și *UnscentedVehicleModel2D*.

Prima dintre cele trei modelează după cum se observă și din atrbute (numite proprietăți în MATLAB) cazul de mișcare liniară și poate fi estimată cu succes de toate cele trei filtre. Atât modelul extins, cât și modelul unscented descriu mișcarea neliniară sub un unghi a obiectului și singura diferență dintre cele două este admisia zgomotului pentru intrările procesului unscented (accelerația și viteza unghiulară). Am intenționat în acest fel să creez o estimare mai robustă atât la zgomotele reale provenite de la senzor cât și la cele simulate în aplicație. Cu toate aceastea, modelul extins este suficient pentru ambele filtre neliniare, pentru că se bazează pe același vector de stare.

Pentru fuziunea senzorială a datelor de la giroscop și accelerometru demonstrată la începutul capitolului am implementat clasa *QuaternionKalmanFilterModel* care implementează ecuațiile de transformare și propagare a dinamicii orientării prezentate în (4.178) - (4.192) și (5.2) - (5.9) pentru modelul procesului giroscopului, și corecția prin unghiurile de înclinare obținute din datele accelerometrului regăsite în (5.10) - (5.20).

Toate clasele construite sunt instanțiate într-un script (cod) principal care inițiază și întreține și animația, după cum se va vedea în continuarea capitolului. Scriptul principal în MATLAB nu este o clasă, și deci nu se regăsește în diagrama din figura precedentă, dar funcțiile folosite sunt demne de explicat pentru a contura contextul programatic al aplicației, și nu numai cel științific.

Acest script principal este responsabil de asemenea de realizarea controlului urmăritorului, obiect care va fi mereu o instanță a clasei *VehicleModel2D*, întrucât procesul său este modelat liniar. Tot aici are loc și generarea graficelor de performanță care vor fi puse la dispoziție în capitolul 6, iar implementarea structurilor de estimare pe clase facilitează comparatia stărilor pentru o analiză în detaliu a erorilor.

5.5 Diagrama de flux

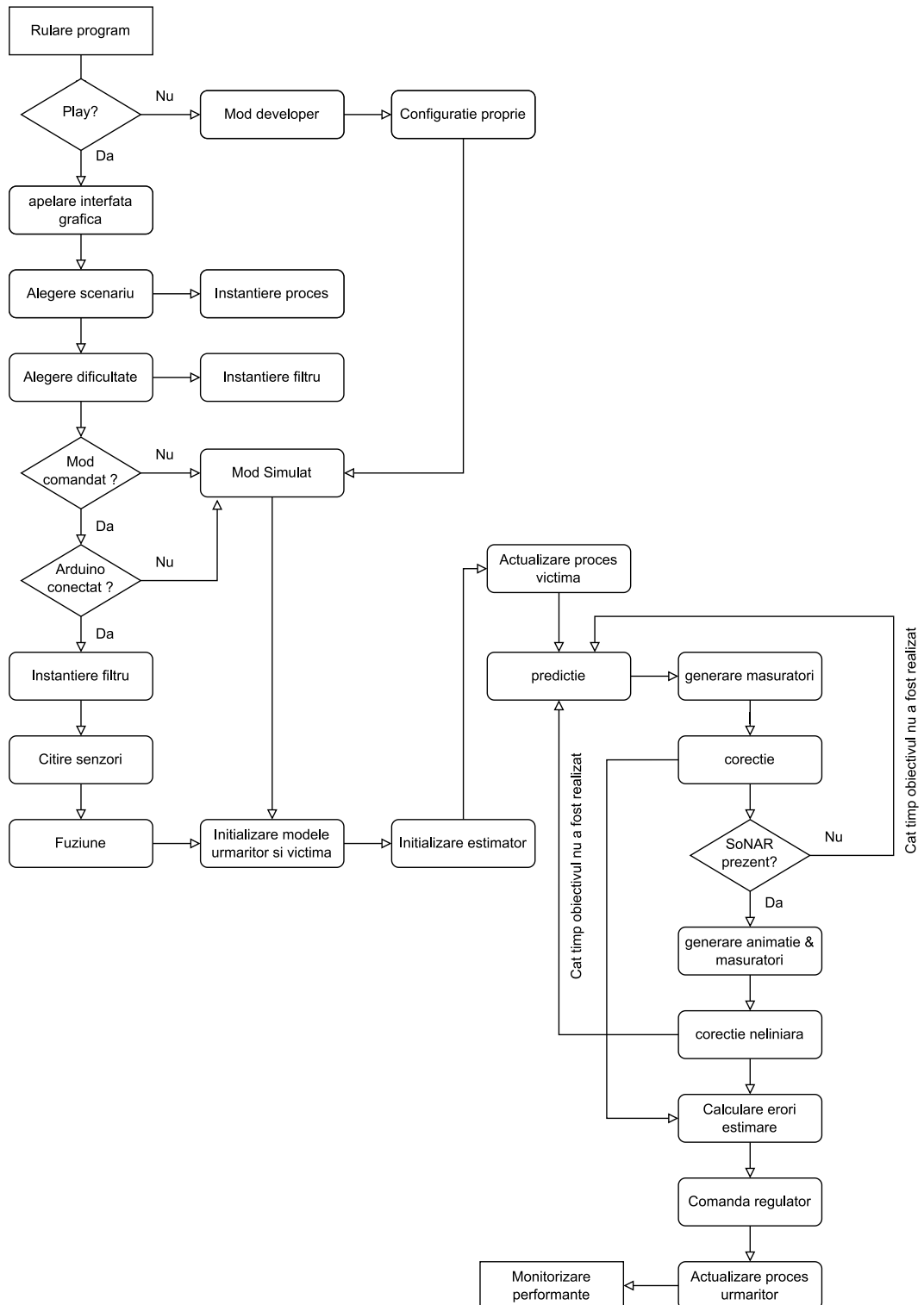


Figura 5.7: Diagrama fluxului de execuție al programului

Execuția sistematică a aplicației în mai multe etape este prezentată în figura 5.7. Programul se desfăsoară ca un joc, cu o interfață grafică specifică, din care utilizatorul poate alege scenariul urmăririi (traекторia mișcării) și nivelul de dificultate (algoritmul de estimare). În caz că placa de dezvoltare nu este conectată, jocul rulează ca o simulare în care se pot explora performanțele fiecărui filtru.

Modul de dezvoltare (*developer*) pornește script-ul fără interfață grafică, și rolul lui este de a oferi o configurație proprie simulării, în vederea acordării filtrelor. Astfel, pentru modelul liniar, se pot seta stările initiale ale procesului astfel încât să fie fiabile și pentru procesul neliniar:

$$x_0 = [p_{x_0} \ p_{y_0} \ v_0 \ \beta_0] \quad (5.21)$$

de unde se recuperează vitezele pentru cele două axe:

$$v_x = \cos \beta_0 \times v_0 \quad (5.22)$$

$$v_y = \sin \beta_0 \times v_0 \quad (5.23)$$

De notat este că unghiul *beta* setat la început este unghiul sub care se va desfășura mișcarea liniară, însemnând că acesta nu se mai modifică pe parcursul traseului, iar dinamica lui este constantă. Pentru stările prelucrate se pot seta abaterile standard:

$$\sigma = [\sigma_p \ \sigma_v \ \sigma_a \ \sigma_m] \quad (5.24)$$

unde, pentru simplificare, abaterea standard a ambelor poziții și cea a ambelor viteze sunt evaluate cu câte o valoare. Deviația ambelor accelerări este înglobată în σ_a , iar σ_m reprezintă abaterea măsurătorilor primite de la GPS.

Am configurat și un steag cu valoare booleană care stabilește dacă filtrul va fi initializat cu stare x_0 a procesului, sau dacă acesta nu deține cunoștiințe a priori despre proces. În ambele cazuri, filtrul liniar va converge. Același steag controlează și inițializarea parametrilor urmăritorului. Astfel, matricea de covarianță a stării se programază:

$$P = \begin{bmatrix} \sigma_m^2 & 0 & 0 & 0 \\ 0 & \sigma_m^2 & 0 & 0 \\ 0 & 0 & \sigma_v^2 & 0 \\ 0 & 0 & 0 & \sigma_v^2 \end{bmatrix} \text{ sau } P = \begin{bmatrix} \sigma_p^2 & 0 & 0 & 0 \\ 0 & \sigma_p^2 & 0 & 0 \\ 0 & 0 & \sigma_v^2 & 0 \\ 0 & 0 & 0 & \sigma_v^2 \end{bmatrix} \quad (5.25)$$

în funcție de setarea steagului. Zgomotul de proces Q înglobează dinamica celor două accelerări primite ca intrări în proces și este initializat ca în (4.47) folosind varianța accelerării (pătratul abaterii, considerat identic pentru ambele axe spre simplificare) în locul accelerărilor propriu zise. Zgomotul de măsură R va depinde mereu de varianța măsurătorilor de tip GPS:

$$R = \begin{bmatrix} \sigma_m^2 & 0 \\ 0 & \sigma_m^2 \end{bmatrix} \quad (5.26)$$

Componentele vectorului de acceleratie sunt setate stocastic cu funtia MATLAB *randn* [71] ce returneaza numere aleatorii distribuite Gaussian, folosita si pentru a genera zgomotul ce afecteaza măsurătorile exacte ale pozițiilor victimei, ce devin intrările funcției de corecție (4.86) - (4.87). Atât vectorul de stare cât și matricea de covarianță sunt recrise recursiv în ambele etape ale algoritmului și astfel se realizează o estimare în buclă închisă conform fazelor de predicție (4.85) și corecție a filtrului liniar (4.106) - (4.113). Modelul procesului liniar, dar și cel al urmăritorului sunt bazate pe legile de mișcare (4.44) - (4.45), scrise matricial ca în (4.162) - (4.163).

Faza de predicție a procesului extins conține în plus informații despre varianța vitezei de giroație a victimei. Pentru a face algoritmul mai eficient, am inclus o modificare a măsurătoarii giroscopului de pe axa X (prin care va comanda jucătorul giroația propriu-zisă) pentru care am adăugat zgomot alb, deci se poate considera că filtrul primește informație în plus de la giroscop. Din moment ce algoritmul neliniar e vulnerabil la divergență, am considerat obligatorie opțiunea de inițializare a filtrului cu primele măsurători, deși este demn de menționat că într-un scenariu real acest lucru nu este mereu posibil. Astfel, am inițializat matricea de covarianță.

$$P = \begin{bmatrix} \sigma_m^2 & 0 & 0 & 0 \\ 0 & \sigma_m^2 & 0 & 0 \\ 0 & 0 & \sigma_\beta^2 & 0 \\ 0 & 0 & 0 & \sigma_v^2 \end{bmatrix} \quad (5.27)$$

Prin liniarizarea distribuției zgomotului de proces (4.77), noua varianță celor două intrări - viteza de giroație și accelerarea poate fi înglobată astfel (4.114), (4.130) [69]:

$$Q = \begin{bmatrix} 0 & 0 & 0 & 0 \\ 0 & 0 & 0 & 0 \\ 0 & 0 & \Delta t^2 \sigma_\beta^2 & 0 \\ 0 & 0 & 0 & \Delta t^2 \sigma_a^2 \end{bmatrix} \quad (5.28)$$

Faza de corecție liniară funcționează ca în cazul precedent, iar adăugarea sonarului este optională, pentru acesta modelându-se un zgomot de măsură R_{extins} :

$$R_{extins} = \begin{bmatrix} \sigma_r^2 & 0 \\ 0 & \sigma_\gamma^2 \end{bmatrix} \quad (5.29)$$

iar algoritmul decurge în continuare conform ecuațiilor (4.128) - (4.141).

Pentru filtrul Kalman unscented, vectorul de stare se poate augmenta astfel încât să conțină și informație atât despre cele patru abateri ale stărilor, cât și despre abaterile celor două măsurători neliniare de rază și unghi oferite de sonar:

$$X_{aug} = [X, \nu_{p_x}, \nu_{p_y}, \nu_{\dot{\beta}}, \nu_a, \omega_r, \omega_\gamma] \quad (5.30)$$

unde ν și γ reprezintă zgomotul de proces, respectiv măsură.

Se obține astfel un vector augmentat ce conține 10 stări, care este trecut prin transformata unscented (4.142), iar covarianța lui este construită prin augmentarea matricei anterioare P astfel:

$$P_{aug} = \begin{bmatrix} P & 0 & 0 \\ 0 & Q & 0 \\ 0 & 0 & R \end{bmatrix} \quad (5.31)$$

și aceasta este propagată conform (4.143), unde punctele σ și ponderile au fost calculate conform (4.150) - (4.153) pentru 20 de valori. Pentru faza de corecție neliniară, dacă este prezentă, matricea de covarianță augmentată se rescrie astfel încât să înglobeze incertitudinea măsurătorilor sonarului:

$$P_{aug} = \begin{bmatrix} P & 0 & 0 \\ 0 & Q & 0 \\ 0 & 0 & R_{extins} \end{bmatrix} \quad (5.32)$$

și funcția de generare a punctelor sigma este apelată din nou, dar nu și cea a ponderilor, care, conform (4.152) - (4.153) rămân constante pe parcursul estimării. Filtrul parcurge toate etapele (4.154) - (4.161). Sonarul este ales static pentru un punct de observare fix în raport cu care se măsoară raza și unghiul obiectului urmărit pentru fiecare iterație.

Se observă cum transformata unscented introduce complexitate în plus pentru calcularea ponderilor și punctelor σ , buclele de calcul devenind $\mathcal{O}(20n)$. Motivul pentru care cele 10 stări ale vectorului argumentat sunt dublate este oglindirea parametrilor conform figurii (4.13) în vederea recuperării noii elipse de covarianță. Pentru aplicația prezentă de tip joc, această complicitate este neglijabilă în raport cu numărul de iterări folosite pentru fiecare mișcare, și filtrul unscented devine o opțiune avantajoasă pentru unele dintre scenarii.

Dinamica animației depinde de perioada de eșantionare, și acesta este și motivul pentru care procesul continuu teoretizat la începutul capitolului precedent nu poate fi integrat într-o aplicație de acest fel, cum de altfel și procesele înglobate pe sisteme de calcul sunt mereu discrete. Astfel, perioada de eșantionare și frecvența de resetare a animației au fost alese empiric ținând cont de următoarea regulă:

$$\frac{1}{f} < pause < \Delta t \quad (5.33)$$

unde f reprezintă frecvența datelor de citire de la senzorul real MPU-6050, iar $pause$ perioada de pauză dintre cadre. În acest fel, se asigură o tranziție netedă de la comanda

joystick-ului la animație, care la rândul ei permite observarea desfășurării dinamicii procesului și a urmărlorului. În figurile 5.8 - 5.10 se pot observa diferitele scenarii în acțiune.

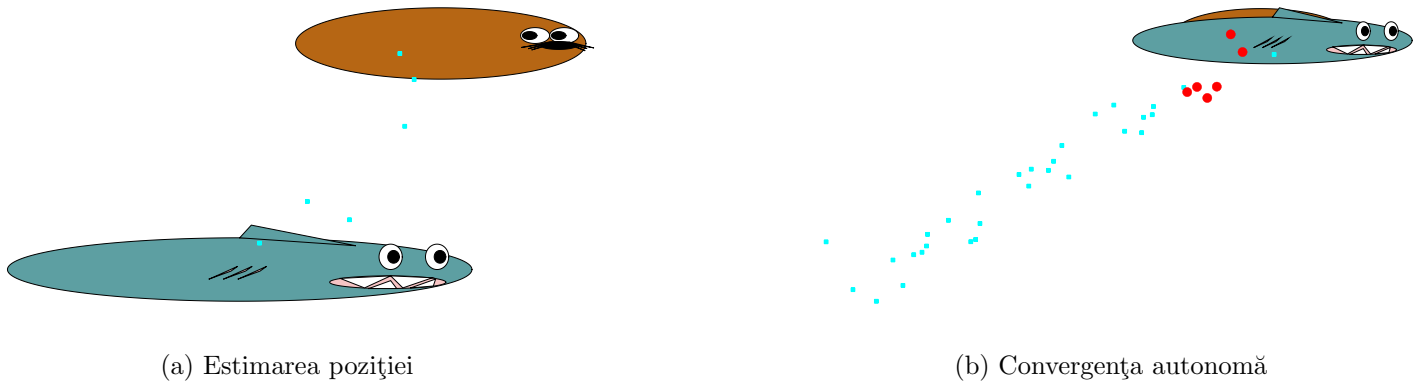


Figura 5.8: Urmărire a traectoriei liniare

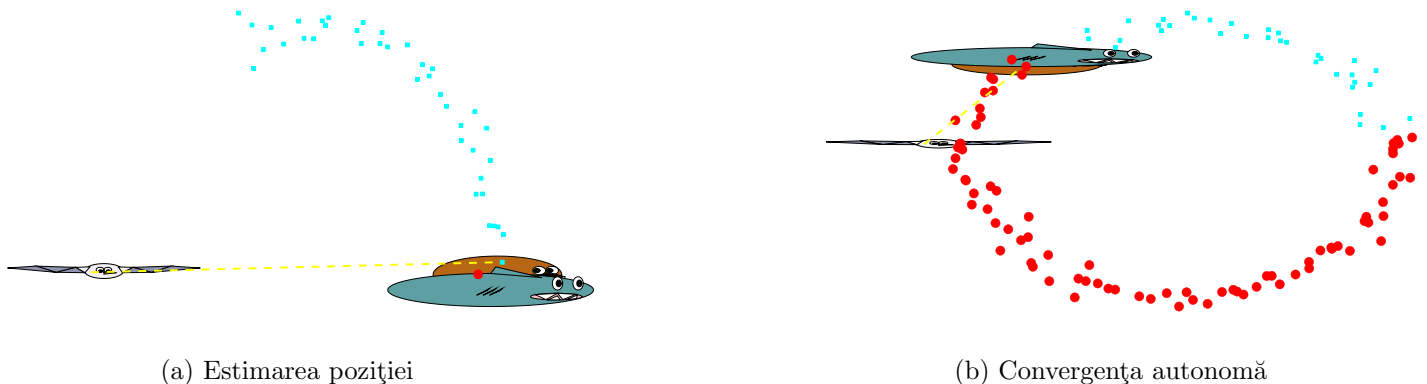


Figura 5.9: Urmărire a traectoriei circulare

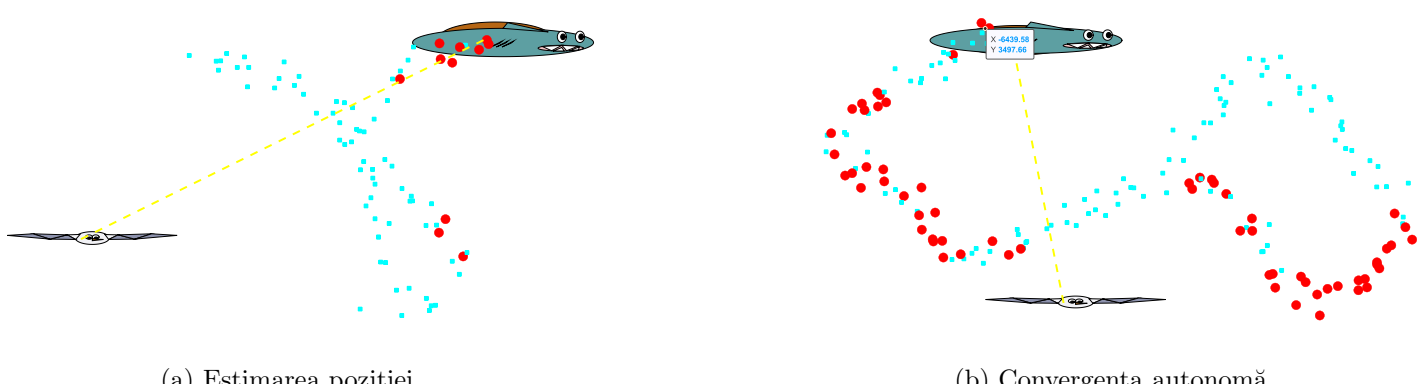


Figura 5.10: Urmărire a traectoriei aleatorii

Capitolul 6

Testare și Validare

Pentru dinamica estimatorului, a procesului victimă și a urmăritorului sunt salvate vectorial stările în fiecare moment de timp, și astfel, la finalul jocului, atunci când rechinul prinde foca (prin epuizarea punctelor roșii de viată), se pot trage concluzii asupra performanței urmăririi. Aceste grafice au fost folosite pentru a decide nivelul de acordare suplimentar cerut de regulator sau de filtru.

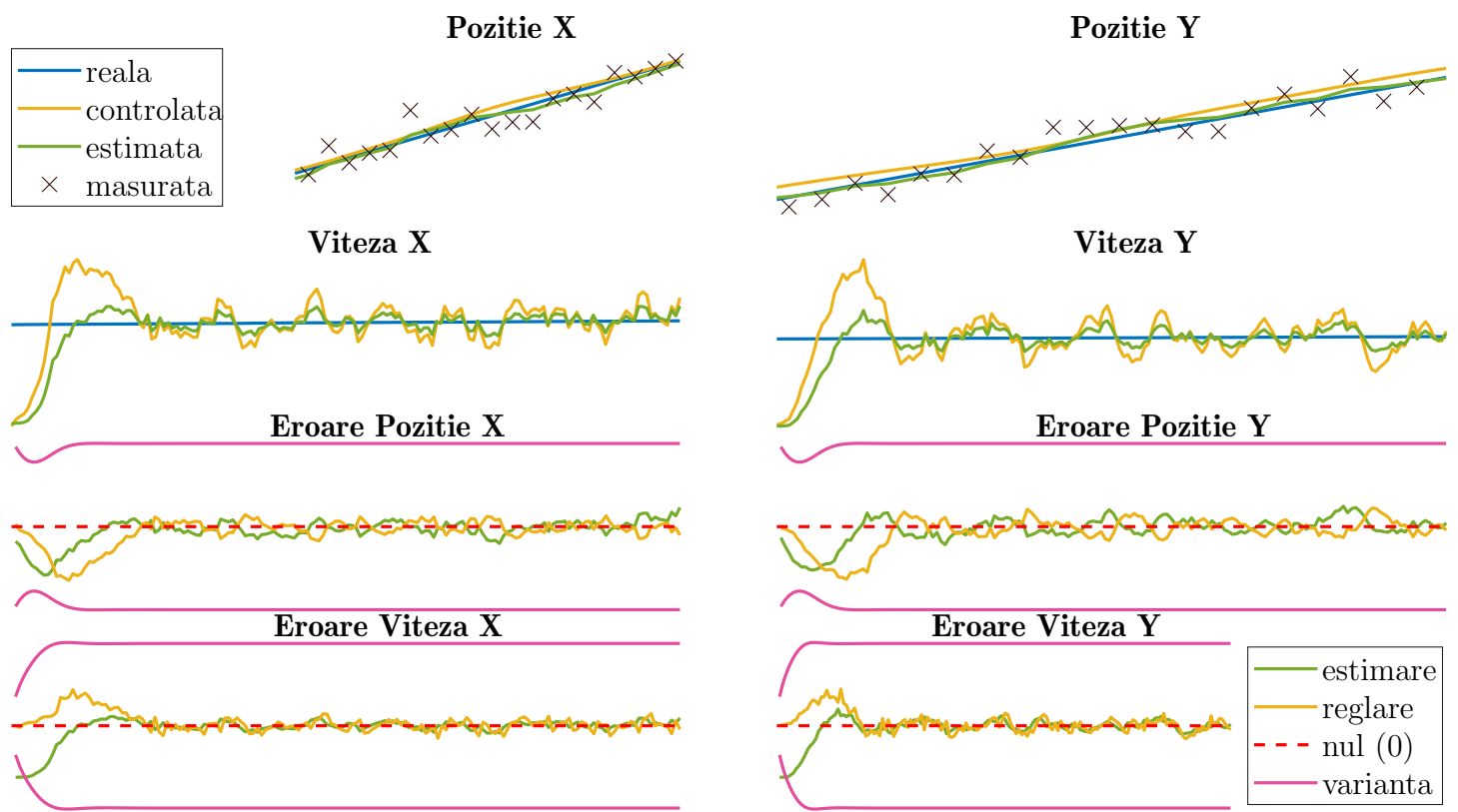


Figura 6.1: Evaluarea performantelor procesului liniar

Se poate observa în figura 6.1 cum stările estimatorului converg la cele reale ale procesului, respectiv cum stările urmăritorului converg prin control la estimările făcute de filtru. Pentru ambele poziții, atât estimările cât și reglarea sunt mai aproape de adevăr decât măsurătorile zgomotoase, ceea ce înseamnă că algoritmul și-a îndeplinit obiectivul.

Mai mult, după cum se vede în ultimele 4 figuri, erorile de estimare ale fiecărei stări converg la 0, și sunt înglobate de incertitudinea de $\pm 3\sigma$ a deviației standard rezultate din extragerea radicalului varianței. Pentru fiecare fază de predicție incertitudinea din proces este crescută de zgomotul de proces Q , conform (4.85), pentru ca mai apoi să fie întreținută prin faza de corecție (4.113). În acest exemplu, covarianța stărilor nu este minimizată, ci rămâne aproximativ constantă din cauza noilor incertiduni apărute în proces, dar atât stările, cât și erorile converg, ceea ce înseamnă că filtrul liniar are succes.

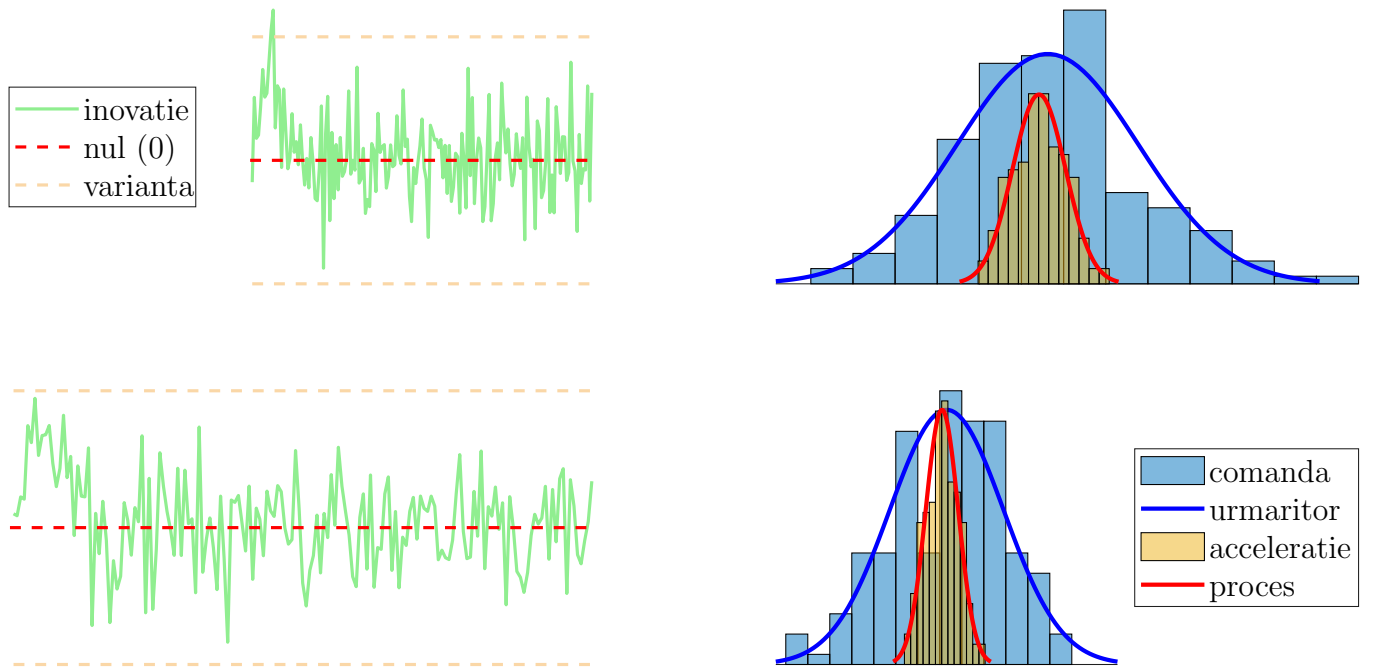


Figura 6.2: Evaluarea performanțelor procesului liniar

Figura 6.2 prezintă pe de o parte inovația (eroarea) măsurătorilor de tip GPS admise în faza de corecție, care poate fi încadrată în gama mai strictă de $\pm \sigma$ (o deviație standard) prevăzută înainte de rularea aplicației. Importantă pentru distribuția erorilor este și media cu valoare nulă, iar acest lucru se transpune și în intrarea dată regulatorului ce comandă mișcarea rechinului. Astfel, comanda dată este capabilă să mimeze forma distribuției accelerării adevărate ale victimei de pe ambele axe, dar cu o varianță observabil mai

mare, ceea ce înseamnă că efortul depus de rechin pentru a prinde foca este semnificativ, iar o astfel de comandă ar putea să nu fie fiabilă pentru un regulator real. Se poate nota de asemenea cum încă dintr-o perioadă de convergență generală, eroarea din proces tinde să crească, până când informația primită prin măsurători este evaluată.

Acceleratia pentru acest experiment a fost setată cu o valoare neglijabilă în raport cu poziția și viteza inițială, și de aceea poziția crește aproximativ liniar, iar viteza rămâne constantă. Pentru o dinamică mai complexă însă, performanțele algoritmilor se diversifică, după cum va fi evidențiat și în experimentele următoare.

Un caz de mișcare circulară este prezentat în figura 6.3, pentru care filtrul Kalman extins doar cu o fază de corecție liniară a fost folosit ca estimator. O astfel de mișcare presupune o schimbare continuă vitezei și a gării, și se poate observa cum și incertidunea din proces pentru poziții se modifică din cauza neliniarităților introduse. Se vede cum în acest caz faza de maximizare (predicție), respectiv cea de minimizare (corecție) a covariantei modifică vizibil forma distribuției în timp. Orientarea poate fi estimată cu succes datorită informației despre rata de gărire a procesului integrată în faza de predicție a modelului, iar varianța vitezei rămâne constantă din cauza stocasticității accelerării necesară producerii virajelor.

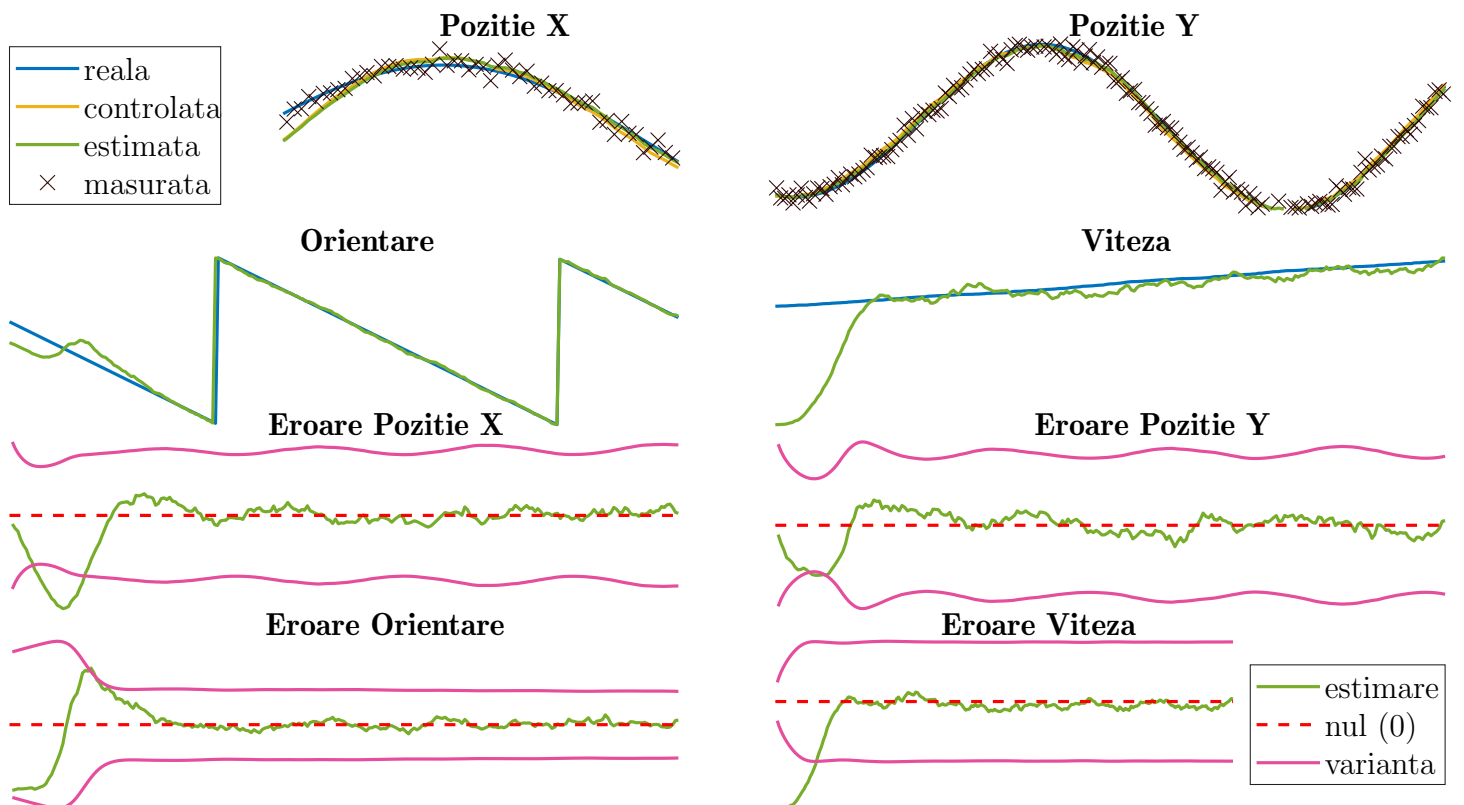


Figura 6.3: Filtrul Kalman extins pentru o tracectorie circulară

Pentru a limita intervalul valabil pentru atitudinea procesului victimă am folosit funcția MATLAB *wrapTo180* [72], și astfel de fiecare dată când se termină un cerc complet de mișcare se poate observa pe grafic o linie verticală. Pozițiile axelor X și Y vor echivala cu funcțiile cosinusoidă, respectiv sinusoidă dependente de magnitudinea accelerării.

Îmbunătățirea majoră introdusă de adăugarea fazei de corecție neliniare se observă în figura 6.4 în primul rând pentru acuratețea suplimentară regăsită în estimarea orientării. Nu numai că estimarea are o convergență mai netedă și mai rapidă, dar și varianța măsurătorii este minimizată considerabil prin introducerea noului senzor. Conform ecuațiilor fazelor de corecție extinse (4.137) - (4.141), se poate observa că matricea de covarianță este minimizată indiferent de convergența vectorului de stare, ceea ce înseamnă că atât execuția algoritmului, cât și acordarea a priori au fost de succes.

Și de această dată fazele succesive de maximizare, respectiv minimizare ale varianțelor pozitiei pot fi observate mai clar în cele două grafice, față care estimarea converge independent cu mai putină incertidune la stare. Modelul procesului urmăritorului este în continuare unul liniar, și de aceea performanțele lui nu sunt comparate pentru noile stări prezente în figură, ci decât pentru stările de interes final, pozitiei, pentru care se observă din nou o apropiere mai bună decât cea obținută de măsurătorile neprocesate.

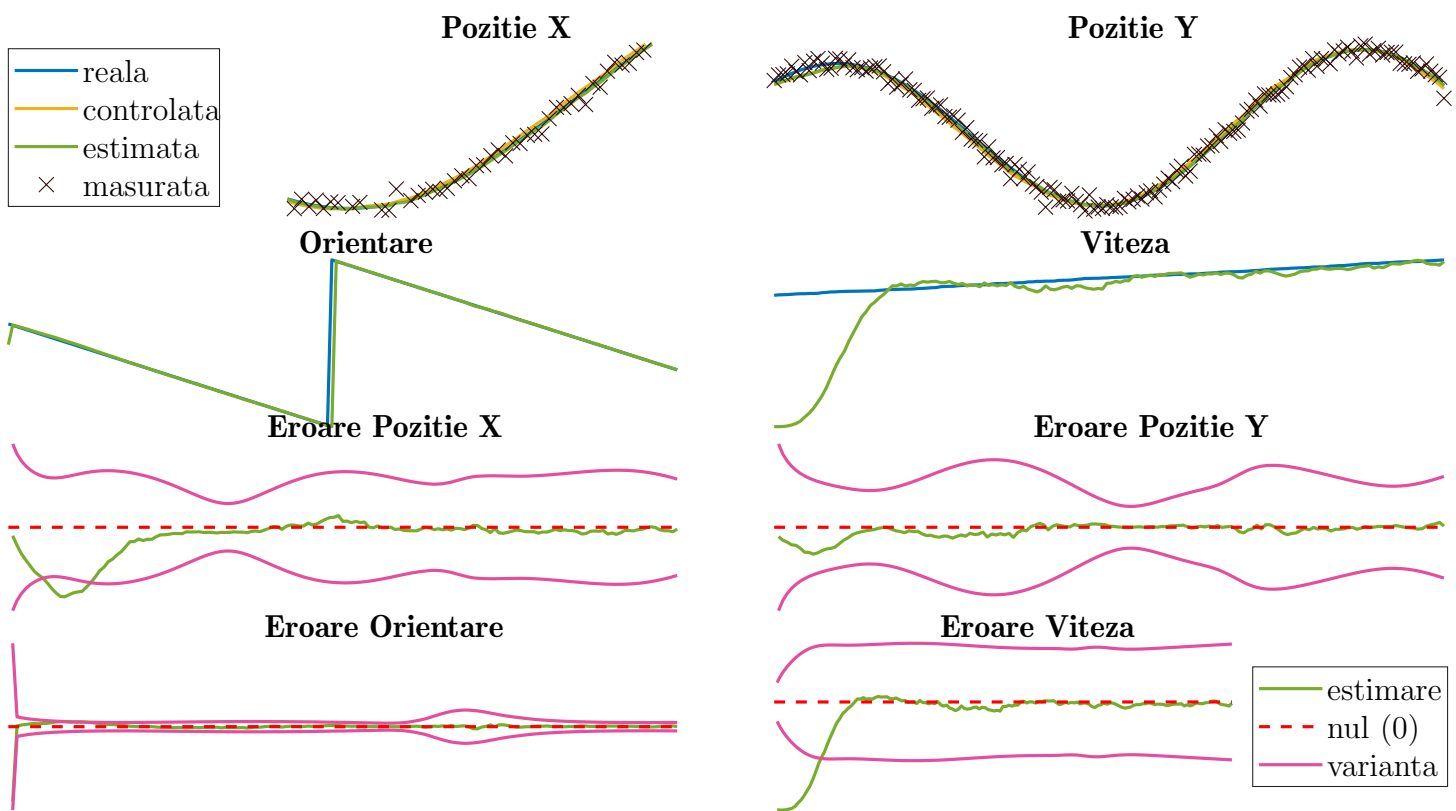


Figura 6.4: Filtrul Kalman extins+ SoNAR pentru o tracieotorie circulară

Orientarea și viteza par să fie estimate la fel de bine și fără ajutorul SoNAR-ului, dar, la o privire mai atentă, se poate constata că în al figura de sus doar o singură linie verticală este prezentă în graficul atitudinii, față de cele două din graficul precedent. Acest lucru înseamnă ca foca a reusit să efectueze un singur cerc complet înainte să piardă toate punctele de viată prin prindere (convergența estimatorului și a regulatorului), față de cele recordul anterior de două rotații complete.

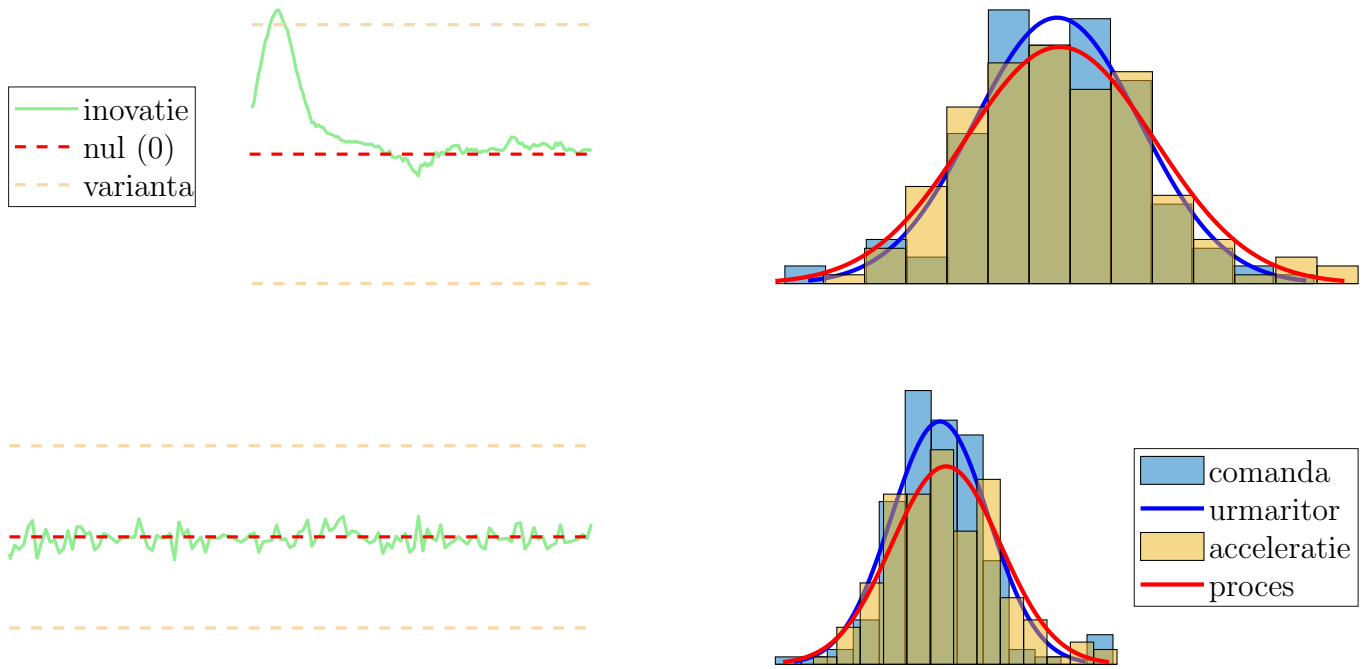


Figura 6.5: Filtrul Kalman + SoNAR extins pentru o tracieotorie circulară

Probabil cea mai pertinentă concluzie poate fi trasă prin analizarea figurii 6.5, unde, cu ajutorul celor patru grafice de performanță, se observă cum distribuția comenzi regulatorului o imită aproape perfect pe cea reală a accelerării aleatorii a procesului. De aici rezultă că rechinul nu depune un efort considerabil mai mare decât este necesar pentru a prinde foca, iar graficele din stânga figurii întăresc și mai mult această convingere prin expunerea erorilor. Inovația măsurătorilor este și de această dată zero-centrică, distribuită Gaussian, însă chiar mai mult, în plus față de rezultatul anterior, ea se regăsește foarte strict sub limita procesată în matricea S a covarianței erorilor, calculată prin considerația inițială a zgomotului de măsură R . Acest aspect relevă rolul vital jucat de măsurătorile exacte ale unui sonar comparativ cu cele foarte zgomotoase ale unui senzor de tip GPS în creșterea acurateții estimărilor.

Acest scenariu este probabil unul dintre cele mai bune care pot fi obținute pentru o traiectorie neliniară, însă procesul este în continuare deterministic prin natura sa, chiar dacă factorii structurali sunt stocastici. Un experiment mai apropiat de realitate trebuie să permită mișcării neliniare să iasă din repetitivitatea rotirii în cerc.

Am simulațat un astfel de model de mișcare pentru figura 6.6, unde se poate observa că orientarea obiectului nu mai este liniară nici măcar pe părți, și tocmai de aceea am ales să aplic transformata unscented estimatorului. Pentru că filtrele neliniare nu pot garanta convergență, a trebuit să acordez parametrii specific pentru acest tip de mișcare, ceea ce ar putea însemna că o structură generală nu poate fi oferită pentru toate mișcările posibile.

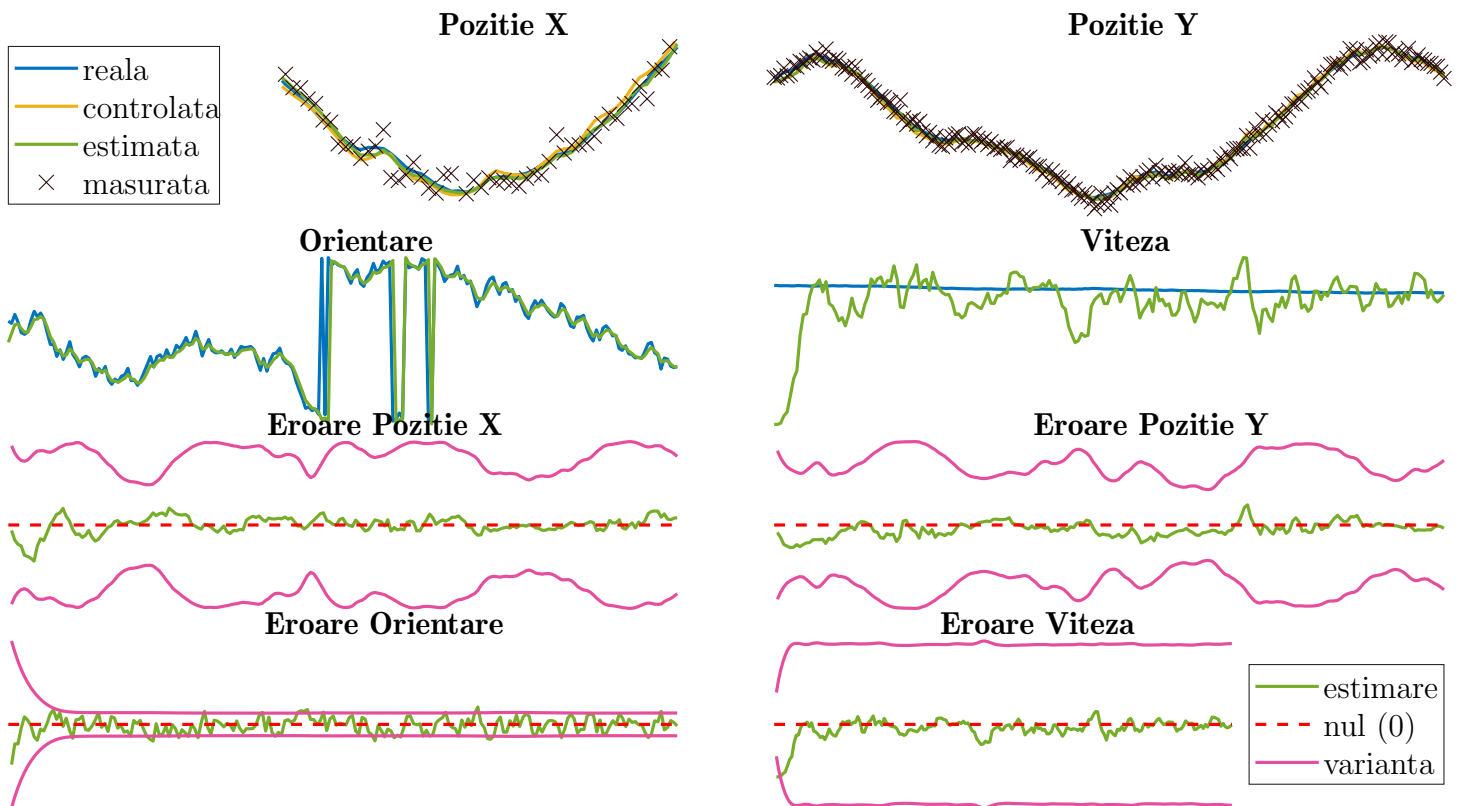


Figura 6.6: Filtrul Kalman unscented + SoNAR pentru o traiectorie aleatorie

După cum se observă, valoarea neglijabilă, cvasinulă a accelerării determină un comportament aproape constant al velocității, dar neliniaritatea puternică provine din schimbările brusăte de orientare. Acest exemplu nu ar fi invers (nu într-o perioadă de timp rezonabilă) fără intervenția sonarului în fază de corecție neliniară. Înținând cont că modelul mișcării în cauză prezintă cel mai înalt grad de stocasticitate, etapele de fluctuația ale varianțelor pozițiilor sunt și mai evidente decât în cazurile precedente. Evidentă în acest caz este și stabilitatea neclară a vitezei estimate comparativ cu cea adevărată, acest lucru fiind datorat creșterii zgromotului de proces prin acordarea filtrului.

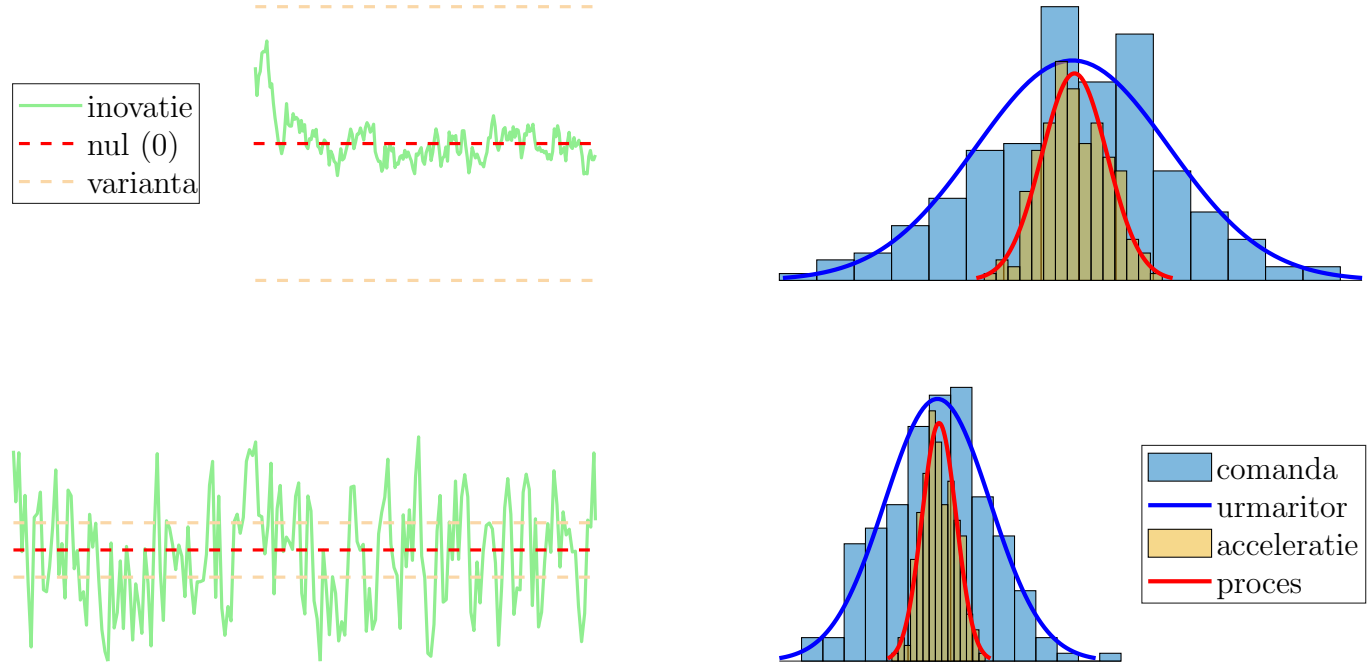


Figura 6.7: Filtrul Kalman unscented + SoNAR pentru o tracieotorie aleatorie

La fel de importante sunt și concluziile ce se pot trage din graficele puse la dispoziție în figura 6.7 Deși aspectul Gaussian este recuperat de distribuția comenzi regulatorului procesului urmăritor, distribuția în sine este mai lată, ceea ce denotă o abatere mai mare a comenzilor față de medie, făcând controlul dificil de implementat în practică. De data acesta, erorile măsurătorilor de pe axa Y nu au fost bine încadrate în varianță calculată pentru inovație, iar acest lucru se transpune în efortul pe care urmăritoul îl depune pentru a prinde victimă. Filtrul în cauză mai are nevoie să fie acordat, sau chiar modificat pentru a face față neliniarităților puternice prezente în proces.

Acest ultim exemplu de traiectorie este și cel relevant pentru mișcarea pe care o poate comanda un jucător, întrucât se așteaptă ca aceasta să fie oricără posibil, și de aceea, atât prin privirea aspectului teoretic, cât și prin demonstrațiile grafice din acest capitol, consider modelul extins augmentat al filtrului Kalman unscented cel mai fiabil pentru joc în sine.

Pentru algoritmul de fuziune al datelor de la giroscop și accelerometru am realizat o comparație cu funcția MATLAB preimplementată *imufilter* [73] care porcesează și fuzionează măsurătorile celor doi senzori. Am constatat că filtrul propriu rezolvă o problemă de latență în convergență estimărilor. Acest lucru se datorează faptului că funcția

oferită de toolbox-ul *Sensor fusion and Tracking* aplică un filtru dur rezultatelor pentru a garanta minimizarea erorii de estimare în favoarea vitezei.

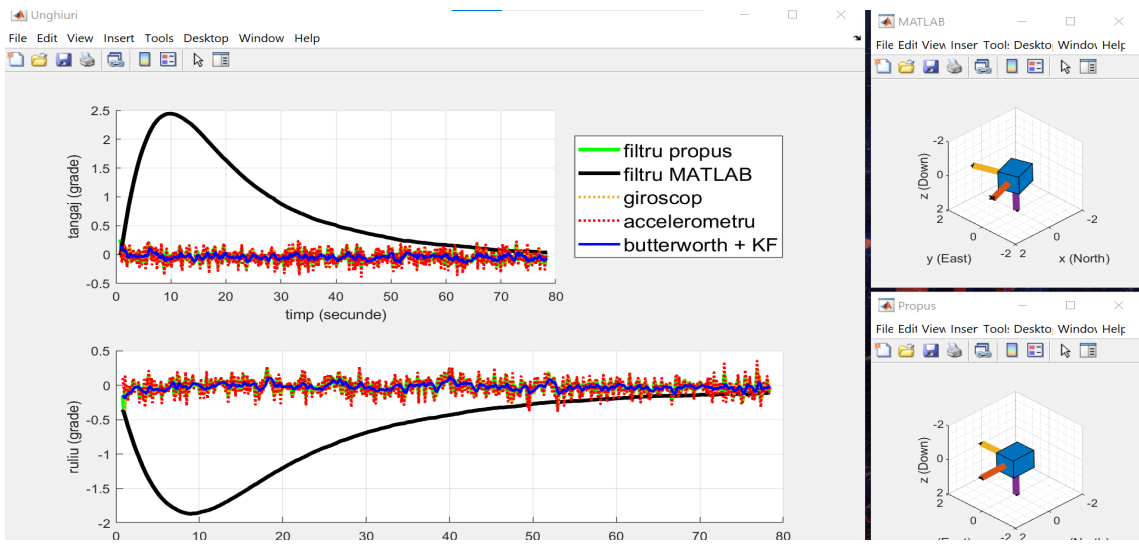


Figura 6.8: Fuziunea senzorială prin Kalman comparată cu măsurătorile individuale

Se poate vedea în figura 6.8 cum toate măsurătorile senzorului static converg la valoarea de 0, însă în cazul funcției *imufilter* acest lucru durează mai mult de un minut. Acest aspect este desigur inadmisibil pentru o aplicație de timp real, cum este și cazul jocului dezvoltat, și de aceea am ales să folosesc implementarea proprie.

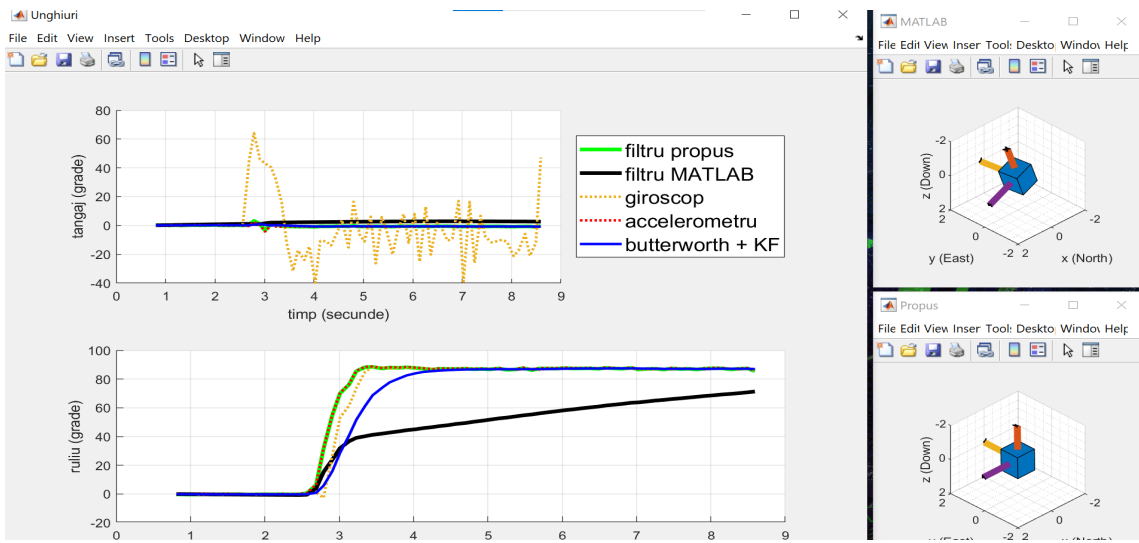


Figura 6.9: Fuziunea senzorială prin Kalman comparată cu măsurătorile individuale

Dezavantajul posibil obținut prin propria implementare este că fără un filtru suplimentar, orientarea poate fi greșit estimată din cauza zgomotului senzorilor. În cazul

figurii 6.9, se poate observa cum pentru o rotație bruscă pe axa unghiului de ruliu, giroscopul a integrat viteza de rotație mare măsurată și astfel estimările sale sunt eronate pentru axa de tangaj față de care senzorul era static. Această problemă poate fi rezolvată prin acordarea unei mai mari încrederi în măsurătorile accelerometrului prin diminuarea abaterilor matricei zgromotului de măsură R , sau similar prin mărirea elementelor matricei zgromotului de proces Q , ce modelează erorile giroscopului. Astfel se obține un rezultat satisfăcător, pentru care am aplicat un filtru propriu Butterworth, însă pe care am ales să nu îl folosesc în implementarea finală, dată fiind întârzierea de o secundă observabilă în figură.

Am comparat concret rezultatele obținute pentru senzorul static cu fiecare metodă folosind funcția *immse* [74] din toolbox-ul de procesare de imagini pus la dispoziție de MATLAB și am realizat astfel tabelul 6.1. Se poate constata că într-adervăr, datorită filtrării suplimentare, funcția *imufilter* este mai exactă. În afară de acest aspect, se poate vedea că fuziunea proprie a celor două măsurători independente de la giroscop și accelerometru oferă o estimare mai puțin eronată decât oricare senzor evaluat separat, ceea ce însemnă că scopul algoritmului a fost îndeplinit.

Eroarea medie pătratică			
Metodă	Fază	Ruliu	Tangaj
Giroscop - Integrare numerică	Predictie	0.0342	0.0081
Accelerometru - Înclinație	Corecție	0.0373	0.0141
Filtru Kalman cuaternioni	Fuziune	0.0307	0.0076
imufilter (MATLAB + toolbox)	Fuziune	0.0054	0.00065
Filtru propus + Butterworth	Filtru IIR	0.0255	0.0022

Tabelul 6.1: Analiză performanțe

Capitolul 7

Manual de Instalare și Utilizare

7.1 Resurse hardware

Pentru realizarea joystick-ului au fost folosite un microcontroller Arduino în combinație cu un modul de senzori MPU-6050 (accelerometru și giroscop triaxiale).

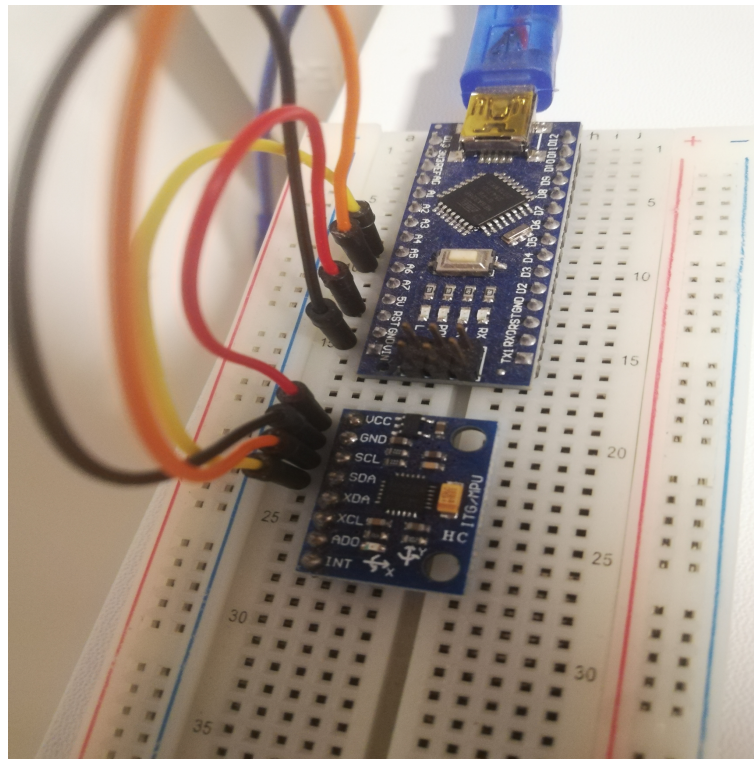


Figura 7.1: Configurație pini

Configurația se realizează conform figurii 7.1 și astfel se alcătuiesc conexiunile:

Arduino	MPU-6050
A5	SCL
A4	SDA
VCC	5V
GND	GND

Tabelul 7.1: Conexiune

7.2 Resurse software

Pentru implementarea aplicației a fost folosit programul MATLAB (versiunea 2020b) cu limbajul de programare intrinsec. Toolbox-urile extra folosite sunt *Control System Toolbox* pentru funcțiile *lqr* și *place*, *Statistics and Machine Learning Toolbox* pentru vizualizarea histogramelor, pachetul *MATLAB Support Package for Arduino Hardware* pentru conexiunea cu placă [75] și senzorii [76]. Optional pot fi folosite resursele din *Sensor Fusion and Tracking Toolbox* pentru vizualizarea 3D a orientării și *Image Processing Toolbox* pentru facilitarea calculării erorii medie pătratice. Restul funcționalităților sunt implementate propriei realizate doar cu pachetul individual pus la dispoziție și concepute cu ajutorul resurselor bibliografice.

Pentru rularea aplicației este necesar ca scripturile de jos să fie în același director:

- QuaternionKalmanFilterModel.m
- KalmanFilterModel.m
- VehicleModel2D.m
- ExtendedKalmanFilterModel.m
- ExtendedVehicleModel2D.m
- UnscentedKalmanFilterModel.m
- UnscentedVehicleModel2D.m
- SharkDrawer.m
- SealDrawer.m
- SeagullDrawer.m
- TrackerUI.m
- ObjectTracker.m

ObjectTracker.m este script-ul principal și singurul care trebuie apelat direct de către utilizator. *TrackerUI.m* este funcția responsabilă pentru realizarea interfeței grafice, în timp ce fișierele de tip *AnimalDrawer.m* desenează vectorial și integrează cele trei personaje în animația principală. Clasele filtrelor Kalman și ale diferitelor modele de mișcare sunt cele introduse în figura 5.6

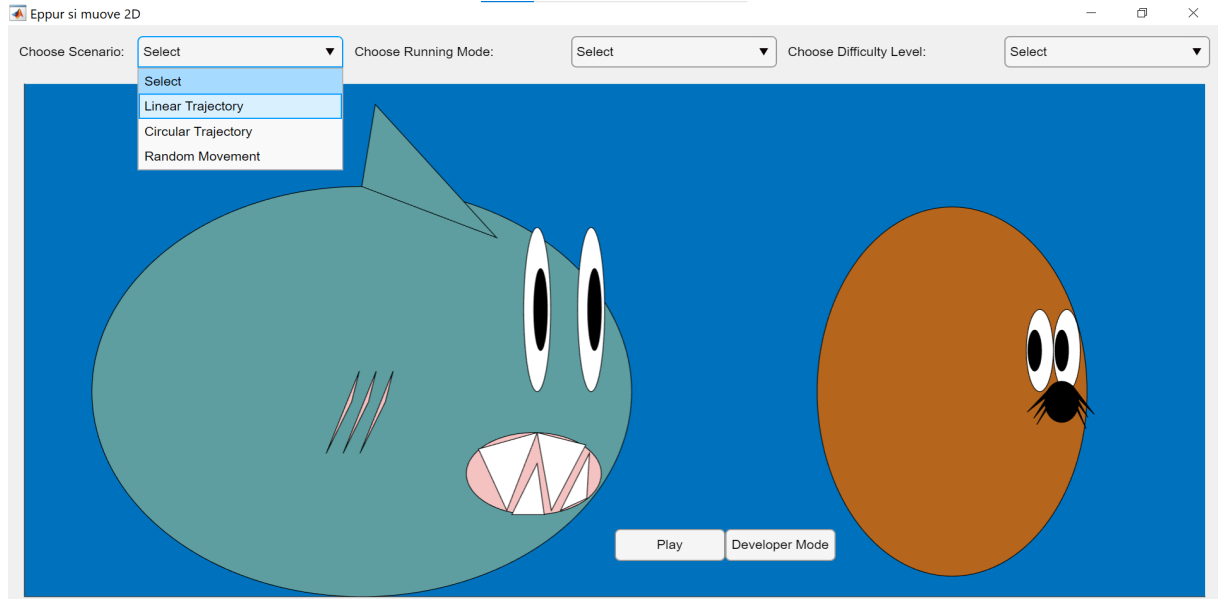


Figura 7.2: Alegere scenariu

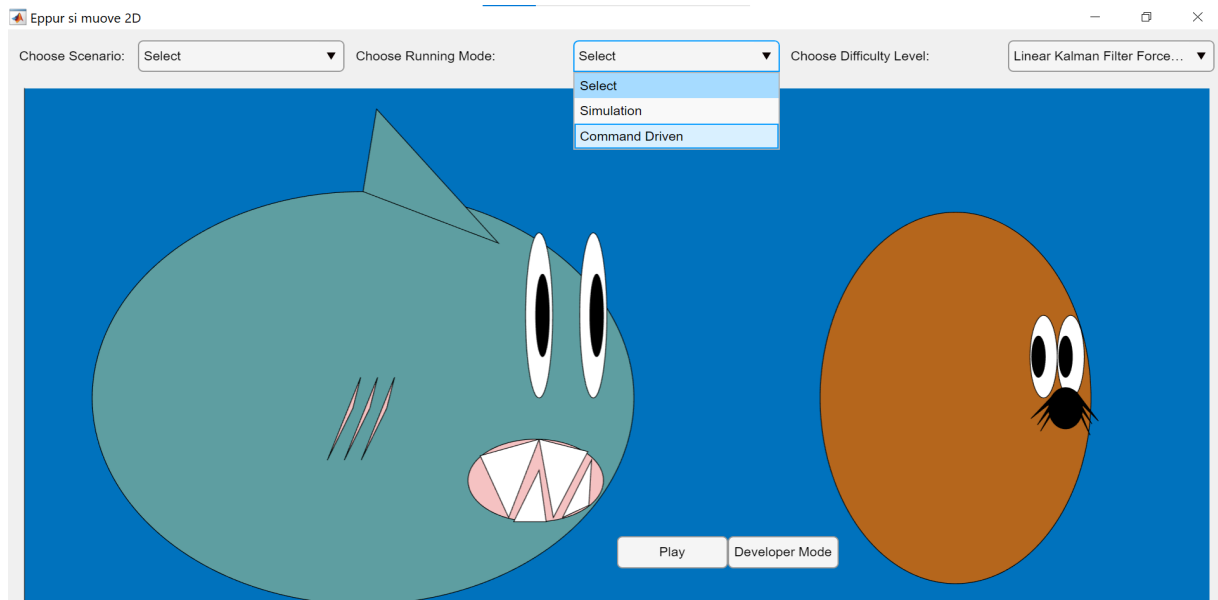


Figura 7.3: Alegere modalitate de joc

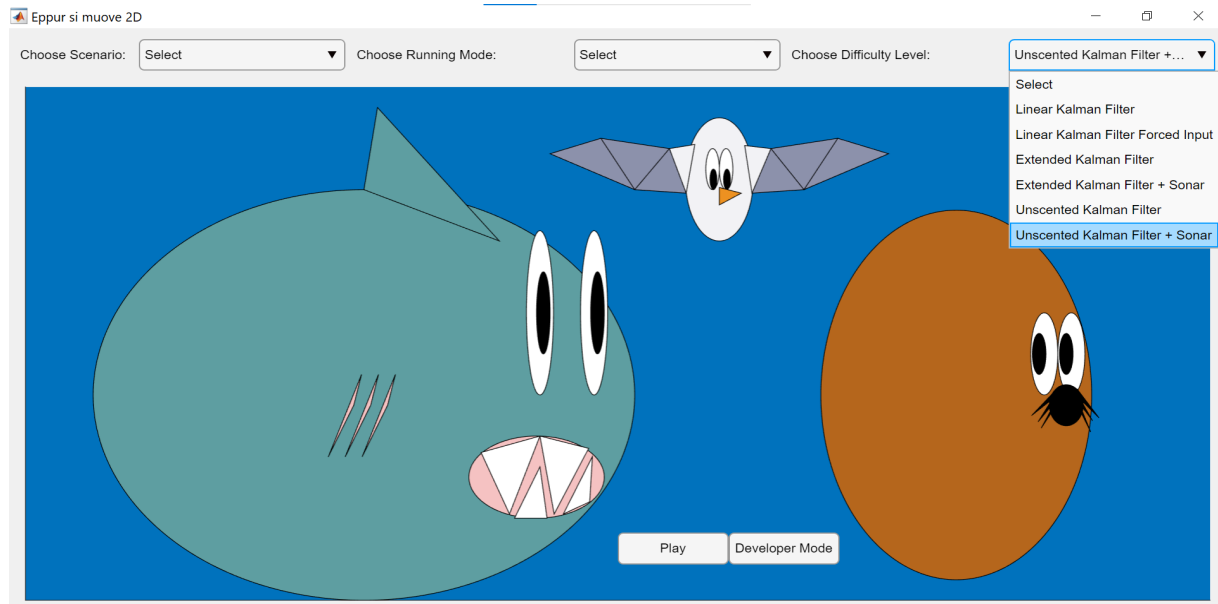


Figura 7.4: Alegere estimator

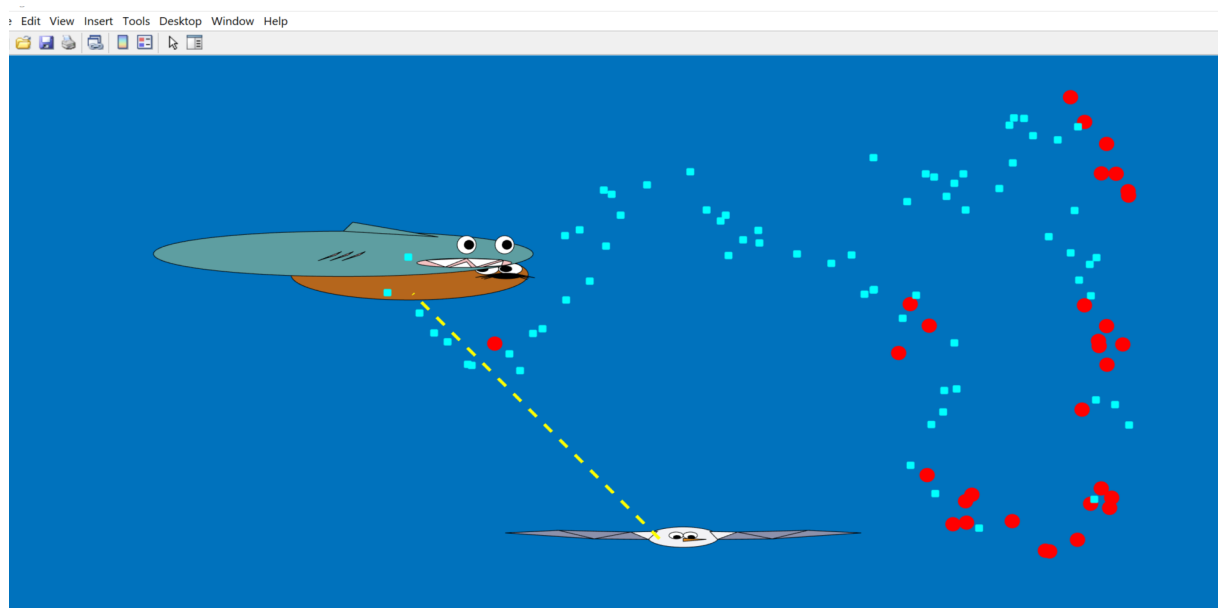


Figura 7.5: Desfășurare urmărire

Figurile 7.2, 7.3 și 7.4 prezintă opțiunile oferite utilizatorului de interfață grafică. Figura 7.5 prezintă o captură a animației din timpul urmăririi.

Capitolul 8

Concluzii

În încheierea acestei lucrări, doresc să expun o analiză critică a rezultatelor la care am ajuns până în acest punct, presupusă să întocmească o imagine a dezvoltărilor ulterioare pe care intenționez să le aduc proiectului prezent. Voi recapitula deci contribuțiile personale și rezultatele obținute în scopul sintetizării lucrării, dar și în vederea viitoarelor îmbunătățiri.

8.1 Contribuții

Am încercat prin prezenta lucrare o punere în practică a diverselor noțiuni teoretice regăsite în lista bibliografică referitoare la algoritmii de estimare și fuziune senzorială. Am oferit în acest sens o implementare personală în MATLAB pentru modele matematice deja existente în literatură sau în proiecte cu tematică, tehnologii sau limbaje diferite.

Am decis să dau o notă accesibilă conceptelor livrești prin scenariul ludic gândit pentru aplicație și am descoperit, în același timp, că un mediu de simulare poate fi folosit și pentru dezvoltarea unor aplicații diverse prin îmbinarea noțiunilor de teorie a sistemelor, controlului și estimării cu un limbaj de programare de nivel înalt, o interfeță grafică și o vizualizare dinamică a performanțelor.

Am oferit o soluție proprie pentru fuzionarea datelor de la un accelerometru și un giroscop organizând și punând cap la cap conceptele teoretice însușite din mai multe arii de interes. Această soluție s-a dovedit mai rapidă decât preimplementarea oferită de mediul de dezvoltare ales, dar nu la fel de exactă, și cu siguranță nu la fel de complexă.

Am reușit prin prezenta teză să adun conceptele teoretice pe care le-am învățat în acești ani universitari într-un singur loc, ce pot servi drept suport teoretic implementării unor viitoare aplicații.

8.2 Critică

Dezvoltarea aplicației prezente mi-a permis să observ, pe lângă performanțele algoritmilor folosiți, și diverse dezavantaje provenite din încercarea de a simplifica problematica pentru a ajunge la un rezultat dorit. Simularile dinamice și interfața animată dezvoltată mi-au permis să observ limitări într-un fel în care nu aş fi putut să o fac doar prin analiză teoretică.

Constat astfel cu un ochi critic că legile de control liniare folosite sunt limitate pentru scenariul prezent, urmăritorul nefăcând față de fiecare dată schimbărilor brusă de mișcare. Acest lucru este agravat de faptul că regulatoarele simulate dispun de niște performanțe care nici nu ar putea fi implementate în practică prin natura agresivității lor.

Analizând partea de estimare, constat cum imii neliniari nu performează pe atât de bine pe cum ar trebui. Deși într-adevăr convergența lor nu este garantată întrinsec, consider că implementări mult mai atente ar putea rezolva unele dintre prezentele probleme, cum ar fi convergența covarianței odată cu starea. Scenariul restrâns bidimensional, de asemenea, devine de la un anumit punct incapabil să reproducă realitatea. Măsurătorile de tip GPS în realitate nu apar pur și simplu pe hartă, ci sunt recepționate prin satelit, deci un estimator al lor de obicei funcționează tot prin filtrarea extinsă a unor coordonate transformate în polar. Modelul point cloud de reproducere al viziunii sonarului este cu mult simplificat față de viziunea computerizată oferită de tehnologii dominante în industrie precum senzorii LIDAR.

Pentru modulul de senzori MPU-6050 nu am oferit o estimare a unghiului de girotație, dar trebuie menționat că funcția MATLAB *imufilter* oferă una, chiar dacă nu este chiar exactă. Se poate deduce funcții trigonometrice pentru unghiul de înclinație al accelerometrului și viteza de rotație de pe axa Z a giroscopului poate fi integrată numeric în timp pentru a oferi o informație despre acesta, dar rezultatul nu era stabil prin lipsa referinței.

Poate chiar mai important, și de interes vital pentru o aplicație reală este faptul că senzorii nu prezintă o calibrare riguroasă, ci doar o eliminare a bias-ului printr-o citire offline anterioară. După cum am menționat și la începutul lucrării, calibrarea senzorilor inertiali ar putea constitui o teză în sine și cu siguranță reprezintă ceva ce va trebui analizat minuțios în detaliu. Dacă senzorii nu sunt calibrați corespunzător, un algoritm de fuziune nu ar trebui să intre încă în discuție.

De menționat este și că implementarea proprie a filtrului Kalman bazat pe cuaternioni este liniară, ceea ce înseamnă că estimatorul, deși garantat să conveargă, nu va capta întreaga dinamică a mișcărilor interceptate de senzori, iar acest lucru ar putea fi ușor depistabil într-o aplicație de scală mai largă.

8.3 Dezvoltare ulterioară

Analiza critică a limitărilor prezentei implementări constituie și punctul de plecare pentru viitoarele îmbunătățiri ale aplicației pe care le consider necesare în vederea realizării unui proiect de succes complet.

Doresc pe această cale să încep dezvoltarea unei aplicații cu o grafică mai avansată tridimensională, iar pentru acest lucru intenționez să folosesc medii de dezvoltare specifice jocurilor video (ex: unreal engine) cu limbaje de programare aferente (C_{++} , blueprints) pentru a oferi o perspectivă cât mai aproape de realitate a scenariului unei urmăriri.

Voi avea în vedere pentru imediata dezvoltare legi de control mai avansate, cum ar fi controlul predictiv bazat pe model (MPC) sau controlul prin inteligență artificială, iar pentru estimatoare voi încerca diferenți algoritmi de nivel înalt, cum ar fi filtrul de particule, sau algoritmi dedicați pentru SLAM.

Doresc de asemenea să achiziționez în viitorul apropiat un modul de senzori MPU-9050 ce extinde capacitatea actualului MPU-6050 folosit prin încorporarea unui magnetometru. În acest sens, intenționez să realizez o estimare completă în spațiul tridimensional al orientării pentru conceperea unui joystick mai avansat. Acest lucru va impune, bineînțeles, și augmentarea algoritmului prezent de fuziune senzorială prin adgarea unei noi faze de corecție care să adreseze noile măsrători.

Tot legat de acest aspect, consider că pot explora mai în detaliu avantajele folosirii cuaternionilor pentru reprezentarea orientării, încrucișând proiectul de față nu a intrat în profunzimea câștigurilor grafice ce pot fi realizate prin tehnici precum SLERP (interpolare sferică) pentru netezirea tranzițiilor dintre imaginile unei animații, iar acest lucru este cât se poate de realizabil cu fundamentalul teoretic pus la dispoziție de acestă lucrare.

Cel mai avansat obiectiv pe care doresc să îl realizez e includerea în scenariul urmăririi unor elemente de viziune computerizată, învățare inteligentă a unui traseu în scopul ocolirii unor obstacole sau eficientizării urmăririi. Doresc astfel să realizez un cadru teoretic complet pentru funcționarea vehiculelor autonome din actuala industrie emergentă.

Bibliografie

- [1] R. E. Kalman, "A New Approach to Linear Filtering and Prediction Problems,' *Journal of Basic Engineering*, vol. 82, no. 1, pp. 35–45, 03 1960. [Online]. Available: <https://doi.org/10.1115/1.3662552>
- [2] M. S. Grewal and A. P. Andrews, "Applications of kalman filtering in aerospace 1960 to the present [historical perspectives],' *IEEE Control Systems Magazine*, vol. 30, no. 3, pp. 69–78, 2010.
- [3] M. Thuy and F. Puente Leon, "Non-linear, shape independent object tracking based on 2d lidar data,' in *2009 IEEE Intelligent Vehicles Symposium*, 2009, pp. 532–537.
- [4] Y. Li and J. Ibanez-Guzman, "Lidar for autonomous driving: The principles, challenges, and trends for automotive lidar and perception systems,' *IEEE Signal Processing Magazine*, vol. 37, no. 4, pp. 50–61, 2020.
- [5] H. Lee, H. Chae, and K. Yi, "A geometric model based 2d lidar/radar sensor fusion for tracking surrounding vehicles,' *IFAC-PapersOnLine*, vol. 52, no. 8, pp. 130–135, 2019, 10th IFAC Symposium on Intelligent Autonomous Vehicles IAV 2019. [Online]. Available: <https://www.sciencedirect.com/science/article/pii/S2405896319303908>
- [6] M. d. F. Coelho, K. Bousson, and K. Ahmed, "An improved extended kalman filter for radar tracking of satellite trajectories,' *Designs*, vol. 5, no. 3, 2021. [Online]. Available: <https://www.mdpi.com/2411-9660/5/3/54>
- [7] M. Wang, C. Xu, C. Zhou, Y. Gong, and B. Qiu, "Study on underwater target tracking technology based on an lstmndash;kalman filtering method,' *Applied Sciences*, vol. 12, no. 10, 2022. [Online]. Available: <https://www.mdpi.com/2076-3417/12/10/5233>
- [8] D. Z. Wang, I. Posner, and P. Newman, "Model-free detection and tracking of dynamic objects with 2d lidar,' *The International Journal of Robotics Research*, vol. 34, no. 7, pp. 1039–1063, 2015. [Online]. Available: <https://doi.org/10.1177/0278364914562237>
- [9] S. Julier and J. Uhlmann, "Unscented filtering and nonlinear estimation,' *Proceedings of the IEEE*, vol. 92, no. 3, pp. 401–422, 2004.

- [10] E. Wan and R. Van Der Merwe, "The unscented kalman filter for nonlinear estimation,' in *Proceedings of the IEEE 2000 Adaptive Systems for Signal Processing, Communications, and Control Symposium (Cat. No.00EX373)*, 2000, pp. 153–158.
- [11] S. Yang and M. Baum, "Extended kalman filter for extended object tracking,' in *2017 IEEE International Conference on Acoustics, Speech and Signal Processing (ICASSP)*, 2017, pp. 4386–4390.
- [12] D. Ravi Kumar, "Hybrid unscented kalman filter with rare features for underwater target tracking using passive sonar measurements,' *Optik*, vol. 226, p. 165813, 2021. [Online]. Available: <https://www.sciencedirect.com/science/article/pii/S0030402620316363>
- [13] A. Salcedo-Bosch, F. Rocadenbosch, and J. Sospedra, "A robust adaptive unscented kalman filter for floating doppler wind-lidar motion correction,' *Remote Sensing*, vol. 13, no. 20, 2021. [Online]. Available: <https://www.mdpi.com/2072-4292/13/20/4167>
- [14] Z. Liu, Y. Chen, and Y. Lu, "Mid-state kalman filter for nonlinear problems,' *Sensors*, vol. 22, no. 4, 2022. [Online]. Available: <https://www.mdpi.com/1424-8220/22/4/1302>
- [15] D. J. Yeong, G. Velasco-Hernandez, J. Barry, and J. Walsh, "Sensor and sensor fusion technology in autonomous vehicles: A review,' *Sensors*, vol. 21, no. 6, 2021. [Online]. Available: <https://www.mdpi.com/1424-8220/21/6/2140>
- [16] M. L. Fung, M. Z. Q. Chen, and Y. H. Chen, "Sensor fusion: A review of methods and applications,' in *2017 29th Chinese Control And Decision Conference (CCDC)*, 2017, pp. 3853–3860.
- [17] S. Gervais-Ducouret, "Next smart sensors generation,' in *2011 IEEE Sensors Applications Symposium*, 2011, pp. 193–196.
- [18] V. M. N. Passaro, A. Cuccovillo, L. Vaiani, M. De Carlo, and C. E. Campanella, "Gyroscope technology and applications: A review in the industrial perspective,' *Sensors*, vol. 17, no. 10, 2017. [Online]. Available: <https://www.mdpi.com/1424-8220/17/10/2284>
- [19] P. Gui, L. Tang, and S. Mukhopadhyay, "Mems based imu for tilting measurement: Comparison of complementary and kalman filter based data fusion,' in *2015 IEEE 10th Conference on Industrial Electronics and Applications (ICIEA)*, 2015, pp. 2004–2009.
- [20] I. Faisal, T. Purboyo, and A. Ansori, "A review of accelerometer sensor and gyroscope sensor in imu sensors on motion capture,' *Journal of Engineering and Applied Sciences*, vol. 15, pp. 826–829, 11 2019.

- [21] V. Renaudin, M. H. Afzal, and G. Lachapelle, "New method for magnetometers based orientation estimation,' in *IEEE/ION Position, Location and Navigation Symposium*, 2010, pp. 348–356.
- [22] P. Neto, "Kalman filter-based yaw angle estimation by fusing inertial and magnetic sensing: a case study using low cost sensors,' *Sensor Review*, vol. 35, pp. 244–250, 06 2015.
- [23] J. Diebel, "Representing attitude: Euler angles, unit quaternions, and rotation vectors,' *Matrix*, vol. 58, 01 2006.
- [24] Y.-B. Jia, "Quaternions and rotations *,' 2015.
- [25] L. Perumal, "Quaternion and its application in rotation using sets of regions,' *International Journal of Engineering and Technology Innovation (IJETI)*, vol. 1, pp. 35–52, 10 2011.
- [26] S. Sarabandi and F. Thomas, "Accurate computation of quaternions from rotation matrices,' in *Advances in Robot Kinematics 2018*, J. Lenarcic and V. Parenti-Castelli, Eds. Cham: Springer International Publishing, 2019, pp. 39–46.
- [27] D. Choukroun, I. Bar-itzhack, and Y. Oshman, "A novel quaternion kalman filter,' *Aerospace and Electronic Systems, IEEE Transactions on*, vol. 42, pp. 174 – 190, 02 2006.
- [28] E. Kraft, "A quaternion-based unscented kalman filter for orientation tracking,' in *Sixth International Conference of Information Fusion, 2003. Proceedings of the*, vol. 1, 2003, pp. 47–54.
- [29] F. Abyarjoo, A. Barreto, J. Cofino, and F. R. Ortega, "Implementing a sensor fusion algorithm for 3d orientation detection with inertial/magnetic sensors,' in *Innovations and Advances in Computing, Informatics, Systems Sciences, Networking and Engineering*, T. Sobh and K. Elleithy, Eds. Cham: Springer International Publishing, 2015, pp. 305–310.
- [30] D. Royo Serrano, "Development of a calibration procedure for gyroscopes in cubesat missions,' Master's thesis, Luleå University of Technology, Space Technology, 2021.
- [31] L. Aguirre, "Controllability and observability of linear systems: some noninvariant aspects,' *Education, IEEE Transactions on*, vol. 38, pp. 33 – 39, 03 1995.
- [32] C.-H. Lien, "Robust observer-based control of systems with state perturbations via lmi approach,' *Automatic Control, IEEE Transactions on*, vol. 49, pp. 1365 – 1370, 09 2004.

- [33] "Pole Placement," http://lendek.net/teaching/EC/ch4_poles.pdf, accessed: 2022-06-11.
- [34] "Estimarea unei intrari necunoscute," http://lendek.net/teaching/EC/ec_lab8ro.pdf, accessed: 2022-06-12.
- [35] "control.place - Python Control Systems," <https://python-control.readthedocs.io/en/latest/generated/control.place.html>, accessed: 2022-06-18.
- [36] D. Luenberger, "Observers for multivariable systems," *Automatic Control, IEEE Transactions on*, vol. AC-11, pp. 190 – 197, 05 1966.
- [37] D. Luenberger, "An introduction to observers," *Automatic Control, IEEE Transactions on*, vol. 16, pp. 596 – 602, 01 1972.
- [38] "Decuplarea intrarilor necunoscute," http://lendek.net/teaching/EC/ec_lab9ro.pdf, accessed: 2022-06-12.
- [39] A. Islam, "A comparative study on numerical solutions of initial value problems (ivp) for ordinary differential equations (ode) with euler and runge kutta methods," *American Journal of Computational Mathematics*, vol. 05, pp. 393–404, 01 2015.
- [40] "Multidimensional Kalman Filter," <https://www.kalmanfilter.net/kalmanmulti.html>, accessed: 2022-06-13.
- [41] P. Rocchi and M. Burgin, "An essay on the prerequisites for the probability theory," *Advances in Pure Mathematics*, vol. 10, pp. 685–698, 01 2020.
- [42] T. Verhoeff, "The laws of large numbers compared," 05 2003.
- [43] S. Kwak and J. Kim, "Central limit theorem: The cornerstone of modern statistics," *Korean Journal of Anesthesiology*, vol. 70, p. 144, 04 2017.
- [44] L. da F. Costa, "Comparing probability densities: A comparative approach," 05 2022.
- [45] "Background Break," <https://www.kalmanfilter.net/background2.html#covExp>, accessed: 2022-06-14.
- [46] M. Boutahar and D. Pommeret, "Testing for equality between two transformations of random variables," 10 2011.
- [47] "Covariance Extrapolation Equation," <https://www.kalmanfilter.net/covextrap.html>, accessed: 2022-06-13.
- [48] A. Long, "Linear regression and non-linear regression," 11 2016.

- [49] S. A. van de Geer, *Least Squares Estimation*. John Wiley Sons, Ltd, 2005. [Online]. Available: <https://onlinelibrary.wiley.com/doi/abs/10.1002/0470013192.bsa199>
- [50] M. Kong, D. Li, and D. Zhang, "Research on the application of improved least square method in linear fitting,' *IOP Conference Series: Earth and Environmental Science*, vol. 252, p. 052158, 07 2019.
- [51] J. Romano and M. Wolf, "Resurrecting weighted least squares,' *Journal of Econometrics*, vol. 197, 12 2014.
- [52] "Kalman Filter in One Dimension,' <https://www.kalmanfilter.net/kalman1d.html>, accessed: 2022-06-14.
- [53] "Covariance Update Equation,' <https://www.kalmanfilter.net/covUpdate.html>, accessed: 2022-06-14.
- [54] M. Thuy and F. Puente León, "Non-linear multimodal object tracking based on 2d lidar data,' *Metrology and Measurement Systems*, vol. Vol. 16, nr 3, pp. 359–369, 2009.
- [55] H. Qi and J. B. Moore, "2 a direct kalman filtering approach for gpwins integration,' 1998.
- [56] P. Gibbens and S. Dumble, "Efficient terrain-aided visual horizon based attitude estimation and localization,' *Journal of Intelligent and Robotic Systems*, vol. 78, 03 2014.
- [57] D. Inaibo, "Design of extended kalman filter for object position tracking,' *International Journal of Engineering Research and*, vol. V7, 07 2018.
- [58] "Using an Extended Kalman Filter for Object Tracking in Simulink,' <https://www.goddardconsulting.ca/simulink-extended-kalman-filter-tracking.html>, accessed: 2022-06-14.
- [59] H. Durrant-Whyte and T. Bailey, "Simultaneous localization and mapping: part i,' *IEEE Robotics Automation Magazine*, vol. 13, no. 2, pp. 99–110, 2006.
- [60] "First-Hand:The Unscented Transform,' https://ethw.org/First-Hand:The_Unscented_Transform, accessed: 2022-06-17.
- [61] "How to draw a covariance error ellipse?' <https://www.visiondummy.com/2014/04/draw-error-ellipse-representing-covariance-matrix/>, accessed: 2022-06-17.
- [62] "Pole placement design,' <https://www.mathworks.com/help/control/ref/place.html>, accessed: 2022-06-18.
- [63] "Linear-quadratic state feedback regulator for discrete time state-space systems,' <https://www.mathworks.com/help/control/ref/dlqr.html>, accessed: 2022-06-18.

- [64] N. H. Hughes, "Quaternion to euler angle conversion for arbitrary rotation sequence using geometric methods," 2009.
- [65] "Complete Guide to Rotations and Transformations," <https://www.udemy.com/course/complete-guide-to-rotations-and-transformations/>, accessed: 2021-12-20.
- [66] Z. Wu, Z. Sun, W. Zhang, and Q. Chen, "Attitude and gyro bias estimation by the rotation of an inertial measurement unit," *Measurement Science and Technology*, vol. 26, p. 125102, 12 2015.
- [67] "MPU-6050 Datasheet," <https://invensense.tdk.com/wp-content/uploads/2015/02/MPU-6000-Datasheet1.pdf>, accessed: 2022-06-20.
- [68] "Butterworth filter design," <https://www.mathworks.com/help/signal/ref/butter.html>, accessed: 2022-06-20.
- [69] "Advanced Kalman Filtering and Sensor Fusion," <https://github.com/technitute/AKFSF-Simulation-CPP/tree/main/src>, accessed: 2022-06-20.
- [70] "The Handle Superclass," https://www.mathworks.com/help/matlab/matlab_oop/the-handle-superclass.html, accessed: 2022-06-20.
- [71] "random normal distribution," <https://www.mathworks.com/help/matlab/ref/randn.html>, accessed: 2022-06-20.
- [72] "Wrap angle to 180 degrees," <https://www.mathworks.com/help/map/ref/wrapto180.html>, accessed: 2022-06-20.
- [73] "Orientation from accelerometer and gyroscope readings," <https://www.mathworks.com/help/fusion/ref/imufilter-system-object.html>, accessed: 2022-06-20.
- [74] "Mean-squared error," <https://www.mathworks.com/help/images/ref/immse.html>, accessed: 2022-06-22.
- [75] "Connection to the Arduino and Arduino-compatible ESP32 hardware," <https://www.mathworks.com/help/supportpkg/arduinoio/ref/arduino.html>, accessed: 2022-06-21.
- [76] "Connect to MPU-6050 sensor on Arduino hardware I2C bus," <https://www.mathworks.com/help/supportpkg/arduinoio/ref/mpu6050-system-object.html>, accessed: 2022-06-21.

Anexa A

Clasa UKF - Implementare în MATLAB

```
classdef UnscentedKalmanFilterModel < handle

properties
    H
    Q
    R
    state
    covariance
    innovation
    innovation_covariance
    sigma_points
    weights
    augmented_state
    augmented_covariance
end

methods

    function [obj] = UnscentedKalmanFilterModel()
        obj.state = [];
        obj.covariance = zeros(4,4);
        obj.innovation = [];
        obj.innovation_covariance = [];
        obj.sigma_points = [];
        obj.weights = [];
        obj.augmented_state = [];
        obj.augmented_covariance = [];
    end

    function [obj] = sigma_generation(obj)
        number_of_states = size(obj.augmented_state,2);
        kappa = 3 - number_of_states;
        root_cov = sqrtm(obj.augmented_covariance);
        sigma0 = obj.augmented_state;
        sigma{1} = sigma0;
        for i = 1 : number_of_states
            obj.sigma_points{i} = obj.augmented_state + sqrt(kappa + number_of_states) * root_cov(i,:);
            obj.sigma_points{number_of_states + i} = obj.augmented_state - sqrt(kappa + number_of_states) * root_cov(i,:);
        end
        for i = 2 : 2 * number_of_states + 1
            sigma{i} = obj.sigma_points{i-1};
        end
        obj.sigma_points = sigma;
    end

    function [obj] = weight_generation(obj)
        number_of_states = size(obj.augmented_state,2);
        kappa = 3 - number_of_states;
        w0 = kappa / (kappa + number_of_states);
        wi = 0.5 / (kappa + number_of_states);
        obj.weights(1) = w0;
        for i = 2 : 2 * number_of_states + 1
            obj.weights(i) = wi;
        end
    end
end
```

```

function [obj] = initialise(obj, accel_std, yaw_std, meas_std, init_on_meas, p_std, v_std, y_std, measurement, varargin)
    obj.H = [1 0 0 0;
              0 1 0 0];
    obj.Q = diag([0.001, 0.001, yaw_std*yaw_std, accel_std*accel_std]);
    obj.R = diag([meas_std*meas_std, meas_std*meas_std]);

    if init_on_meas == false
        obj.state = [0 0 0 0];
        obj.covariance = diag([p_std*p_std, p_std*p_std, y_std*y_std, v_std*v_std]);
    else
        obj.state = [measurement(1) measurement(2) 0 0];
        obj.covariance = diag([p_std*p_std, p_std*p_std, y_std*y_std, v_std*v_std]);
    end
end

function [obj] = prediction_step(obj, time_step, yaw_rate)
    dt = time_step;

    if ~isempty(obj.state)
        x = obj.state;

        P = obj.covariance;
        number_of_states = size(x,2);
        P_aug = blkdiag(P, obj.Q, obj.R);

        obj.augmented_covariance = P_aug;
        obj.augmented_state = [x, 0, 0, 0, 0, 0, 0];

        obj.sigma_generation();
        obj.weight_generation();

        sigma_points_predict = [];

        for i = 1 : size(obj.sigma_points,2)
            px = obj.sigma_points{i}(1);
            py = obj.sigma_points{i}(2);
            psi = obj.sigma_points{i}(3);
            v = obj.sigma_points{i}(4);
            yaw_rate_noise = obj.sigma_points{i}(7);
            accel_noise = obj.sigma_points{i}(8);

            px_upd = px + dt * v * cos(psi) + obj.sigma_points{i}(5);
            py_upd = py + dt * v * sin(psi) + obj.sigma_points{i}(6);
            psi_upd = psi + (yaw_rate_noise + yaw_rate) * dt ;
            v_upd = v + accel_noise * dt ;

            sigma_points_predict{i} = [px_upd, py_upd, psi_upd, v_upd];
        end

        x_predict = zeros(1, number_of_states);
        for i = 1 : size(sigma_points_predict,2)
            x_predict = x_predict+ obj.weights(i) * sigma_points_predict{i};
        end

        P_predict = zeros(number_of_states, number_of_states);
        for i = 1 : size(sigma_points_predict,2)
            deviation = sigma_points_predict{i} - x_predict;
            P_predict = P_predict + (obj.weights(i) * (deviation' * deviation));
        end

        obj.state = x_predict;
        obj.covariance = P_predict;
    end
end

function [obj] = update_step_linear(obj, measurement)
    if ~isempty(obj.state) && ~isempty(obj.covariance)
        x = obj.state;
        P = obj.covariance;
        H = obj.H;
        R = obj.R;

        z = [measurement(1), measurement(2)];
        z_hat = H * x';
        z_hat = z_hat';

        y = z - z_hat;
        S = H*P*H' + R;
        K = P*H'/S;

        x_update = x + (K * y)';
    end
end

```

```

P_update = P - K*H*P;

obj.innovation = y;
obj.innovation_covariance = S;
obj.state = x_update;
obj.covariance = P_update;

else
    obj.state = ([measurement(1), measurement(2), 0, 0]);
    obj.covariance = diag([obj.R(1,1), obj.R(2,2), 0.5, 0.5]);
end

function [obj] = update_step(obj, sight_x, sight_y, range, heading, range_std, heading_std)
if ~isempty(obj.state) && ~isempty(obj.covariance)
    x = obj.state;
    P = obj.covariance;
    z = [range, heading];
    R_polar = diag([range_std*range_std; heading_std*heading_std]);
    number_of_states = size(x,2);
    noise_vars = 2;
    P_aug = blkdiag(P, obj.Q, R_polar);
    obj.augmented_covariance = P_aug;
    obj.augmented_state = [x, 0, 0, 0, 0, 0];
    obj.sigma-generation()

    z_sigma = [];

    for i = 1 : size(obj.sigma_points,2)
        px = obj.sigma_points{i}(1);
        py = obj.sigma_points{i}(2);
        psi = obj.sigma_points{i}(3);
        range_noise = obj.sigma_points{i}(9);
        heading_noise = obj.sigma_points{i}(10);

        dx = sight_x - px;
        dy = sight_y - py;
        line_of_sight = sqrt(dx^2 + dy^2) + range_noise;
        orientation = atan2(dy,dx) - psi + heading_noise;

        z_sigma{i} = [line_of_sight, orientation];
    end

    z_mean = zeros(1,2);
    for i = 1 : size(z_sigma,2)
        z_mean = z_mean + obj.weights(i)* z_sigma{i};
    end

    S = zeros(noise_vars, noise_vars);

    for i = 1 : size(z_sigma,2)
        deviation = z_sigma{i} - z_mean;
        S = S + obj.weights(i) * (deviation' * deviation);
    end

    crossCov = zeros(number_of_states, noise_vars);

    for i = 1 : 2 * 4 + 2
        state_dev = obj.sigma_points{i}(1:4) - x;
        meas_dev = z_sigma{i} - z_mean;
        crossCov = crossCov + obj.weights(i) * state_dev' * meas_dev;
    end

    K = crossCov/S;
    y = z - z_mean;
    x_update = x + (K * y)';
    P_update = P - K*S*K';

    obj.innovation = y;
    obj.innovation_covariance = S;
    obj.state = x_update;
    obj.covariance = P_update;
end
end
end

```

Anexa B

Calibrarea giroscopului prin învățare automată

Întrucât nu am epuizat subiectul calibrării senzorilor folosiți în lucrarea propriu-zisă, am decis să dedic această anexă pentru redijarea complexului fenomen, deoarece consider că înțelegerea lui nu poate fi privită unilateral fată de algoritmii de fuziune senzorială.

Măsurătorile senzorilor giroscopici sunt afectate de temperatură¹, iar acest lucru provoacă fenomenul de *drift* menționat la începutul lucrării. De obicei, dacă temperatura senzorului sau a plăcii de care este atașat crește constant, atunci și *drift-ul* va crește constant, și poate fi aproimat simplu printr-o regresie liniară (4.90) - (4.102), sau integrat în vectorul de stare al filtrului Kalman pentru a fi estimat odată cu orientarea.

Doresc să prezint însă în această parte a lucrării un caz neliniar de creștere a temperaturii ce produce ridicări și scăderi în media măsurătorilor pentru o perioadă mai lungă de timp. Am realizat astfel un experiment prin pornirea și oprirea unui ventilator extern pentru laptopul la care erau conectate placa de dezvoltare și modulul de senzori și am înregistrat datele citite de la senzori pentru 30000 de iterații (aproximativ 60 de minute).

Se poate constata cum măsurătorile giroscopului de pe axa X au fost deviate în figura B.1. Măsurătorile accelerometrului în schimb nu au fost deloc afectate de schimbarea de temperatură pentru nicio din trei axe. Pentru că zgromotul prezent era mult prea mare, am aplicat setului de date un filtru de mediere pentru o fereastră de ±10 valori, și am testat experimentul doar pentru axa ruliu:

$$f(X) = \frac{\sum_{i=t-10}^{t+10} X_i}{2 \times 10 + 1} \quad (\text{B.1})$$

¹Nez, Alexis Fradet, Laetitia & Laguillaumie, Pierre Monnet, Tony Lacouture, Patrick. (2018). Simple and efficient thermal calibration for MEMS gyroscopes. Medical Engineering Physics. 55.10.1016/j.medengphy.2018.03.002.

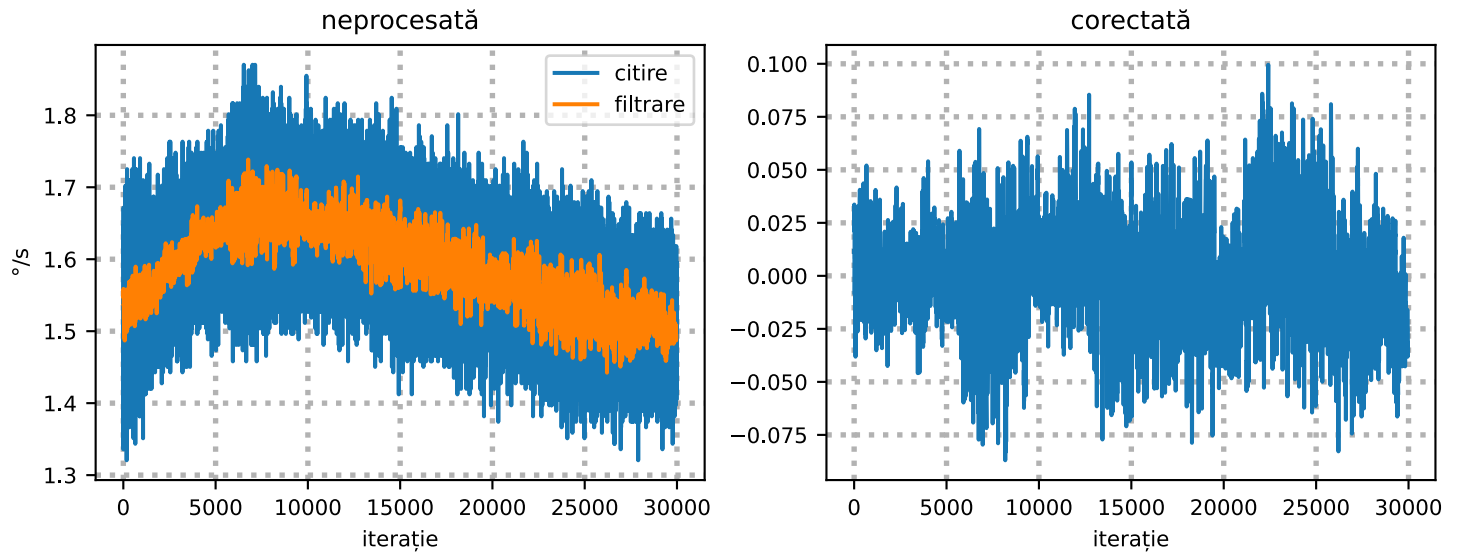


Figura B.1: Corecție măsurători

Am proiectat apoi pentru datele filtrate o rețea neuronală cu ajutorul submodulului *nn* din PyTorch folosind funcții de activare liniare de bază și funcția ReLU² (Rectified Linear Unit) pentru a putea descoperi neliniaritățile în propagarea rețelei înapoi.

Pentru ca rețeaua să fie capabilă să mimeze toate irregularitățile prezente a fost nevoie de introducere unui număr mare de neuroni pentru straturile ascunse, și am găsit empiric că un număr potrivit este de 25 de neuroni ca lățime pentru o adâncime de două straturi suplimentare. Am conceput astfel rețeaua neuronală conform figurii B.2³:

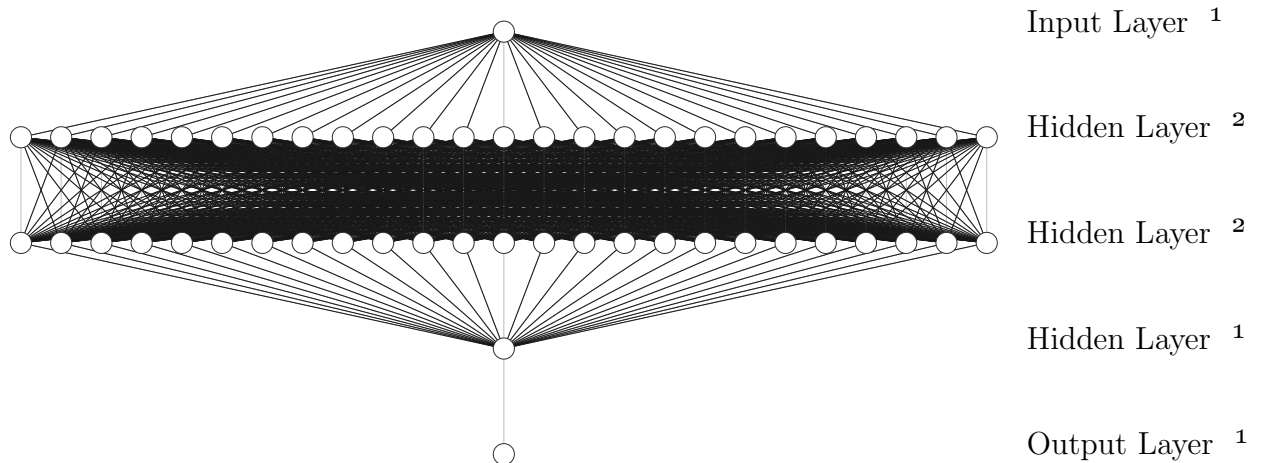


Figura B.2: Rețea neuronală

²<https://pytorch.org/docs/stable/generated/torch.nn.ReLU.html>

³<https://alexlenail.me/NN-SVG/index.html>

Unde penultimul strat ascuns format dintr-un singur neuron are doar rolul să mai treacă o dată rezultatul prin activarea neliniară înainte de procesarea finală. Astfel, pentru un neuron de la intrare (pentru un element din vectorul de date) se repetă propagarea până la obținerea rezultatului (neuronul de ieșire, valoarea punctului transformată).

Deoarece corelația dintre doi vectori poate fi obținută prin calcularea erorii dintre fiecare element asociat unei iterații specifice, am ales să folosesc funcție *MSELoss*⁴ ce returnează eroarea medie pătratică dintre vectorul inițial și rezultatul procesat. Astfel, am proiectat algoritmul în felul următor:

Algorithm 1 Propagare rețea neuronală (Pseudo-Python)

Require: x = vector iterații, y = vector valori giro
Ensure: $y, x = \text{float} \wedge y, x = \text{torch.tensor}$
Ensure: *MSELoss()*
Ensure: *nn(Linear(1, 25), ReLU(), Linear(25, 25), ReLU(), Linear(25, 1), ReLU(), Linear(1, 1))*
Ensure: Optimizator = Stochastic Gradient Descent

$$\begin{aligned} pas &\leftarrow 0.05 \\ epoci &\leftarrow 700 \\ \text{for } (\text{epocă din epoci}) \text{ do} \\ &\quad \hat{y} \leftarrow nn(x) \\ &\quad \text{MSELoss}(\hat{y}, y) \\ &\quad \text{MSELoss.backward}() \\ &\quad \text{Optimizator.gradient_zero}() \\ &\quad \text{Optimizator.propagare}(pas) \\ \text{end for} \end{aligned}$$

Pentru care *pas-ul* reprezintă valoarea cu care înaintează funcția de gradient (optimizatorul) pentru minimizarea erorii pătratice, iar funcțiile de tip *backward*⁵, *gradient_zero*⁶ și *propagare*⁷ reprezintă faza de evaluare inversă a rețelei în scopul calculării ponderilor prin funcțiile de activare neliniare ReLU. Aceste ponderi rezultate sunt cele care defină magnitudinea răspunsului final pentru fiecare epocă și astfel se obține un vector ca în figura B.3, în al cărei prim grafic se observă că valorile tensorului inițial au fost extrapolate corect de rețea cu o valoare de corelație de 89%⁸ între adevăr și predicție.

A doua parte a figurii prezintă minimizarea funcției de cost (eroarea medie pătratică atinge valoarea minimă posibilă) și se constată cum un număr mai redus de epoci ar putea fi suficient pentru antrenarea rețelei, încrucișând scăderea nu mai este dramatică după primele 200 de epoci.

⁴<https://pytorch.org/docs/stable/generated/torch.nn.MSELoss.html>

⁵<https://pytorch.org/docs/stable/generated/torch.Tensor.backward.html>

⁶https://pytorch.org/docs/stable/generated/torch.optim.Optimizer.zero_grad.html

⁷<https://pytorch.org/docs/stable/generated/torch.optim.Optimizer.step.html>

⁸<https://numpy.org/doc/stable/reference/generated/numpy.corrcoef.html>

Rezultatul final obținut prin scăderea fomei recuperate din datele reale se regăsește în al doilea grafic din figura B.1 și se poate constata că astfel s-a redus și bias-ul static, dar și evoluția driftului.

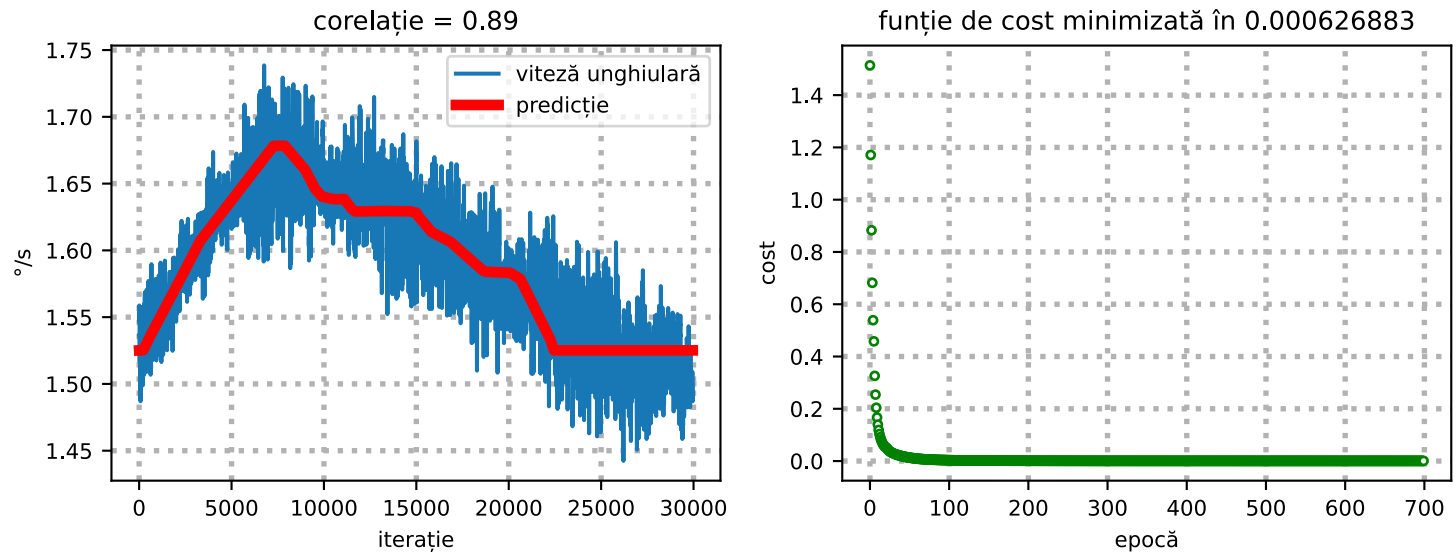


Figura B.3: Predicție rețea neuronală

Desigur, pentru un astfel de exemplu trebuie menționat că o aproximare polinomială ar fi funcționat probabil mai bine și mai eficient, fără a avea nevoie de timp de antrenare, și fără a putea oferi rezultate greșite. Un model matematic bazat pe un proces va fi mereu de preferat în locul unuia bazat pe învățare, dacă procesul este determinist.

Cu toate acestea, consider că acest tip de metode de calibrare deschide noi perspective pentru senzorii inerțiali, întrucât extrapolarea intelligentă a unui semnal se poate adapta și în cazul în care acesta își schimbă comportamentul într-un mod stocastic.

Deoarece acest comportament al măsurătorilor senzorului a fost obținut într-un timp de lungă durată comparativ cu minutele de obicei alocate unui joc, și pentru că obținerea drift-ului a necesitat intervenție exterioară prin modificarea activă a temperaturii, acest model nu a fost inclus în aplicația finală, dar doresc, prin încheierea acestei anexe, să pun bazele unei posibile dezvoltări ulterioare a unui algoritm de estimare a orientării bazat pe inteligență artificială.

Anexa C

Lucrări publicate

A. Moraru, "Quaternion Based Kalman Filter for Open Loop Attitude Estimation",
AQTR Student Forum, p. 29, Aprilie 2022